



TALLINNA TEHNIKAÜLIKOOL  
TALLINN UNIVERSITY OF TECHNOLOGY

Elektroenergeetika ja mehhatroonika instituut

**ANDMEHÕIVE JA ENERGIA KOGUMISE  
ELEKTROONIKASÜSTEEMI ARENDAMINE  
EKSPERIMENTAALSELE TERMO-  
ELEKTRILISI ELEMENTE RAKENDAVALE  
PÄIKSEKOLLEKTORILE**

**BAKALAUREUSETÖÖ**

**MEHHATROONIKA ÕPPEKAVA**

Juhendaja/õppejõud:

Lauri Kütt

Üliõpilane:

Kristian Kajak

Üliõpilaskood:

142913MAHB

Tallinn 2017

## AUTORIDEKLARATSIOON

Deklareerin, et käesolev lõputöö on minu iseseisva töö tulemus.

Esitatud materjalide põhjal ei ole varem akadeemilist kraadi taotletud.

Lõputöös kasutatud kõik teiste autorite tööd ja seisukohad ning materjalid on varustatud vastavate viidetega.

Töö valmis Lauri Kütt juhendamisel

“20” mai 2017.a.

Töö autor: Kristian Kajak

/allkiri/

Töö vastab lõputööle esitatavatele nõuetele

“.....” .....201...a.

Juhendaja: Lauri Kütt

/allkiri/

Lubatud kaitsmisele

“.....” .....201... a.

..... õppekava lõputööde kaitsmiskomisjoni esimees: .....

/allkiri/

TTÜ Inseneriteaduskond  
**BSc LÕPUTÖÖ ÜLESANNE**

2017 aasta kevadsemester

Üliõpilane: Kristian Kajak, 142913MAHB

Õppekava: MAHB 02/13

Eriala: BSc Mehhatroonika

Juhendaja: professor Lauri Kütt

**Lõputöö teema:**

Andmehõive ja energia kogumise süsteemi arendamine eksperimentaalsele termoelektrilisi elemente rakendavale päiksekollektorile

Development of a data acquisition and energy collecting system for an experimental thermoelectric solar collector

**Töös lahendatavad ülesanded ja nende täitmise ajakava:**

Nr	Ülesande kirjeldus	Täitmise tähtaeg
1.	Tutvumine päiksekollektori eesmärgiga ning eelnevalt valmistatud elektriskeemidega	Oktoober 2016
2.	Olemasolevate trükkplaatidele komponentide jootmine, projekteerimisvigade parandamine. Tarkvara arendamine	Detsember 2016
3.	Trükkplaatide paranduste sisse viimine, uute trükkplaatide projekteerimine, trükkplaadi tellimuste vormistamine	Veebruar 2017
4.	Uute valminud trükkplaatide jootmine ja vigade tuvastamine ning parandamine. Tarkvara arendamine	Mai 2017
5.	Valmis lõputöö koos juhendaja nõusolekuga	20. Mai 2017

**Lahendatavad insenertehnilised ja majanduslikud probleemid:**

Trükkplaatide projekteerimisvigade eemaldamine, uute trükkplaatide projekteerimine, tarkvara arendamine andmehõive ja energia kogumise süsteemi arendamiseks.

**Täiendavad märkused ja nõuded:** –

**Töö Keel:** Eesti keel

**Kaitsmistaoitus esitada hiljemalt:** 15.05.2017

**Töö esitamise tähtaeg:** 25.05.2017

**Üliõpilane**

/allkiri/

kuupäev

**Juhendaja**

/allkiri/

kuupäev

# SISUKORD

EESSÕNA.....	7
LÜHENDITE JA TÄHISTE LOETELU.....	8
SISSEJUHATUS.....	9
1 PÄIKSEKOLLEKTOR.....	10
1.1 Pääksekollektorist üldiselt.....	10
1.2 Elektroonikasüsteemide klassifitseerimine.....	11
1.3 Energia kogumise ja andmehõive elektroonikasüsteemi ülesehitus.....	12
2 SPI PROTOKOLL.....	13
2.1 SPI protokollist üldiselt.....	13
2.2 Ülem-alam topoloogia.....	13
2.3 Andmevahetuse kirjeldus.....	13
2.3.1 SCLK.....	14
2.3.2 MOSI.....	14
2.3.3 MISO.....	15
2.3.4 SS.....	15
2.4 SPI seadistamine.....	16
2.5 SPI muutmine häiringukindlamaks.....	16
3 TRÜKKPLAATIDE KUJUNDAMINE.....	18
3.1 Trükkplaatidest üldiselt.....	18
3.2 Elektriskeemide koostamine.....	18
3.3 Tootekavandi koostamine.....	19
3.3.1 Tootekavandi joonestiku suuruse valimine.....	19
3.3.2 Radade asetus.....	19
3.3.3 Radade laiused.....	20
3.3.4 Vasealad ja läbiviigud.....	21
4 TOODETUD TRÜKKPLAADID.....	23
4.1 Trükkplaatide tootmisest üldiselt.....	23
4.2 Parandatud trükkplaadid.....	23
4.2.1 Informatsiooni kogumise trükkplaat.....	23
4.2.2 Informatsiooni kogumise trükkplaadile tehtud parandused.....	24
4.2.3 Analoog-digitaalmuunduri trükkplaat.....	25
4.2.4 Analoog-digitaalmuunduri trükkplaadile tehtud parandused.....	26
4.3 Projekteeritud trükkplaadid.....	27
4.3.1 Võimendi ja pingejagurite trükkplaat.....	27
4.3.2 Optoisolatsiooni trükkplaat.....	28
4.3.3 GPS mooduli ja SD-kaardi mooduli trükkplaat.....	30
5 TARKVARA.....	32
5.1 Tarkvarast üldiselt.....	32
5.2 Informatsiooni kogumise trükkplaadi tarkvara.....	32

5.2.1 Informatsioonikogumise trükkplaadi tarkvarast üldiselt .....	32
5.2.2 Multipleksor trükkplaadi valimise alamfunktsioon.....	33
5.2.3 MCP23S17 registrite konfigureerimise alamfunktsioon.....	33
5.2.4 MAX31855 temperatuuri lugemise alamfunktsioonid.....	35
5.2.5 MCP4912 digitaal-analoogmuunduri alamfunktsioonid.....	35
5.2.6 LTC1861 analoog-digitaalmuunduri alamfunktsioonid.....	36
5.3 Analoog-digitaalmuunduri trükkplaadi tarkvara.....	37
5.3.1 Analoog-digitaalmuunduri trükkplaadi tarkvarast üldiselt.....	37
5.3.2 ADS1248 registrite konfigureerimise alamfunktsioonid .....	37
5.3.3 ADS1248 registrite väärtuse lugemise alamfunktsioon .....	38
5.3.4 ADS1248 sisemise temperatuuri lugemise alamfunktsioon.....	38
5.3.5 ADS1248 sisendpinge väärtuse lugemise alamfunktsioon .....	38
5.3.6 Muud ADS1248 alamfunktsioonid .....	39
6 ELEKTROONIKAKEST JA TRÜKKPLAATIDE KINNITUSED.....	40
KOKKUVÕTE.....	41
SUMMARY .....	42
7 KASUTATUD KIRJANDUS.....	43
LISA 1 TERVLIKLIK ENERGIA KOGUMISE JA ANDMEHÕIVE ELEKTROONIKASÜSTEEMI ÜLESEHITUS.....	46
LISA 2 INFORMATSIOONI KOGUMISE TRÜKKPLAADI ELEKTRISKEEM JA TOOTMISKAVAND.....	47
LISA 3 ANALOOG-DIGITAALMUUNDURI TRÜKKPLAADI ELEKTRISKEEM JA TOOTMISKAVAND.....	53
LISA 4 VÕIMENDI JA PINGEJAGURITE TRÜKKPLAADI ELEKTRISKEEM JA TOOTMISKAVAND.....	57
LISA 5 CPC1832 SENSORITE TRÜKKPLAADI ELEKTRISKEEM JA TOOTMISKAVAND.....	60
LISA 6 OPTOISOLATSIOONI TRÜKKPLAADI ELEKTRISKEEM JA TOOTMISKAVAND.....	63
LISA 7 GPS JA SD-KAARDI MOODULITEGA TRÜKKPLAADI ELEKTRISKEEM JA TOOTMISKAVAND.....	67
LISA 8 ALAMA ADRESSEERIMISE ALGORITM.....	71
LISA 9 MULTIPLEKSORI TRÜKKPLAADI VALIMISE ALAMFUNKTSIOON .....	72
LISA 10 MCP23S17 REGISTRITE KONFIGUREERIMISE ALAMFUNKTSIOON .....	73
LISA 11 MAX31855 TEMPERATUURI LUGEMISE ALAMFUNKTSIOONID.....	74
LISA 12 MCP4912 DIGITAAL-ANALOOGMUUNDURI ALAMFUNKTSIOONID.....	75
LISA 13 LTC1861 ANALOOG-DIGITAALMUUNDURI ALAMFUNKTSIOONID.....	76
LISA 14 ANALOOG-DIGITAALMUUNDURI TRÜKKPLAADI TARKVARA MULTIPLEKSOR TRÜKKPLAADI VALIMISE, MCP23S17 REGISTRITE KONFIGUREERIMISE JA MAX31855 TEMPERATUURI LUGEMISE ALAMFUNKTSIOONID.....	78
LISA 15 ADS1248 REGISTRITE KONFIGUREERIMISE ALAMFUNKTSIOONID .....	81
LISA 16 ADS1248 REGISTRITE LUGEMISE ALAMFUNKTSIOONID .....	82

LISA 17	ADS1248 SISEMISE TEMPERATUURI LUGEMISE ALAMFUNKTSIOON.....	83
LISA 18	ADS1248 SISENDPINGE LUGEMISE ALAMFUNKTSIOON .....	84
LISA 19	MUUD ADS1248 ALAMFUNKTSIOONID.....	85
LISA 20	ELEKTROONIKAKESTA SOLIDWORKS MUDEL .....	86

## EESSÕNA

Käesolev bakalaureuse lõputöö teema pakuti välja TTÜ Elektroenergeetika ja mehhatroonika instituudi professor Lauri Kütt'i poolt. Lõputöös kirjeldatud päiksekollektori elektroonikaosale määras tema nõuded ja vajadusel abistas elektroonikaskaemide koostamisel ja trükkplaatide programmeerimisel. Lõputöö koostamine toimus Elektroenergeetika ja mehhatroonika instituudi tööruumides. Avaldan juhendajale tänu meeldiva koostöö eest.

## LÜHENDITE JA TÄHISTE LOETELU

ADC	Analoog-digitaalmuundur, i.k. <i>Analog-To-Digital Converter</i>
DAC	Digitaal-analoogmuundur, i.k. <i>Digital-To-Analog Converter</i>
LED	Valgusdiod, i.k. <i>Light Emitting Diode</i>
LSB	Vähima kaaluga bitt, i.k. <i>Least Significant Bit</i>
LVDS	Madala pingega signaalide diferentseerimine, i.k. <i>Low Voltage Differential Signaling</i>
MISO	SPI ülem-sisse-alam-välja liin, i.k. <i>Master-In-Slave-Out</i>
MOSFET	Isoleeritud paisuga väljatransistor, i.k. <i>Metal Oxide Semiconductor Field-Effect Transistor</i>
MOSI	SPI ülem-välja-alam-sisse liin, i.k. <i>Master-Out-Slave-In</i>
MSB	Suurima kaaluga bitt, i.k. <i>Most Significant Bit</i>
PCB	Prinditud trükkplaat, i.k. <i>Printed Circuit Board</i>
SCLK	SPI kellatakti liin, i.k. <i>Serial Clock</i>
SPI	Jadamisi välisseadmete vaheline andmevahetuse standard, i.k. <i>Serial Peripheral Interface</i>
SS	SPI alama valimise liin, i.k. <i>Slave Select</i>
GPIO	Programmeeritav sisend/väljund, i.k. <i>General Purpose Input/Output</i>



## SISSEJUHATUS

TTÜs on arendamisel eksperimentaalne termoelektriline päikesekollektor, mis rakendab fokuseeritud päikesekiirgust kõrge temperatuuri saavutamiseks. Antud päiksekollektor kasutab fokuseeritud päikesekiirgust termoelektriliste generaator-elementide kuumutamiseks, mille tagajärjel hakkavad termoelektrilised elemendid elektrienergiat tootma. Päikesekollektori poolt toodetava energia hindamiseks on vaja arendada energiakogumise süsteem, andmehõive süsteem ning päikse liikumise trajektoori järgimise süsteem, mis oleks on antud süsteemi käivitamiseks vajalik.

Antud lõputöö raames on energia kogumise ja andmehõive elektroonikasüsteemi arendamiseks vaja projekteerida ja toota hulgaliselt trükkplaate, arendada nende juhtimiseks välja tarkvara ning konstrueerida antud elektroonikasüsteemi trükkplaatide hoiustamiseks vajalik kest. Teooria osas käsitletakse lähemalt SPI protokollid ja trükkplaatide projekteerimise tavasid ja reegleid. Praktilises osas kirjeldatakse projekteeritud ja parandatud trükkplaatide tööpõhimõtteid ja elektriskeeme, tarkvara arendamisel kasutatud alamfunktsioone ning elektroonikakesta mudeli ülesehitust.

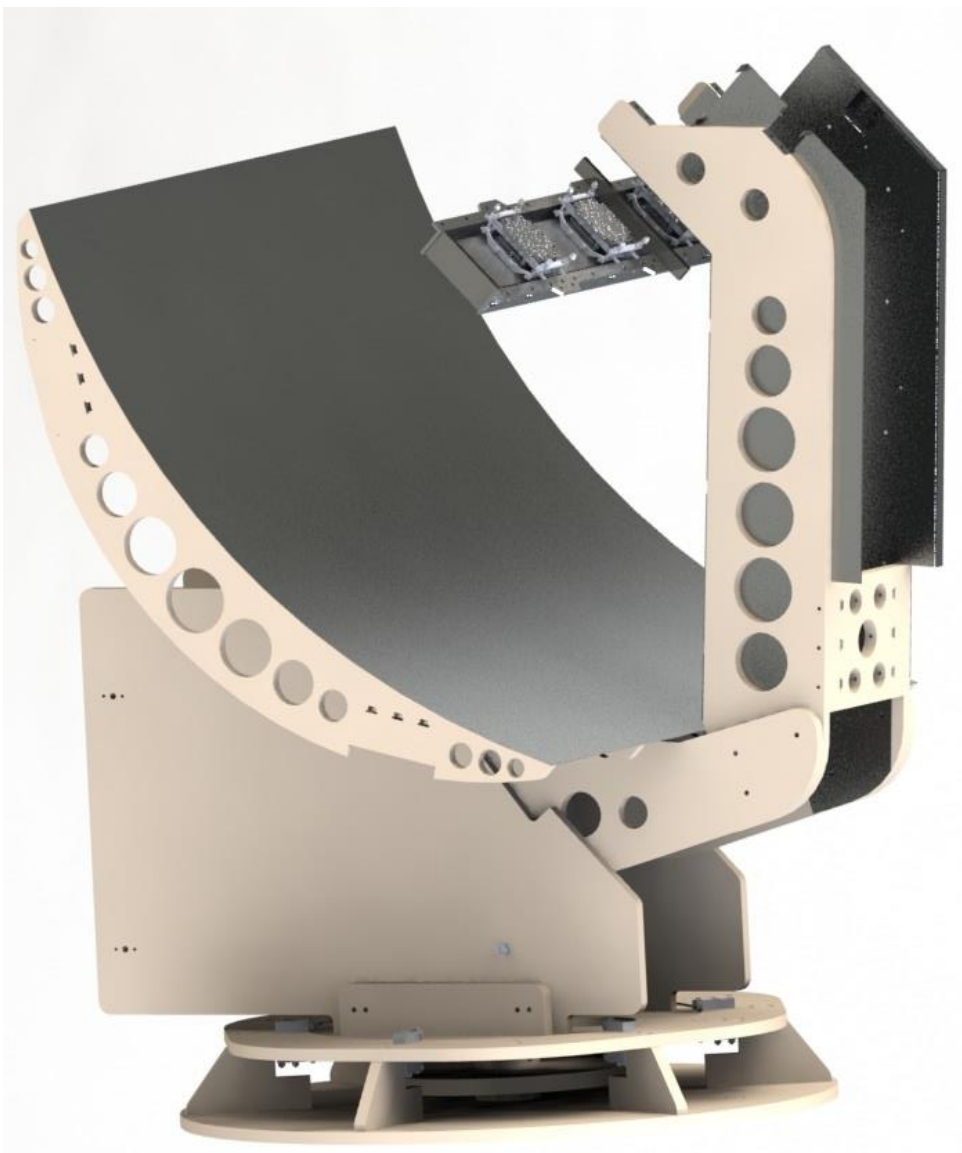
Antud lõputöö eesmärgi saavutamiseks on vaja olemasoleva päiksekollektori andmehõive ja energia kogumise süsteemi arendamiseks koostada Diptrace programmis trükkplaatidele juhtimist võimaldavad elektroonikaskaemid, luua sobiv signaaliradade ja komponentide asetus tootmise jaoks, komplekteerida, testida ning vajadusel parandada trükkplaatidel olevaid vigu.

Arduino IDE 1.8.2 programmi ja Arduino funktsiooniteekide põhjal kirjutati informatsiooni kogumise ja analoog-digitaalmuunduri trükkplaatide juhtimiseks tarkvara. Antud sardsüsteemi juhib Arduino Mega 2560. Energia kogumise ja andmehõive süsteemi jaoks vajalikud trükkplaadid paigutati nende jaoks projekteeritud elektroonikakarpi.

# 1 PÄIKSEKOLLEKTOR

## 1.1 Päiksekollektorist üldiselt

Antud lõputöö raames arendati termoelektrilisi elemente rakendavale päiksekollektorile energia kogumise ja andmehõive elektroonilist süsteemi. Lihtsustatult öeldes koosneb päiksekollektor päikese kiirgust koondavast parabolikujulisest nõgusast peeglist, soojuse kogumise konstruktsioonist ning pöörlevast/kallutatavast alusest (sele 1.1). Päiksekollektori töö jaoks on vaja ka veel näiteks jahutusagregaati, erinevaid juhtloogika alamosasid, akude haldamise süsteemi jpm aga neid teemasid käesolevas lõputöös ei kajastata.



Sele 1.1 Päiksekollektori üldvaade

Selleks, et termoelektrilisi elemente rakendada, on vaja projekteerida elektrooniline süsteem, mille funktsioonideks on

- päikese asukoha tuvastamine,
- päiksekollektori pööramine/kallutamine päikse poole (automaat ja manuaalrežiimis),
- termoelektrilisi elemente läbiva voolutugevuse ja arendatava pinge mõõtmine ning võimsuse edasikandmine akudesse,
- päiksekollektori pööramine ohutusse kohta (vea korral),
- andmete logimine SD-kaardile.

Kuna projekteeritud päiksekollektor peaks arvutuste kohaselt kuumutama termoelektriliste elementide kuumad pooled kuni 300 °C-ni, tuleb elektroonikasüsteemi projekteerimisel pidada silmas, et rikke ilmnemisel võib suure tõenäosusega tekkida tuleohtlik olukord koondatud valguskiirte tõttu. Seetõttu tuleb projekteerida antud elektroonikasüsteem võimalikult häiringukindlaks ning vajadusel kasutada mitut sama funktsiooni omavat trükkplaati.

## 1.2 Elektroonikasüsteemide klassifitseerimine

Suures plaanis võib tervikliku päiksekollektori kasutamiseks vajaliku elektroonikasüsteemi jagada neljaks:

- energia kogumise ja andmehõive süsteem,
- mootorite juhtimise süsteem,
- aku haldamise ja tervikliku päiksekollektori juhtimise süsteem,
- jahutussüsteem.

Energia kogumise ja andmehõive süsteem vastutab termoelektrilistelt elementidelt tuleva võimsuse mõõtmise ja edasikandmise eest, päikse asukoha tuvastamise eest ja andmete logimise eest. Suurem osa energiakogumise ja andmehõive süsteemist asub soojuse kogumise konstruktsiooni taga olevas elektroonikakestas. Ainukese erandina ei asu GPS-mooduli ja SD-kaardi mooduliga trükkplaat päiksekollektori peal.

Mootorite juhtimise süsteem vastutab kahe samm-mootori juhtimise eest. Ühe samm-mootori abil pööratakse päiksekollektorit aluse peal ning teise samm-mootori abil muudetakse paraboolpeegli nurga horisontaali suhtes. Mootorite juhtimise süsteem asub päiksekollektori aluse küljes.

Aku haldamise ja tervikliku päiksekollektori juhtimise süsteem vastutab akude laadimise ohutuse ja päiksekollektori tervikliku funktsioneerimise eest. Antud süsteemis kasutatav Arduino Mega 2560 platvorm on kõikide teiste süsteemis olevate sardüksustega ühenduses ning erinevad elektroonikaüksused ei asu päiksekollektori peal.

Jahutussüsteem vastutab termoelektriliste elementide külmemate poolte jahutamise eest. Jahutussüsteemi agregaadis asub ka näiteks veepump, radiaator ning nende juhtimise süsteem, mis reguleerib voolu kiirust vastavalt termoelektriliste elementide temperatuurile. Sarnaselt aku haldamise süsteemile, asub jahutussüsteem päiksekollektorist eemal.

## 1.3 Energia kogumise ja andmehõive elektroonikasüsteemi ülesehitus

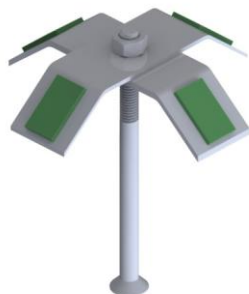
Energia kogumise ja andmehõive elektroonikasüsteem koosneb järgnevatest trükkplaatidest:

- Informatsioonikogumise trükkplaat
- Analoog-digitaalmuunduri trükkplaat
- Multipleksori trükkplaat
- Võimendi ja pingejagurite trükkplaat
- GPS mooduli ja SD-kaardi mooduli trükkplaat
- Optoisolatsiooni trükkplaat
- CPC1832 päiksesensori trükkplaat

Antud lõputöö üheks ülesandeks oli nimekirjas toodud trükkplaatidest esimesele kahele teostada parandused, kolmandal trükkplaadil vigu ei esinenud ning neli viimast trükkplaati oli vaja projekteerida ja toota. Terve süsteemi juhtimiseks kasutatakse Arduino Mega 2560 platvormi ning Arduino IDE 1.8.2 programmis loodud tarkvara.

Kõik nimetatud trükkplaadid välja arvatud GPS mooduli ja SD-kaardi mooduli trükkplaat asuvad soojuste kogumise konstruktsiooni küljes. Analoog-digitaalmuunduri, multipleksor, optoisolatsiooni ning Arduino trükkplaatide jaoks oli vaja projekteerida elektroonikakesi. Informatsioonikogumise ja võimendi trükkplaadid hoiustatakse ostutoodetest karpides.

CPC1832 päiksesensoriga trükkplaadid asuvad „vihmavarju“ konstruktsiooni peal erinevate kallete all (sele 1.2). Seoses päikse ja CPC1832 sensori vahelise nurga muutmisega, on võimalik päiksesensorigilt tuleneva pinge suurusi võrreldes tuvastada päikse asukoht, mida kasutatakse päiksekollektori pööramiseks päikse poole. Antud konstruktsioone on päiksekollektoril kaks, et vältida segadusi näiteks varjude langemisel sensoritele.



Sele 1.2 CPC1832 sensorite „vihmavarju“ konstruktsioon

Terviklik energia kogumise ja andmehõive elektroonikasüsteemi ülesehitus on kujutatud lisa 1.

## 2 SPI PROTOKOLL

### 2.1 SPI protokollist üldiselt

SPI (*Serial Peripheral Interface*) on sünkroniseeritud kommunikatsiooniprotokoll, millega on võimalik vahetada digitaalsel kujul informatsiooni lühikeste andmeliinide kasutamisel. Seetõttu on SPI-siin laialdaselt kasutuses sardsüsteemide koostamisel, andes arendajatele võimaluse lihtsalt enda süsteemi liita näiteks vedelkristallikuvareid, SD kaardi lugejaid/kirjutajaid, analoog-digitaalmuundureid jpm. [1]

### 2.2 Ülem-alam topoloogia

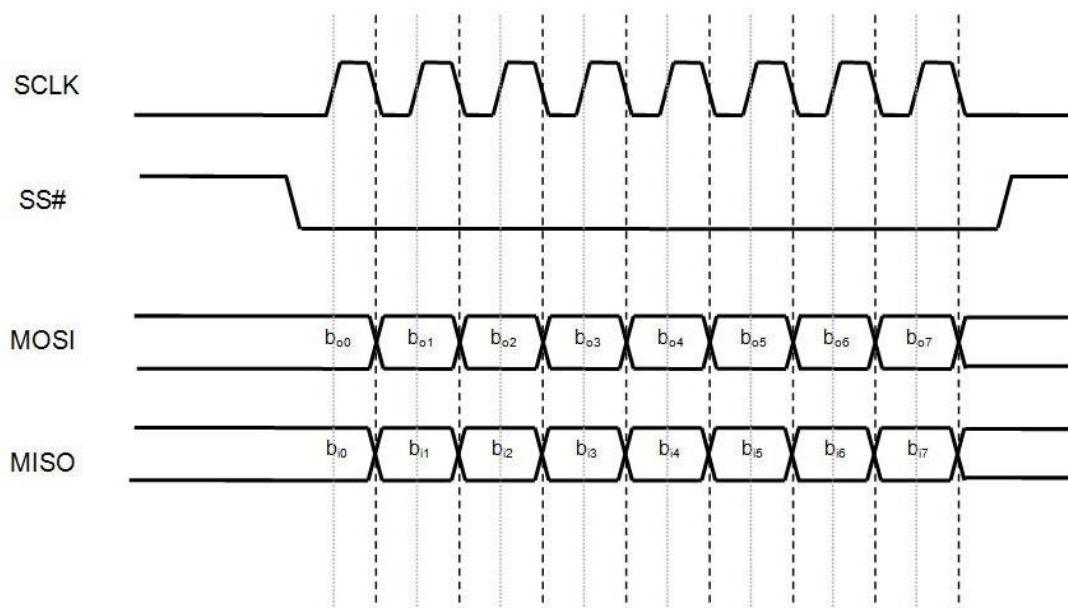
SPI andmeside protseduurides kasutakse ülem-alam topoloogiat, kus ülem on üldiselt mingisugune võimekam mikrokontroller, mis reguleerib info kirjutamist ja lugemist. Alam on mikrolülitus, mis kasutab loeb/töötleb/rakendab ülema poolt saadud informatsiooni ning saadab vajalikud andmed ülemale tagasi.

Näiteks on võimalik SPI protokoll kasutada ATmega mikrokontrolleri ja analoog-digitaalmuunduri vaheliseks suhtluseks, kus ATmega mikrokontroller on ülem ning analoog-digitaalmuundur on alam. ATmega mikrokontroller saadab analoog-digitaalmuundurile käsu lugeda väliselt toiteahelalt tuleva pinge väärtust ning transformeerida see digitaalseks informatsiooniks. Seejärel on järgmise informatsioonilausega võimalik ATmega mikrokontrolleril lugeda analoog-digitaalmuunduri poolt saadetud digitaalne informatsioon.

### 2.3 Andmevahetuse kirjeldus

SPI protokoll võimaldab kahesuunalist andmevahetust samaaegselt, kasutades tavaliselt nelja andmeliini (sele 2.1):

- SCLK (*Serial Clock*) – taktsignaali liin,
- MOSI (*Master Out Slave In*) – ülema poolt saadetud informatsioon,
- MISO (*Master In Slave Out*) – alama poolt saadetud informatsioon,
- SS (*Slave Select*) – liin, mis valib andmevahetuse jaoks õige alama.



Sele 2.1 SPI kommunikatsioon [4]

### 2.3.1 SCLK

SCLK (*Serial clock*) on kellatakti liin, mis määrab ära ajahetked, millal informatsioonijada ülemaast või alamast välja saadetakse või sisse loetakse. Kellatakt on perioodi esimeses pooles kõrgel nivool ning perioodi teises pooles madalal nivool ning kellatakti perioodi kestvust on võimalik reguleerida programmikoodis.

SPI protokollis kasutades tuleb ka ära märkida kellatakti polaarsus ning faas. Kellatakti polaarsus ning faas määravad ära, kas informatsioon MISO/MOSI liinile edastatakse kellasisignaali tõusval või langeval frondil. Samuti määratakse ära, kummal frondil MISO/MOSI liinil olev informatsioon loetakse.

Kuna käesolevas lõputöös kasutatakse programmeerimisel Arduino IDE 1.8.2 tarkvara, on võimalik kellatakti polaarsus ning faas valida *SPI\_MODE0...SPI\_MODE3* konfiguratsioonide kasutamisel (tabel 2.1). [2]

Tabel 2.1. Kellatakti polaarsuse ja faasi konfigureerimine Arduino IDE 1.8.2 tarkvaras

Konfiguratsioon	Polaarsus	Faas	Info edastamise front	Info lugemise front
SPI_MODE0	0	0	Langev	Tõusev
SPI_MODE1	0	1	Tõusev	Langev
SPI_MODE2	1	0	Tõusev	Langev
SPI_MODE3	1	1	Langev	Tõusev

### 2.3.2 MOSI

MOSI (*Master Out Slave In*) andmeliinil kantakse ülemaast välja tulevat informatsiooni erinevate alamate vahel edasi. Alam, kellega ülem suhelda soovib, valitakse *Slave Select* liini abil. Ülem-alam vaheline suhtlus võib toimida samaaegselt.

### 2.3.3 MISO

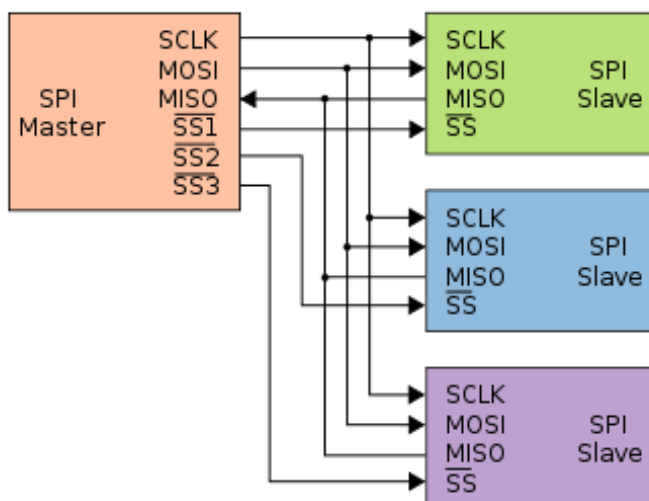
MISO (*Master In Slave Out*) andmeliinil kantakse alamast välja tulev informatsioon ülemasse. Ka MISO kanaliga suhtlemise jaoks peab olema *Slave Select* valinud õige alama, muidu ei tuvasta ülem saadetud informatsiooni.

### 2.3.4 SS

SS (*Slave Select*) on liin, mis määrab ära millise alamaga ülem parajasti suhtleb. SS muutub tähtsaks kui andmevahetussüsteemis kasutatakse mitut alamat ning ühe alama kasutamise korral võib SS olla konstantselt madalal nivool. Tüüpilistes SPI protokollis kasutatavates andmevahetus süsteemides kasutatakse *active low* loogikat, mis tähendab, et alam valitakse juhul, kui selle alama SS on madalal nivool. Enne andmevahetuse alustamist, sätitakse valitud alama SS madalale nivoole, mis aktiveerib alama. Pärast andmevahetuse lõppu sätitakse alama SS kõrgele nivoole, mis lõpetab edasise andmevahetuse valitud alamaga. [3]

Alamaid on võimalik tüüpiliselt adresseerida kahte moodi. Kõige tüüpilisem viis on kasutada iga alama jaoks eraldi SS liini (sele 2.2), mille puhul on alamate adresseerimine lihtne. Andmevahetussüsteemides, kus kasutatakse suur arv alamaid, võib tekkida probleeme, sest paljudel mikrokontrolleritel ei ole suurte süsteemide korral piisavalt vabu liine, mida alamate adresseerimiseks kasutada. Siiski on võimalik probleemi lahendada kasutades näiteks 3→8 dekodeerid, mis võimaldavad SS väljundite hulga kordistamist. [3]

Keerulisem on kasutada *Daisy Chain* adresseerimise viisi, mille korral on alamad ühendatud jadamisi ning neile on võimalik saata käsklusi ilma aadressideta kõikidele alamatele korraga. *Daisy Chain* adresseerimise puhul on siiski MISO liini kasutamine raskendatud ning seetõttu päiksekollektori elektrisüsteemi arendamisel seda ei kasutatud. [3]



Sele 2.2 Alamate adresseerimine mitmete SS liinide abil [1]

## 2.4 SPI seadistamine

Eelnevas peatükis oli juttu kellatakti faasi ja polaarsuse määramisest. Enne SPI protokolliga kasutamist tuleb veel mõned seadistused teha. SPI protokolliga kasutades tuleb selgeks teha kasutatava mikrokontrolleri kellatakti sagedus – liiga suure SPI andmevahetuse kiiruse valimine tähendab, et kontrolleri ei suuda sissetulevat informatsiooni lugeda ega väljaminevat informatsiooni õigeks kellatakti frondiks valmis seada. Liiga kiire andmevahetuse sageduse valimisel võib tekkida ka probleeme infoedastamise sünkronisatsiooniga pikemate andmeliinide kaudu. Seetõttu tuleks 1 m või pikema andmeliini puhul oluliselt langetada andmeedastamise kiirust või kasutada spetsiaalseid draivereid [3].

SPI protokolliga kasutades tuleb määrata ära, kas andmeedastust alustatakse vähima kaaluga bitist (*LSB*) või suurema kaaluga bitist (*MSB*). Arduino IDE 1.8.2 ja selle funktsioone kasutades saab seda teha käskudega *MSBFIRST* või *LSBFIRST*. SPI protokolliga seadistamine Arduino IDE 1.8.2 tarkvaras näeks tavapäraselt välja järgmiselt:

```
SPI.beginTransaction(SPISettings(160000, MSBFIRST, SPIMODE_0));
```

kus *160000* – andmeedastamise sagedus hertsides, Hz,

*MSBFIRST* – määrab ära andmeedastamise bittide järjekorra,

*SPIMODE\_0* – määrab ära kellatakti polaarsuse ja faasi.

## 2.5 SPI muutmine häiringukindlamaks

SPI protokolliga korral ei ole andmeliinid balansseeritud, st et nii madalale nivoole kui kõrgele nivoole on seatud kindlad pinged väärtused maanduse suhtes. Tavapäraselt on lihtsates süsteemides madal nivoo 0 V maanduse suhtes ning kõrge nivoo 5 V või 3,3 V maanduse suhtes.

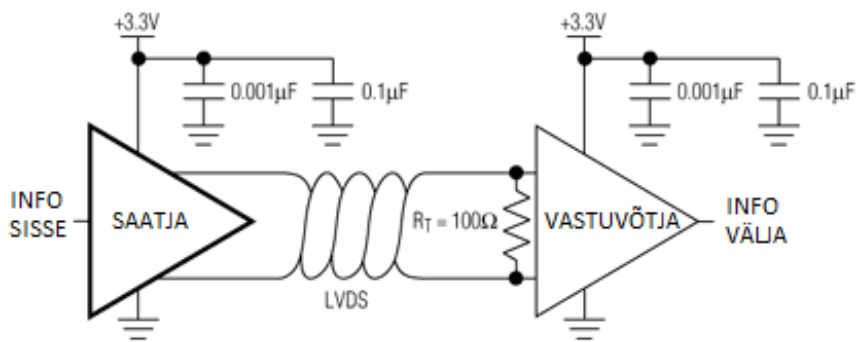
Balansseerimata andmevahetussüsteemide korral võib info saatjatel (ehk draiveritel) ja vastuvõtjatel tekkida probleeme informatsiooni vahendamise pikade infoliinide korral. Pikad juhid on rohkem vastuvõtlikumad välistele magnetvälja mõjutustele ning seetõttu tekivad nendes juhtides sagedamini pingenihted. Selliste pingenihtede eemaldamiseks sünkroniseeritud, mõlemasuunalise suhtlusega protokollides nagu on SPI protokoll, võib kasutada näiteks RS-422 või RS-644 standardi toetusega diferentsiaaldraivereid koos keerdpaarjuhtmetega. [5, lk 17]

Kuna keerdpaarjuhtmete korral on mõlemad juhid üksteisele võimalikult lähedal, on välismüra indutseeritud mõlemad juhid võrdselt ning andmevahetuse draiverid on võimelised selle tuvastama pingenihtena. Selliste diferentsiaaldraiverite implementeerimine süsteemi koos keerdpaarjuhtmetega ei kaitse andmevahetuse diferentsiaalsignaale üksteise vaheliste pingemuutuste eest, ent siiski vähendab oluliselt välismüra mõju juhtidele ning võimaldab eirata probleeme, mis võivad tekkida pingenihtede tekkimisega maanduse suhtes. [5, lk 17]



Selleks et vältida andmeedastamise süsteemis juhtide käitumist antennina, kasutatakse näiteks RS-422 või RS-644 standardeid, mille korral koormatakse diferentseeritud signaalid omavahel  $100\ \Omega$  takistiga (sele 2.3), mis on samaväärne juhtide lainetakistusega. Diferentsiaalsignaale koormava takisti puudumisel võib andmeliin hakata käituma antennina, mis võib salvestada juhi sisse laenguid, mis hakkavad segama andmevahetust. [5, lk 19]

Käesolevas andmeedastus süsteemis kasutatakse RS-644 standardit, sest RS-644 ehk LVDS standard võimaldab RS-422 standardiga võrreldes kiiremat andmevahetust ning madalamat energiatarvet. RS-644 standard kasutab signaalide diferentseerimisel 3,3 V toitepinget ning diferentsiaalsignaali omavaheline pinge jääb vahemikku 247 mV – 454 mV  $100\ \Omega$  takistuse korral. RS-644 standardi signaali vastuvõtjad suudavad tuvastada signaale juba alates  $\pm 100\ \text{mV}$  juures, kui signaalid on maandusega  $\pm 1\ \text{V}$  nihkes. [6, lk 1]



| Sele 2.3 RS-644 standardi kasutamine signaalide diferentseerimisel koos keerdpaarkaabliga [7]

## 3 TRÜKKPLAATIDE KUJUNDAMINE

### 3.1 Trükkplaatidest üldiselt

Trükkplaat (ingl.k. *Printed circuit board* – PCB) ühendab elektriskeemi osad nii mehaaniliselt kui ka elektriliselt, kasutades selleks juhtivaid radasid ning vasealasid. Elektrisüsteemi komponendid joodetakse trükkplaadil asetsevate vasealade külge, luues tervikliku ning funktsionaalse elektriskeemi. [8]

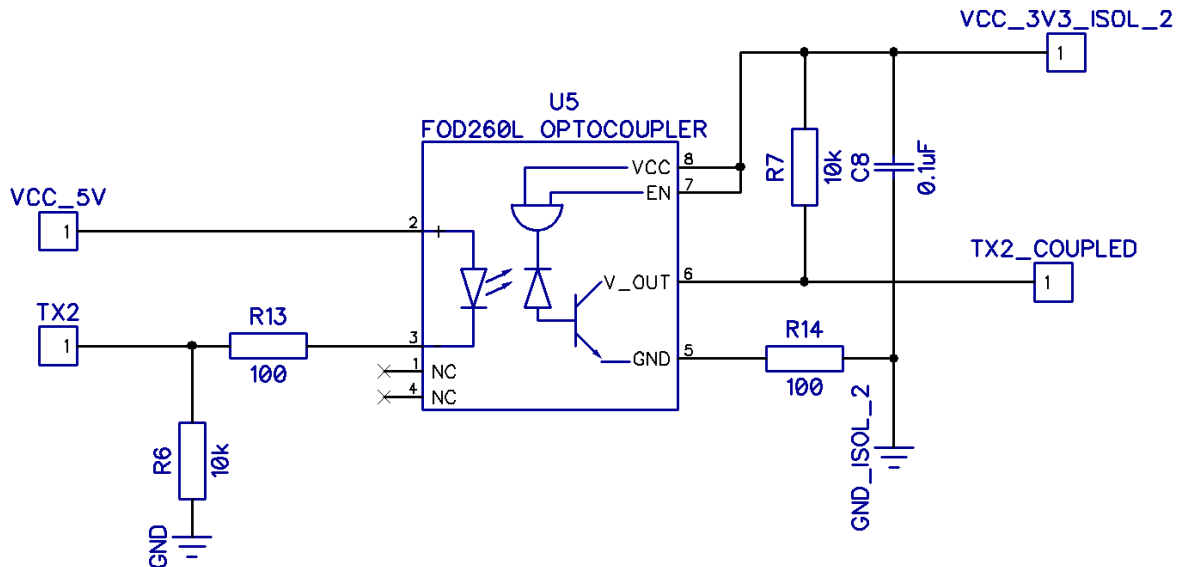
Trükkplaadi ühte juhtivaid osi sisaldavat tasandit nimetatakse kihtideks ning trükkplaate võib olla nii ühekihilisi, kahe- või enamakihilisi (trükkplaadi kihtide arv võib ulatuda näiteks 64-ni). Eestis projekteeritakse ABB AS Eesti kontsernis näiteks mh 16-kihilisi trükkplaate, mis võimaldab suuremat komponentide asetuse tihedust. Lihtsamate elektriskeemide realiseerimiseks üldiselt nii suurte kihtide arvuga trükkplaate vaja ei lähe. Suur osa lihtsamaid skeeme saab realiseerida juba ühe, kahe või nelja kihiga. Trükkplaatide kihte ühendatakse läbiviikudega (*via*), mille abil on võimalik luua erinevatel kihtidel olevate signaali-, toite- ning maandusradade vahel ühendusi.

### 3.2 Elektriskeemide koostamine

Enne trükkplaatide projekteerimise alustamist, peab olema arusaam trükkplaadi funktsioonist ning selle jaoks peab olema ka terviklik ning täpne elektriskeem, mille alusel trükkplaat valmib. Kui skeem on ebatäpne või valesti koostatud, ilmuvad samad vead ka füüsilisele trükkplaadile ning hiljem tuleb teostada tõrkeotsinguid, mis võivad võtta kordades rohkem aega kui esialgse vea parandamine juba eos.

Seetõttu on soovituslik koostada elektriskeemid võimalikult selgelt, loogilise järjestusega ja mõistliku paigutusega, sest järgmises trükkplaadi tootmise etapis, tootekavandi koostamisel, on keerulisem jälgida, kuidas erinevad juhtivad rajad funktsionaalsuse tagamiseks kasutuses on. Hea tava on näiteks asetada sisendid elektriskeemi vasakule ja väljundid paremale servale ning pinget siluvad kondensaatorid kohe komponendi kõrvale (sele 3.1). Skeemiosade ning ka signaali- ja toiteradade juurde tuleb märkida nende üldine eesmärk või pealkiri, mis annab juba skeemile peale vaadates aimu, millega tegu on [9, lk 5].

## RX/TX OPTOCOUPLING



Sele 3.1 FOD260L komponendil põhinev optoisolatsiooni ahel, kus sisendid on vasakul ja väljundid on paremal skeemiosas

### 3.3 Tootekavandi koostamine

Pärast elektriskeemi valmimist tuleb hakata selle alusel looma tootmiskavandit. Tootmiskavandis on kõik vajalik informatsioon olemas trükkplaadi tootmise jaoks, sh signaali- ja toiteradade kulgemine, komponentide asetus, komponentide mõõtmed ning ka komponentide järjekorranumbrid.

#### 3.3.1 Tootekavandi joonestiku suuruse valimine

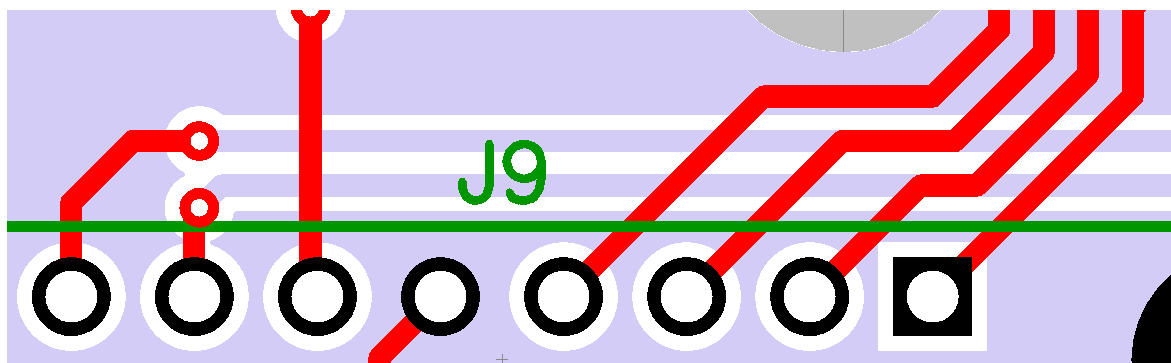
Tootmiskavandit koostades tuleks esialgu valida sobilik fikseeritud joonestiku suurus. Kui tootekavandi koostamise käigus teha joonestiku suuruse valikus muudatusi, hakkab komponentide asetus ebaesteetiliselt segaseks ning asümmeetriliseks muutuma. Lisaks muudab ühtse joonestiku suuruse kasutamine komponentide ning radade redigeerimise mugavaks.

Kuna pindmonteeritavatel komponentidel kasutatakse tihti standardseid suuruseid nii korpuse mõõtmetel kui ka jalgade mõõtmetel, tuleks lähtuda joonestiku valimisel nendest suurustest. Väga paljud pindmonteeritavate elektrikomponentide tootjad kasutavad jalga asetuse määramisel tollimõõdustikku ning seetõttu on nende komponentide jalgade vahemaad murdosad ühest tollist. Näiteks on standardse SOIC korpuse korral kahe jala vaheline vahemaa  $\frac{1}{2}$  tollist ning MSOP või TSSOP korpuse korral  $\frac{1}{4}$  tollist. Neid mõõtmeid tuleks joonestiku suuruse valimisel arvesse võtta, kui soovitakse esteetilist lahendust [9, lk 6, 10].

#### 3.3.2 Radade asetus

Trükkplaatide projekteerimisel on soovituslik asetada pealmisel trükkplaadi kihil olevad signaali-, toite- ja maanduse rajad horisontaalselt ning alumisel trükkplaadi kihil vertikaalselt või vastupidi (sele 3.2). Rajal

võib mõlemal kihil asetada ka diagonaalselt, ent põhiline on see, et kummalgi kihil on rajad omavahel 90-kraadise nurga all. Sellise radade asetusega projekteerimine aitab vältida radade omavahelist põimumist, mis takistab radade viimist komponentide juurde.



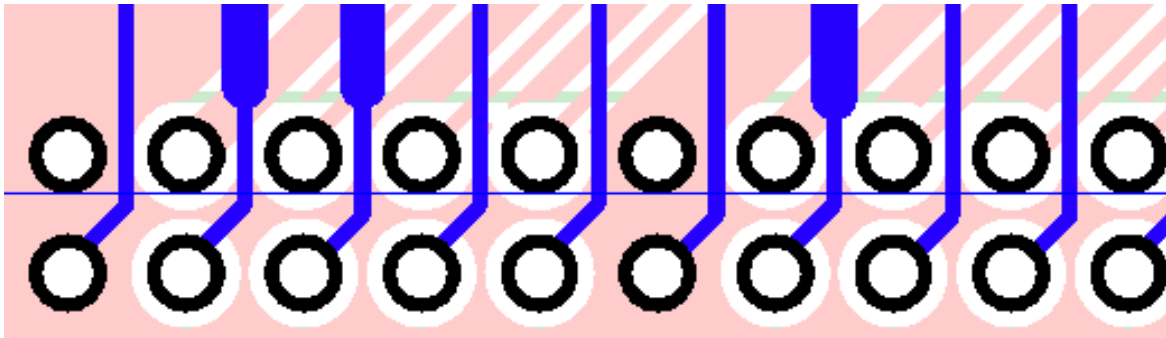
Sele 3.2 Trükkplaatide rajad on pealmisel kihil vertikaalsed ning alumisel kihil horisontaalsed

### 3.3.3 Radade laiused

Radade laiuste valimisel kindlaid reegleid pole. Pigem lähtutakse radade laiuste valimisel konkreetse projekteeritava trükkplaadi elektrilistest nõuetest, trükkplaadi suurusest ning nõutud radadevahelistest kaugustest. Siiski on projekteerimisel tuntud reegel, et laiamad rajad on paremad. Laiematel radadel on väiksem sisetakistus, väiksem induktiivsus, neid on lihtsam inspekteerida ning suure tõenäosusega on neil ka madalam tootmiskulu. [9, lk 7].

Kuna lõpptulemusena toodetakse trükkplaat tootmiskavandi järgi, tuleb kontrollida ka trükkplaadi tootmise ettevõtte täpsusnumbreid, sest ebatäpsemate tootmispinkide tolerantsid ei pruugi kattuda trükkplaadi projekteerija nõuetega. Eesti ettevõtte Kamitra OÜ, kus toodeti käesoleva lõputöö trükkplaadid, nõuab raja ja raja vaheliseks distantsiks vähemalt 0,2 mm ning soovib 0,25 mm üldise raja vähimaks laiuseks [11]. Tegelikult on trükkplaatide tootmisel siiski tolerantsiga seotud probleemide oht peenikestel ning väikese vahekaugusega radadel. Seetõttu on mõistlik valida minimaalsetest mõõtmetest suuremad ning võimalusel tuleb koostada rajad võimalikult laiad, kui trükkplaadi suurus ja tehnilised tingimused seda võimaldavad.

Mitmed käesoleva lõputöö raames rakendatavad trükkplaadid on projekteeritud ühenduma Arduino Mega 2560 platvormi piikühendustega. Arduino Mega 2560 platvormil on 40 piigiga ühenduse juures teatud kitsendused signaaliradade läbiviimisega teiste piikide vahelt, sest trükkplaadi projekteerimisel on nõutud teatud tühja vahemaad (isolatsiooni) radade ja näiteks läbiviigu aukude vahel. Selle lahendamiseks kasutatakse radade kitsendamist nendes kohtades (sele 3.3). Lühikese kitsendusega raja elektrilised parameetrid selle tõttu oluliselt ei muutu, temperatuur hajub rajas paremini ning rajal on endiselt madal näivtakistus koos võimalusega minna kitsastest kohtadest läbi. [9, lk 7]

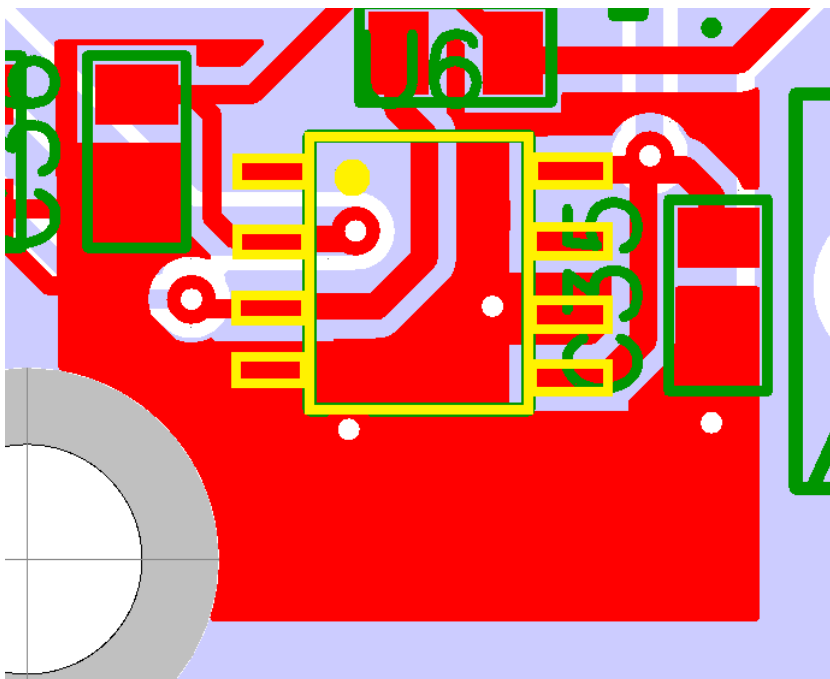


Sele 3.3 Toiteradade kitsendamine 2,54 mm sammuga piikühenduse juures

Juhendaja soovitusel on trükkplaatide projekteerimisel rakendatud rusikareeglit, mis ütleb, et 1 A voolutugevuse läbi juhtimiseks peab olema raja laius 1 mm. Seetõttu on suurem osa radasid projekteeritud laiusega 0,35 mm või 0,5 mm.

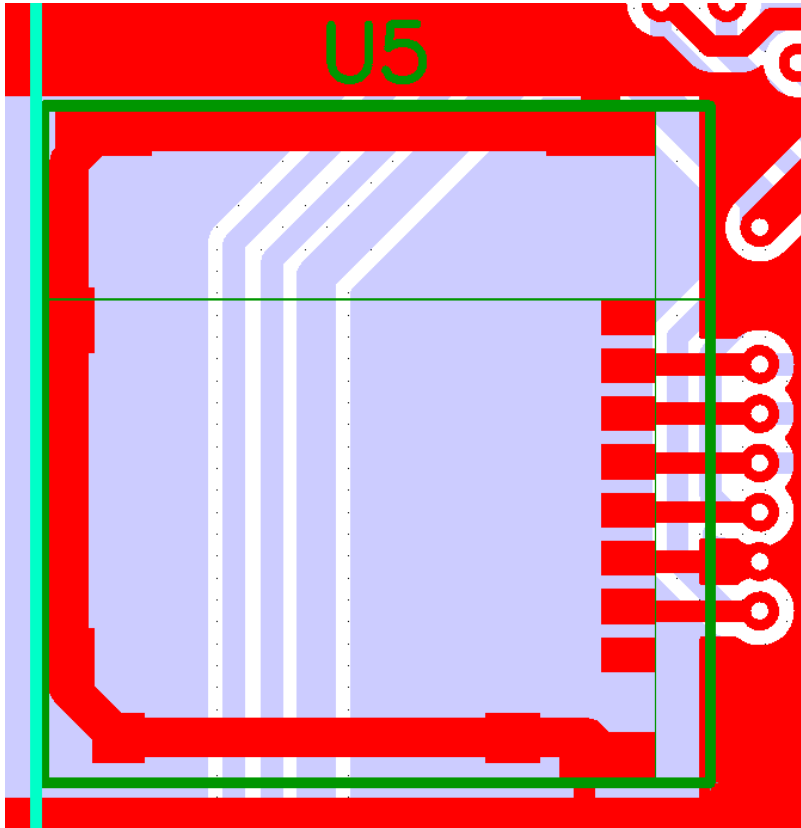
### 3.3.4 Vasealad ja läbiviigud

Vasealaid kasutatakse pindmontaažkomponentide ühendamiseks signaaliradadega ning suure osa trükkplaadil tekkivast soojusest eraldub ka nende samade vasealade kaudu. Seetõttu on projekteerimisel kasutatud näiteks toiter regulaatorite või suuremate lülituste juures suurendatud vasealaid, mis aitavad hoida komponente jahedatena (sele 3.4). Käesoleva lõputööga seotud trükkplaadid on kõik kahekihilised ning alumine trükkplaadi kiht alati kaetud vasealaga, mis on maandatud. Suurendatud vasealad ühendatakse reeglina läbiviikude abil alumise kihi maandusega kokku, mis aitab vältida maanduse potentsiaali nihkumist erinevates trükkplaadi osades. Suuri vasealaid kasutades tuleks eemaldada ebavajalikud „saared“, mis võivad hakata antennina käituma ning häirima ülejäänud süsteemi tööd.



Sele 3.4 Suurendatud vaseala LT3021-ADJ pingeregulaatori jahutamiseks

Mitmete komponentide vasealad on leitud Diptrace komponentide teegist. Nende komponentide hulka kuuluvad näiteks SOIC-8 mikrolülitused ning mitmed kaitsedioidid. 0805 tüüpi takistite ja kondensaatorite vasealad on siiski redigeeritud kitsamaks, et kahe vaseala vahelt oleks võimalik tõmmata 0,35 mm laiune rada. Samuti on vähem kasutatavate komponentide (näiteks GPS moodul, SD-kaardi lugeja/kirjutaja) vasealad projekteeritud trükkplaadi arendaja poolt (sele 3.5).



Sele 3.5 Molex 503182-1853 tüüpi Micro-SD kaardi lugeja/kirjutaja vasealade kavand

Läbiviikude suurusi trükkplaatide projekteerimisel muudetud ei ole ning Diptrace programmis on läbiviikude diameeter vaikselt 0,7 mm. Kuna üldjuhul on trükkplaadi alumine külg kaetud maandatud vasekihiga, on mõne mikrolülituse või pealmise kihi vaseala juures lisatud mitmeid läbiviike, et trükkplaat oleks ühtlaselt maandatud, maandusradade takistus oleks võimalikult väike ning süsteem oleks töökindlam.

## 4 TOODETUD TRÜKKPLAADID

### 4.1 Trükkplaatide tootmisest üldiselt

Käesoleva lõputöö raames teostati tõrkeotsinguid kahele eelnevalt valminud trükkplaadile ning projekteeriti energia kogumise ja andmehõive süsteemi jaoks kuus trükkplaati, millest kahele oli vaja ainult sisse viia tõrkeotsingul ilmunud vigade parandused.

Kõikide trükkplaatide analüüsiks ning projekteerimiseks kasutati vabavaralist programmi Diptrace 3.0. Diptrace programm on võimeline koostama elektriskeeme ning tootmiskavandeid, ent kahjuks simulatsioonidega trükkplaatide tööd kontrollida võimalik ei ole.

Trükkplaatide koostamisel on kasutatud mõningaid Diptrace komponentide teegis olevaid komponentide Euroopa tingmärke (takistid, kondensaatorid, MOSFET-id jpm) ning keerulisemate ja vähem tuntumate komponentide (optisolaator, LVDS draiver) kujutamisel elektriskeemis on projekteerija ise kujutanud tingmärkide abil komponendi tööpõhimõtet (sele 3.1).

Kuna kahte trükkplaati oli vaja vaid parandada ning nelja trükkplaati tuli algusest peale projekteerida, on seda silmas pidades jaotatud käesolev peatükk parandatud trükkplaatide analüüsimiseks ning uute projekteeritud trükkplaatide analüüsimiseks.

Trükkplaatide juhtimiseks on kirjutatud ka tarkvara, mis võimaldab andmeid lugeda erinevate trükkplaatide komponentide abil. Trükkplaatide omavaheliseks kommunikatsiooniks kasutatakse SPI protokollit ning trükkplaatide ühenduvust teiste trükkplaatidega näeb lisas 1.

### 4.2 Parandatud trükkplaadid

#### 4.2.1 Informatsiooni kogumise trükkplaat

Informatsioonikogumise trükkplaadid asuvad päiksekollektori soojuse kogumise konstruktsiooni (soojuslatt, termoelektrilised elemendid, jahutustorud) taga, kus nende jaoks on karbid informatsioonikogumise trükkplaadi kinnitamiseks. Seega informatsiooni kogumise trükkplaadid on soojusvahetuse protsessile kõige lähedamal asuval plaadid.

Informatsiooni kogumise trükkplaat on võimeline lugema ning pinge ning voolutugevuse väärtust, mis tähendab, et just nende plaatide abil saadud informatsiooni on võimalik arvutada termoelektrilistest elementidest tulevat võimsust. Parema andmehõivesüsteemi arendamiseks ning täpsemaks andmete analüüsiks on lisatud trükkplaadile ka termopaaride ühendamise võimalused koos termopaari väärtuste teisendajatega (MAX31855 nimetusega mikrolülitus).

Lisavõimalusena on informatsiooni kogumise trükkplaadil ka veel digitaal-analoogmuundur, mis võimaldab kindlal väärtusel pinget väljastada ning kommunikatsiooni jaoks on implementeeritud ka LVDS süsteem, mis muudab plaadiga suhtlemise SPI protokollil alusel töökindlamaks.

Informatsiooni kogumise trükkplaadi täieliku elektriskeemi koos tootmiskavandiga leiab lisis 2.

## 4.2.2 Informatsiooni kogumise trükkplaadile tehtud parandused

Informatsioonikogumise trükkplaadil on mitmeid komponente, millega Arduino Mega 2560 platvorm suhtleb ning selle jaoks on vaja ka õige alama valimiseks kasutada SPI protokollil SS signaali (peatükk 2.3.4). Kuna antud trükkplaadil on alamaseadmeid palju, on trükkplaadil U12 tähisega SPI liidesega Microchip MCP23S17 GPIO (*General purpose input/output*) laiendaja, mis võimaldab Arduinol Mega 2560-l suhtlemiseks valida konkreetse alama informatsioonikogumise trükkplaadil.

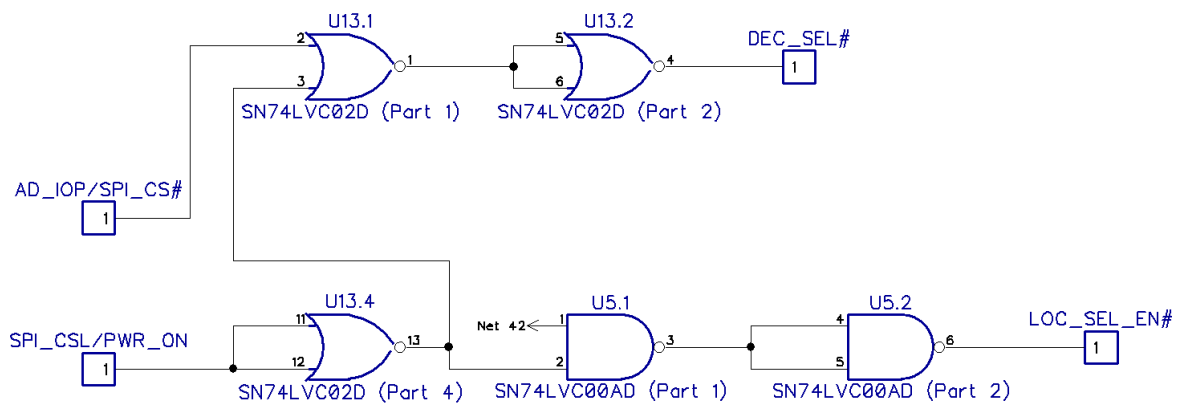
Eelnevalt projekteeritud trükkplaadi versioonil oli MCP23S17 mikrolülituse  $\overline{\text{RESET}}$  jalg ühendatud maandusega kokku. Kuna  $\overline{\text{RESET}}$  on madalal nivool aktiivne, tähendab see seda, et mikrolülitusel keelati SPI signaalidega suhtlemine ära ning see ei töötanud korrektselt. Parandatud versioonis on  $\overline{\text{RESET}}$  jalg ühendatud 3,3 V ahelaga kokku.

Teine viga projekteerimisviga esines SN74LVC00AD tähistusega U5 ja SN74LVC02D tähistusega U13 lülituste töös. U5 koosneb neljast NING-EI lülitusest ning U13 koosneb neljast VÕI-EI lülitusest. Mitmete loogikalülituste tulemusel on trükkplaadil võimalik kahe sisendi ( $\overline{\text{AD\_IOP/SPI\_CS}}$  ja  $\overline{\text{SPI\_CSL/PWR\_ON}}$ ) abil luua väljundid ( $\overline{\text{DEC\_SEL}}$  ja  $\overline{\text{LOC\_SEL\_EN}}$ ), mis kontrollivad koostöös eelnevalt välja toodud MCP23S17 lülituse abil õige alama valimist SPI kommunikatsiooni jaoks. Eelnev projekteerija oli teinud loogikalülituste ühendamisel vea. Õiged lülituse sisendite ja väljundite nivood on kujutatud tabelis 4.1 ning loogikalülituste asetus on kujutatud seel 4.1.

Tabel 4.1 U5 ja U13 lülituste abil koostatud loogikalülituste sisendite ja väljundite tabel informatsioonikogumise trükkplaadil

Sisendid		Väljundid	
$\overline{\text{AD\_IOP/SPI\_CS}}$	$\overline{\text{SPI\_CSL/PWR\_ON}}$	$\overline{\text{DEC\_SEL}}$	$\overline{\text{LOC\_SEL\_EN}}$
0	0	1	1
0	1	0	0
1	0	1	0
1	1	1	0





Sele 4.1 U5 ja U13 komponentide abil koostatud loogikalülituste jada

Kolmas projekteerimisviga esines AD8417, tähisega U6 skeemiosas. AD8417 on šundiga voolumõõtmise juures kasutatav võimendi ning seda kasutatakse termoelektrilistest elementidest tuleva voolutugevuse mõõtmiseks. Voolutugevuse väärtuse suurenedes annab U6 väljundisse ka suurema pinge väärtuse, mida on võimalik analoog-digitaalmuunduri abiga lugeda ning Arduinole saata.

U6 mikrolülitus kasutab kahte referentspinget (VREF1, VREF2) ning esimene nendest peab olema ühendatud kõrgele nivoole (3,3 V) ning teine peab olema ühendatud madalale nivoole (0 V). Esialgsel versioonil olid mõlemad referentspinged ühendatud madalale nivoole.

Neljas projekteerimisviga esines MCP4912, tähisega U9 skeemiosas. MCP4912 on SPI liidesega digitaal-analoogmuundur, millel tuli  $\overline{\text{SHDN}}$  jalg ühendada  $\overline{\text{CS\_LDAC}}$  ahelaga ning  $\overline{\text{LDAC}}$  jalg ühendada maandusesse.

Viies projekteerimisviga esines MAX31855, tähisega U1...U4 skeemiosades. MAX31855 on SPI liidesega mikrolülitus, mis on võimeline töötleva termopaarilt saadud pingeväärtusi ning SPI liinide kaudu saatma informatsiooni Arduino Mega 2560-le. Eelnevalt koostatud skeemis oli toitepinge jalg ühendatud maandusesse ning maanduse jalg toitepingesse. Parandustega plaadil vahetati jalgadele ühenduvad ahelad korrektseteks.

### 4.2.3 Analoo-digitaalmuunduri trükkplaat

Analoo-digitaalmuunduri plaadil asub Texas Instruments'i ADS1248 SPI liidesega mikrolülitus, tähisega U1, mis on 24-bitine, 2 kSPS kiirusega keerukas ent samas võimekas ja täpne analoo-digitaalmuundur. SPI protokoll kasutades on võimalik Arduino Mega 2560-l konfigurereida selle ADC seadeid ning lugeda selle abil mitmete sisendite pingeid.

Sarnaselt informatsioonikogumise trükkplaadile, on ka ADC plaadil mitmeid komponente peal, mis näiteks võimaldavad plaadiga SPI LVDS liidestust koos SS liini kordistusega. Lisaks on ADC trükkplaadil ka eraldi toiteregulaatorid 3,3 V analoogkomponentide jaoks ning 3,3 V digitaalkomponentide jaoks, termopaaride sisendid koos termopaari pingeväärtuste teisendajatega.

ADC trükkplaadi täieliku elektriskeemi koos tootmiskavandiga leiab lisas 3.

## 4.2.4 Analoo-digitaalmuunduri trükkplaadile tehtud parandused

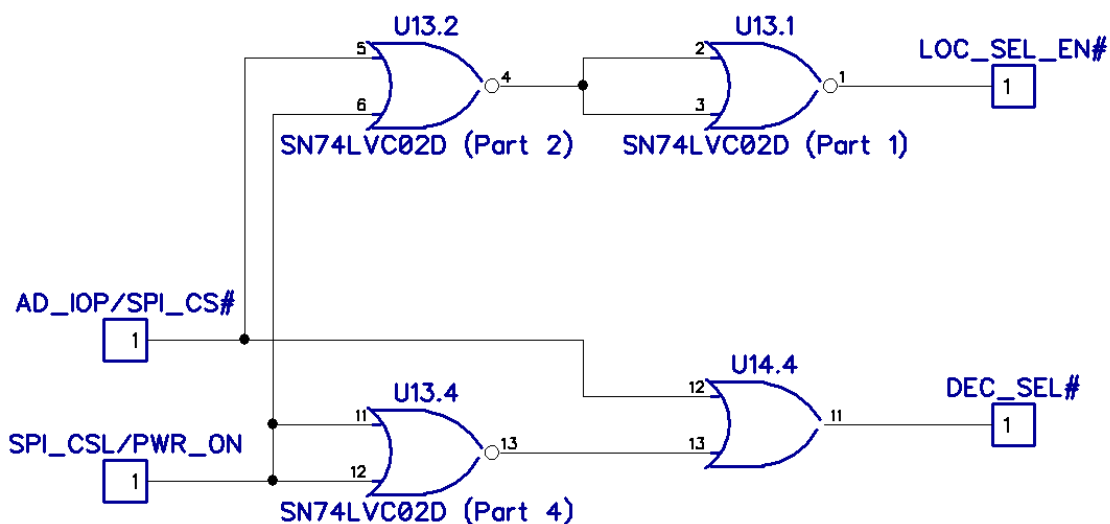
Sarnaselt informatsioonikogumise trükkplaadile, kasutatakse SS signaali kordistamiseks MCP23S17 GPIO laiendajat, tähisega U8. ADC trükkplaadil on tehtud sarnaseid vigasid nagu informatsiooni kogumise trükkplaadil ning ka ADC trükkplaadil asuvad GPIO laiendaja  $\overline{\text{RESET}}$  jalg on ühendatud esialguses trükkplaadi versioonis maandusesse. Parandatud trükkplaadi skeemil on  $\overline{\text{RESET}}$  jalg ühendatud mikrolülitus toitesse.

Teise projekteerimisveana on ka ADC plaadil realiseeritud loogikalülituste jada SN74LVC02D VÕI-EI lülituse, tähisega U13 ja SN74LVC32D VÕI lülituse, tähisega U14 abil. Tegelike sisendite ja väljundite suhet iseloomustab tabel 4.2.

Tabel 4.2 U13 ja U14 lülituste abil koostatud loogikalülituste sisendite ja väljundite tabel ADC trükkplaadil.

Sisendid		Väljundid	
$\overline{\text{AD\_IOP/SPI\_CS}}$	$\overline{\text{SPI\_CSL/PWR\_ON}}$	$\overline{\text{DEC\_SEL}}$	$\overline{\text{LOC\_SEL\_EN}}$
0	0	1	0
0	1	0	1
1	0	1	1
1	1	1	1

Vastava tabeli sisendite ja väljundite väärtused on koostatud seel 4.2 kujutatud loogikalülituste jada abil.



Sele 4.2 U13 ja U14 komponentide abil koostatud kombinatsioonloogika

Kolmandat muudatust ADC trükkplaadil ei oleks õiglane nimetada projekteerimisveaks. ADS1248 plaadi programmeerimisel tekkisid tõrked ning Arduino poolt saadetud ja vastuvõetud informatsioon ei olnud korrapärane ja töökindel. Tõrkeotsingu tulemustest lähtudes lisati ADC SCLK liini ja maanduse vahele 47 kΩ takisti ning 33 pF kondensaator paralleelselt, mis jäljendavad ostsilloskoobi sondi elektriparameetreid.

Neljanda projekteerimisveana on BAT54S Shottky diodid, tähistega D1...D4 asetatud trükkplaadi skeemile valepidiselt. Uuendatud trükkplaadi skeemil on diodide jalgade külge ühendatud õiged elektriahelad.

Viienda projekteerimisveana on sarnaselt informatsioonikogumise trükkplaadile ka ADC trükkplaadil oleva MAX31855 komponendi toiteahel ning maanduse ahel omavahel valesti.

Kuuenda muutusena lisati ADC trükkplaadile 3,3 V  $\rightarrow$  1,2 V LT3021ADJ toiteregulaator, tähisega U6. ADS1248 tehniliselt andmelehel selgub, et tugipingeks ei sobi antud ADC-le 0 V ning seetõttu kavandati plaadile lisaks 1.2 V toitepinge, mida kasutatakse uue referentspingena ADC-l.

## 4.3 Projekteeritud trükkplaadid

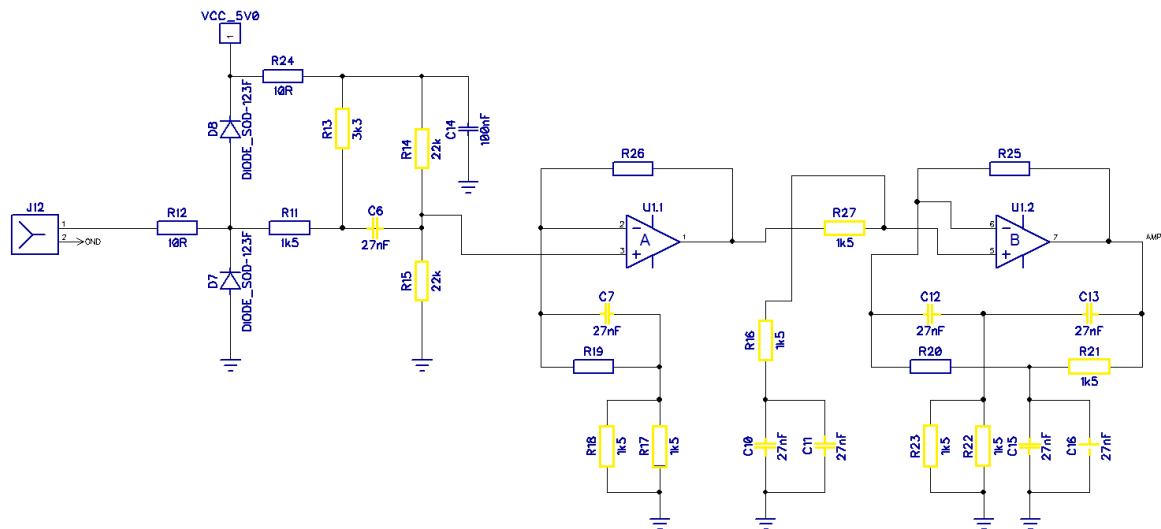
### 4.3.1 Võimendi ja pingejagurite trükkplaat

Võimendi ja pingejaguri trükkplaadil on kaks eesmärki: võimendada Fraunhoferi kalibreerimistunnistusega ISET päikesekiirgussensori väljundpinget ning jagada pingejagurite abil CPC1832 päiksepaneelide väljundpinget. Päikesekiirgussensor aitab leida päikse poolt tulenevat elektromagnetilist kiirgusvõimsustihedust väga täpselt ning CPC1832 sensoreid kasutatakse päikse asukoha tuvastamiseks „vihmavarju“ konstruktsiooni kaudu, mida kirjelduse leiab peatükist 1.3.

Võimendi ja pingejagurite trükkplaadi täielik elektriskeem ja tootmiskavand on esitatud lisis 4.

**Võimendiga** võimendatakse ISET päikesekiirgussensorist tulevat pingesignaali. ISET päikesekiirgussensori tehniliselt andmelehel on võimalik lugeda, et ligikaudu  $1000 \text{ W/m}^2$  päikselt lähtuva tüüpilise spektriga elektromagnetilise kiirgusvõimsustiheduse korral on pingeväljund 30 mV. Fraunhoferi kalibreerimistunnistus kinnitab täpselt, et  $1001,798 \text{ W/m}^2$  elektromagnetilise radiatsiooni korral on väljundpinge väärtus 27,533 mV  $\pm 3\%$  mõõtemääramatusega. ADC jaoks on sellised pingeväärtused liiga madalad, et piisava täpsusega mõõtetulemus teisendada ning seejärel edastada.

Selle probleemi lahendamiseks kasutataksegi suure täpsusega võimendit OP262GS, tähisega U1, mis on operatsioonivõimendite baasil ehitatud võimendi (sele 4.3). OP262GS tehniline andmeleht kinnitab, et maksimaalne viga pingete võimendamisel võib olla  $0,325 \mu\text{V}$ , mis on sobilik meile vajaliku mõõtmistäpsusega. OP262GS võimaldab kaheastmelist võimendust, st esimese operatsioonivõimendi abil teostatakse esimene võimendus, mis seejärel suundub teise operatsioonivõimenduse juurde, kus teostatakse teine võimendus. Esimese astme ning teise astme võimenduse väärtused korrutades saab teada terve võimendusahela võimenduse.



Sele 4.3 OP262GS põhjal koostatud võimendi skeemiosa, kus kollaselt märgitud komponente ei monteerita

Võimendustegur mõlemale võimendusahelale valitakse välistakistite abil pingejagurite näol. Esialgu on võimendustegur esimeses astmes 6 ning teises astmes 10, ehk terve võimendusahel peaks võimendama esialgset signaali 60 kordselt. 60 kordse võimendusteguri korral on näiteks  $2000 \text{ W/m}^2$  elektromagnetilise kiirgusvõimsustiheduse korral väljundis 3,6 V, mis on analoog-digitaalmuunduri trükkplaadil asuva ADS1248 analoog-digitaalmuunduri jaoks sobivam pingeväärtus, mida täpselt töödelda.

**Pingejagureid** kasutatakse SOIC korpuses olevate CPC1832 päiksepaneelide pingeväärtuste piiramiseks. Tugeva päikesekiirguse korral võivad CPC1832 mikrolülitused väljundisse anda 8 V pinge väärtuse, mis on taaskord ADC teisenduste jaoks liiga kõrge. Kahe määratud takisti abil koostatakse pingejagur, mis jagab sissetuleva pingeväärtuse kolmeks.

**CPC1832** päikese suuna tuvastamise andurite trükkplaadid, mis asuvad „vihmavarju“ konstruktsioonil, leiab lisas 5.

### 4.3.2 Optoisolatsiooni trükkplaat

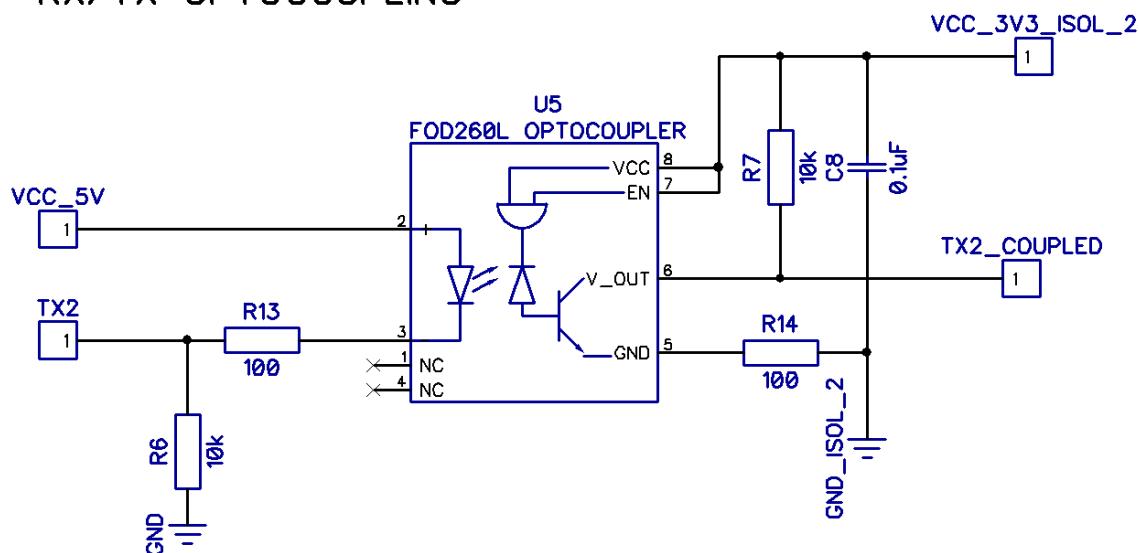
Optoisolaator on komponent, mis suudab ühelt juhilt tulevat signaali edasi kanda teisele juhile, kasutades optilist eraldamist. See tähendab, et juhid ei ole omavahel elektriliselt ühendatud ning signaali edasi kandmiseks kasutatakse hoopis valgust. Optoisolatsiooni kasutatakse käesoleva lõputöös erinevate elektrisüsteemide eraldamiseks. Juhul kui ühes andmehõive või energia kogumise süsteemiosas peaks tekkima tugev pingehüpe, on optiliselt isoleeritud süsteemi osas oleva komponendid ja mikrokontrollerid kaitstud.

Optilise isolatsiooni trükkplaadi täieliku elektriskeemi ja tootmiskavandit näeb lisas 6.

**Optoisolatsiooni** võimaldavad FOD260L komponendid, tähistega U1, U2, U5, U6, U8, U9. Optiliselt isoleeritud elektrisignaali saatmiseks on FOD260L komponendil sisenditeks 5 V pingel olev toide ning Arduino plaadilt tulev TX liin, mille abil on võimalik andmesignaali saata.

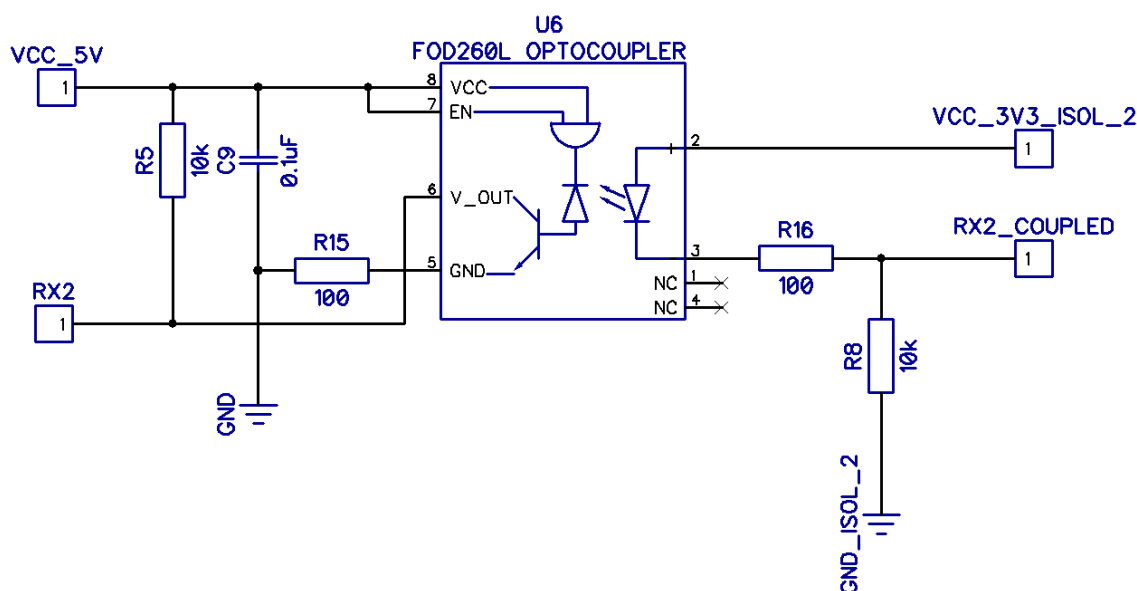
Optoisolatsiooni elektriskeemilt (sele 4.4) on näha, et juhul kui TX liin on madalal nivool, on 5 V toite ja TX liini vahel olev potentsiaalide vahe suur ning FOD260L mikrolülituse sees olev LED töötab. Kui TX liin on kõrgel nivool, siis on 5 V toite ja TX liini vahel madal potentsiaalide vahe, mis tähendab et LED ei tööta. Seega LED süttib ja kustub TX liinil olevate nivoode vaheldumisel. LED-i põlemise ja kustumise tuvastab ära teisel pool isolatsiooniahelat olev andur, mis kannab signaali isoleeritud juhis edasi.

## RX/TX OPTOCOUPLING



Sele 4.4 FOD260L põhjal koostatud TX optoisolatsiooniahel, kus vasakul pool on Arduino Mega 2560 platvormile ühenduv pool ja paremal on andmevahetuskaabli pool

RX liinil toimub andmete vastuvõtmine, ent FOD260L komponent on vastassuunaliselt ühendatud. RX signaalide lugemise protsess on siiski TX kirjutamise protsessile väga sarnane (sele 4.5).



Sele 4.5 FOD260L põhjal koostatud RX optoisolatsiooniahel, kus vasakul pool on Arduino Mega 2560 platvormile ühenduv pool ja paremal on andmevahetuskaabli pool

**Isoleeritud toiteahel** kaitseb elektrisüsteeme pingenihetes ja -hüpetes eest ning reguleerib pingeid FOD260L komponentide jaoks. Selle jaoks kasutatakse optoisolatsiooni trükkplaadil IE0503S isoleeritud

toiteregulaatoreid, tähistega U3, U11, U12. Antud toiteregulaator reguleerib 5 V sisendpinge isoleeritud 3,3 V väljundpingele. See tähendab, et sisendi toiteahela ja maanduse ahela vahel on alati 5 V ning väljundis on toiteahela ja isoleeritud maanduse vahel alati 3,3 V. Antud olukorras võivad mängu tulla suured pingete nihkumised, mis IE0503S komponendile mõju ei avalda, sest sisendi ja väljundi maandused ei ole omavahel ühendatud. Näiteks võib sisendis olla toiteahel 5 V peal maanduse suhtes ning väljundis võib olla toiteahel 25,3 V peal tavalise maanduse suhtes. Isoleeritud maanduse ja tavalise maanduse potentsiaalide vahe on seega 22 V. Optoisolatsiooni trükkplaadil on 3 sellist toiteregulaatorit ja igaüks neist toidab ühte FOD260L RX ning TX ahela paari.

**Diferentsiaalsignaali muundajatena** kasutatakse antud trükkplaadil SN65LVDM179D komponente, tähistega U4, U7, U10. Sarnaselt SN65LVDS050 komponendile, kasutab see komponent signaalide diferentseerimisel RS-644 standardit (vt peatükk 2.5) aga omab ainult kahte diferentseerimisahelat, sest diferentseerida on vaja ainult RX ja TX signaale. Ka neid komponente toidetakse isoleeritud toiteahela kaudu.

### 4.3.3 GPS mooduli ja SD-kaardi mooduli trükkplaat

Andmehõive ja energia kogumise süsteemis on implementeeritud ka GPS moodul ja SD-kaardi lugemise/kirjutamise moodul.

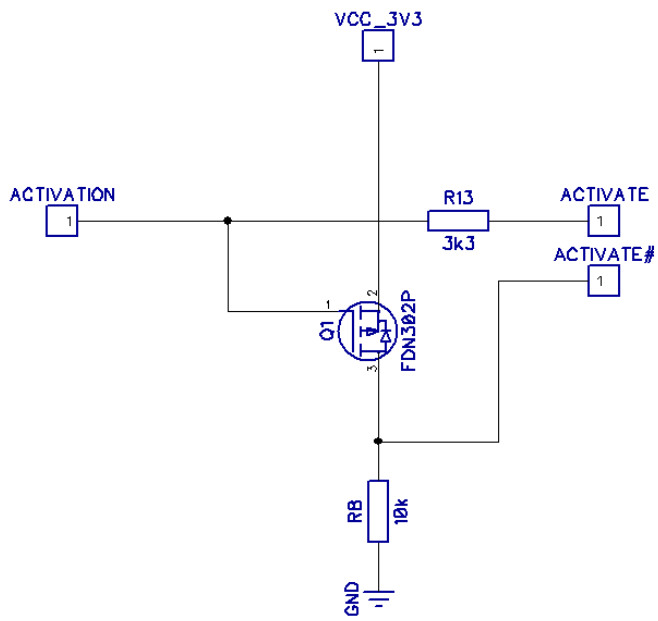
GPS moodulit kasutatakse kellaaja saamiseks ning see on sellepärast vajalik, et juhul kui päikese tuvastamise ja järgmise süsteem päikese asukohta tuvastada ei suuda või üldse kokku jookseb, on kellaaja järgi võimalik päikesekollektor keerata turvalisse asendisse, kus päikesevalgust kumerpeeglile ei lange. GPS moodulina kasutatakse GY-NEO6MV2 komponenti, tähistega U2. See GPS moodul kasutab Arduino Mega 2560-ga suhtlemiseks RX ja TX liine.

SD-kaardi lugejana kasutatakse SPI liidesega Molex 503182 komponenti, tähistega U5. SD-kaardile lugemine ja kirjutamine annab võimaluse näiteks informatsiooni kogumise trükkplaadilt ja analoog-digitaalmuunduri trükkplaadilt saadud informatsiooni logimiseks.

Antud trükkplaadile on projekteeritud ka aktiveerimis-kombinatorloogika (sele 4.6), mis juhib kahte ümberlülituse mikrolülitust ning LVDS diferentsiaalsignaali draiverit. Näiteks on SD-kaardi lugeja/kirjutaja mooduli ees ümberlülitus, mis lülitab SPI protokolliga signaale. Kui selle ümberlülituse jaoks pole aktiveerimisloogika õigel nivool, SD-kaardile lugemist ega kirjutamist toimuda ei saa. Kuna antud trükkplaadil pole väga palju alamaid, millega oleks ülemaal vaja suhelda, pole vaja ka nii keerukat alamate adresseerimise viisi kasutada nagu oli näiteks informatsioonikogumise trükkplaadil, kus kasutati MCP23S17 GPIO laiendajat.

GPS ja SD-kaardi moodulitega trükkplaadi elektriskeem ja tootmiskavand on kujutatud lisa 7.

## Activation Logic



Sele 4.6 GPS-mooduli ja SD-kaardi mooduli trükkplaadil olev aktiveerimise loogika

## 5 TARKVARA

### 5.1 Tarkvarast üldiselt

Arduino Mega 2560 on Atmega2560 mikroprotsessori põhjal ehitatud mikrokontrolleri baasplatvorm. Mega 2560-l on 54 digitaalset sisendit/väljundit (15 väljundit sobivad pulsilaiusmodulatsiooni jaoks), 16 analoog sisendit, 4 UART (*Universal asynchronous receiver/transmitter*) porti, 16 MHz kellatakti sagedus, USB pistik, toitepistik, ICSP (*In-circuit serial programming*) pistik ning RESET-nupp. [12]

Käesolevas lõputöös kasutatakse mitmeid Arduino Mega 2560 abil juhitud süsteeme, mis on omavahel galvaaniliselt isoleeritud optoisolatsiooni trükkplaatide abil. Seega on ühes alamsüsteemis toimuva lühise korral teised elektrisüsteemi komponendid (sh ka Arduino) kaitstud ning turvalisuse säilitamise meetmed on endiselt töövõimelised.

Arduino Mega 2560 konfigureerimiseks ja programmeerimiseks kasutati Arduino IDE 1.8.2 tarkvara. Antud projekti arendamiseks kasutatakse just Arduino trükkplaate, sest eelnevalt koostatud trükkplaadid on projekteeritud sobituma Arduino Mega 2560 piikühendustega. Arduinode programmeerimiseks kasutatakse ka Arduino IDE tarkvara, sest Arduino valmisfunktsioonide (näiteks *SPI.transfer* jpm) teekide abil on tarkvaraarendajate jaoks elu lihtsaks tehtud. Arduino trükkplaadid ja tarkvara ei ole üldiselt professionaalsete tarkvaraarendajate seas levinud, ent lihtsamate ning vähem spetsiifiliste süsteemide programmeerimiseks sobib Arduino väga hästi.

Arduino IDE 1.8.2 programmis kasutatakse C ja C++ programmeerimiskeeli, ent tänu Arduino rohketele teekidele ja ettekirjutatud funktsioonidele, ei pea ise hakkama erinevate teekide sügavustes kompima hakkama ning neid funktsioone redigeerima hakkama.

Käesolevas lõputöö raames kirjutati Arduino IDE programmis tarkvara informatsioonikogumise trükkplaadile ja analoog-digitaalmuunduri trükkplaadile.

### 5.2 Informatsiooni kogumise trükkplaadi tarkvara

#### 5.2.1 Informatsioonikogumise trükkplaadi tarkvarast üldiselt

Nagu peatükis 4.2.1 on mainitud, informatsiooni kogumise plaat suudab lugeda termoelektriliselt elemendilt tulevat pinget ja voolutugevust ning suudab ka teisendada MAX31855 lülituse abil termopaaride väärtusi digitaalinformatsiooniks.

Kuna terve programmikood on küllaltki mahukas, on välja toodud järgmised funktsioonid ja nende funktsioonide kirjeldused, mis moodustavad informatsiooni kogumise trükkplaadi tarkvarast põhiosa.



## 5.2.2 Multipleksor trükkplaadi valimise alamfunktsioon

Multipleksor trükkplaadi on terve energiakogumise ja andmehõive süsteemiosa, mis vastab õige trükkplaadi adresseerimise eest. Multipleksor trükkplaadid kinnituvad trükkplaatide jaoks koostatud elektroonikakesta sisse ning elektrilises süsteemis asub multiplexsori trükkplaat Arduino Mega 2560 ja informatsiooni kogumise trükkplaadi vahel.

Kuna iga informatsiooni kogumise trükkplaadi jaoks on üks multipleksor plaat, tuleb enne informatsiooni vahetamist aktiveerida õige informatsiooni kogumise trükkplaadi küljes olev multiplexsori trükkplaat. Õige informatsioonikogumise trükkplaadi adresseerimiseks kasutatakse nii riistvara kui ka tarkvara. Riistvaraosas kasutatakse adresseerimiseks näiteks 3→8 dekodeerid, invertereid, JA loogikaelemente ning tarkvaraosas kasutatakse väljundite nivoode muutmist õige trükkplaadi valimiseks.

Multipleksor plaadi abil aadressi valimiseks tuleb esialgu määrata M\_EN liin kõrgele nivoole, mis lubab edasist informatsiooni vahetamist. Multipleksor trükkplaadi valimise alamfunktsiooni tuleb saata kolm täisarvulist muutujat, mis 3→8 dekodeeri abil aktiveerivad õige multiplexsori trükkplaadi. Plaadil oleva kollast värvi LED indikaatori põlemisel on trükkplaat parajasti aktiveeritud. Terviklik alama valimise algoritm on kujutatud lisa 8.

Lisaks on antud alamfunktsioonil ka kontrollid, mis keelavad suvaliste täisarvuliste muutujate sisestuse ning lisaks väljastab alamfunktsioon läbi Arduino *Serial Monitori* kasutajale valitud multiplexsoriplaadi numbri.

Multipleksor trükkplaadi valimise alamfunktsioon on kujutatud lisa 9.

## 5.2.3 MCP23S17 registre konfigurimise alamfunktsioon

Kuna informatsioonikogumise trükkplaadil olevaid alamaid on palju, on nende adresseerimiseks kasutatud SPI liidesega MCP23S17 komponenti, mis on GPIO laiendaja. MCP23S17 tehnilises andmelehes [13] on välja toodud hulgaliselt erinevaid registreid, mida kasutatakse selle mikrolülituse konfigurimiseks ning programmikoodi lihtsustamise eesmärgil oli vaja koostada alamprogramm, mis neid registreid edukalt konfigurimiseks suudab.

MCP23S17 kasutab kahte erinevat GPIO porti, GPIO porti A ja GPIO porti B ning kumbki port on võimalik ühendada kaheksa alamaga. Kuigi tehnilise andmelehe järgi on MCP23S17 komponendil 20 erinevat registrit, mis on võimalik konfigurimiseks, on andmehõive süsteemi arendamiseks vaja konfigurimiseks neist ainult kuute registrit, milleks on IODIRA, IODIRB, IOCONA, IOCONB, GPIOA, GPIOB. Ülejäänud registreid vaikumisi väärtused on meie jaoks juba sobivad ning neid konfigurimiseks ei pea.

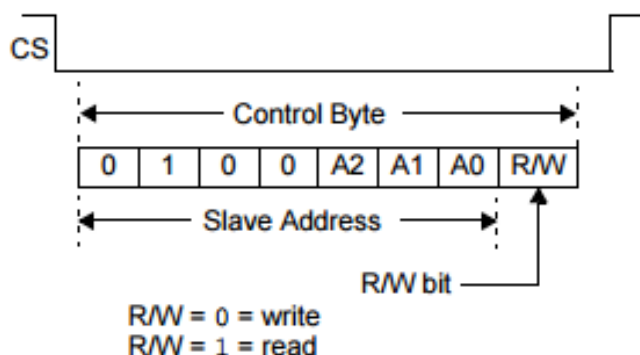
**IODIRA ja IODIRB** – registrid vastavalt portidele A ja B, mis valivad, millised GPIO liinide külge ühendatud komponendid on sisendid või väljundid. Kuna meile süsteemis kasutatakse MCP23S17 mikrolülitust alamate valimiseks, peavad kõik GPIO-d olema konfigurimiseks väljunditeks.

**IOCONA ja IOCONB** – IOCON registrid võimaldavad seadistada näiteks registritesse kirjutamise järjekorda, porte konfigureerida, muuta liinide polaarsuse jpm. Täpsemat informatsiooni saab lugeda Microchip Technology MCP23S17 komponendi tehniliselt andmelehel [13, lk 18]

**GPIOA ja GPIOB** – GPIO register võimaldab sättida GPIO väljundite väärtusi. Kuna antud lõputöö andmehõive süsteemis on GPIO väljunditele ühendatud alamate valimiseks SS signaalid, on vaja tarkvaras meil ainult määrata üks GPIO signaalidest madalale nivoole ning teised signaalid jätta kõrgele nivoole. Nõnda on võimalik adresseerida ühte konkreetset alamat ning sellega informatsiooni vahetada.

Registrite muutmise jaoks tuleb alamfunktsiooni kaasa saata registri nimi ning uus väärtus, mida soovitakse registrisse kirjutada. Igale saadetud registri nimele on alamfunktsioonis vastab registri aadress, mille abil programm teab, millisele registrile väärtust seada. Kuna MCP23S17 on SPI liidese mikrolülitus, kasutatakse MCP23S17 ja Arduino vaheliseks suhtluseks SPI funktsioone (vt peatükk 2).

Registri väärtuse määramiseks saadab Arduino 24-bitise infojada, kus esimesed 8 bitti määravad ära, millise MCP23S17 mikrolülitusega parajasti suheldakse. Kuna igal informatsioonilugemise trükkplaadil on vaid üks MCP23S17 lülitus peal, tuleb selle jaoks elektriskeemist järgi vaadata, millise ahela osaga antud komponendi A0...A2 jalad ühendatud on. Antud elektriskeemis on antud jalad ühendatud toitesse, seega tuleb informatsioonilugemise trükkplaadil oleva MCP23S17 ühenduse loomiseks saada bitid „01001110“, kus neli esimest bitti peavad alati samad olema, kolm järgmist bitti on A2...A0 nivoode väärtused ning viimane bitt näitab, kas MCP23S17 mikrolülitusele kirjutatakse või soovitakse sealt informatsiooni lugeda (sele 5.1).



Sele 5.1 MCP23S17 poole pöördumiseks vajalik bitijada

Järgmised saadetavad 8 bitti määravad ära, millise registri väärtus üle kirjutatakse. Registri nime abil on alamfunktsioon võimeline saatma õige registri aadressi. Viimase 8 bitina saadetakse uus registri väärtus, mida kasutaja on soovinud sättida.

Taaskord on alamfunktsioonis kasutatud kontrolle, et ei juhtuks mingisuguseid tahtmatuid olukordi. Kontrollitakse, kas registri nimi on üldse nimistus olemas ning kas soovitud väärtus oleks üldse 8 biti sisse mahtuv suurus.

Registrite konfigureerimise alamfunktsioon on kujutatud lisas 10.

## 5.2.4 MAX31855 temperatuuri lugemise alamfunktsioonid

Informatsioonikogumise trükkplaatidel on neli MAX31855 komponenti, tähistega U1...U4. MAX31855 on SPI liidesega mikrolülitus, mis on võimeline töötlema termopaarilt saadud pingeväärtusi ning SPI liinide kaudu saatma informatsiooni näiteks Arduino Mega 2560-le. Temperatuuri lugemiseks kasutatakse kahte alamfunktsiooni, *readMax31855Temp* ning *readMax31855TempConversion*. Esimene alamfunktsioon vastutab õige MAX31855 mikrolülituse adresseerimise eest ning teine alamfunktsioon sisaldab kõiki temperatuuri lugemise ja andmetöötluse jaoks vajalike koodiridasid. Temperatuuri lugemise alamfunktsioonis loetakse MAX31855 mikrolülitusel oleva temperatuurianduri väärtust, sest tarkvara arendamise etapi ajal polnud veel termopaarid MAX31855 mikrolülituse liinidele ühendatud. Temperatuuri lugemise põhimõte on mõlemal juhusel väga sarnane.

**Esimesele** alamfunktsioonile saadetakse täisarvulise muutujana kaasa number 0..3, mis annab informatsiooni selle kohta, millise MAX31855 mikrolülituse käest temperatuuri lugeda soovitakse. Adresseerimise alamfunktsioonis kasutatakse ka omakorda MCP23S17 registrite konfigureerimise alamfunktsiooni (vt peatükk 5.2.2), mis valib GPIO liinide küljes oleva õige MAX31855 komponendi SS signaali madalale nivoole. Antud alamfunktsioonis kasutatakse taaskord kontrolle, mis väldivad ebamääraseid olekuid alamfunktsioonides.

**Teise** alamfunktsiooni jaoks luuakse neli täisarvulist muutujat *data1...data4*, kuhu salvestatakse SPI informatsioonivahetuse käigus loetud informatsioon. Andmed loetakse täisarvulistesse muutujatesse sisse korraga ning andmeajas on informatsiooni 32 bitti. 32-bitisesse informatsioonijadast on võimalik lugeda näiteks termopaari temperatuuri, mikrolülitusel oleva temperatuurianduri temperatuuriväärtust ning antud informatsioonijadas on ka välja toodud veatuvastamise bitid.

Antud programmikoodis kasutatav Arduino funktsioon *SPI.transfer()* on võimeline lugema SPI liinil olevat informatsiooni ainult 8 biti kaupa. Seega lõpptulemuse saamiseks tuleb koondada neljas muutujas olevad väärtused üheks suureks väärtuseks. Antud informatsioonijada salvestamiseks kasutatakse *long* tüüpi muutujat, sest *int* muutujasse nii suured väärtused ei mahu. 32-bitise informatsioonijada koostamiseks kasutatakse bittide korrutamist 256-ga, mis nihutab andmed täpselt 8 biti võrra edasi.

Kuna antud lõputöös loetakse MAX31855 mikrolülitusel oleva anduri temperatuuriväärtust, tuleb 32-bitisest informatsioonijadast tehnilise andmelehe järgi filtreerida välja bitid numbriga 15..4 ning filtreeritud informatsioon tuleb temperatuuri näidu saamiseks jagada 16-ga.

Temperatuuri lugemise alamfunktsioonid on kujutatud lisan 11.

## 5.2.5 MCP4912 digitaal-analoogmuunduri alamfunktsioonid

Kui temperatuuri lugemiseks kasutatakse kahte alamfunktsiooni, siis DAC-i kasutamiseks kasutatakse samuti kahte alamfunktsiooni. Esimene alamfunktsioon *setOutputVoltage* määrab taaskord DAC liinil oleva SS signaali madalale nivoole MCP23S17 kaudu ning määrab ära, millisele DAC kanalile pinge väljastatakse.

Teine alamfunktsioon *applyVoltageWriting* seob vajaliku informatsiooni *SPI.transfer()* funktsiooni jaoks kokku ning edastab selle DAC-ile. Pinge väärtuse sättimiseks tuleb alamfunktsioonide käivitamiseks anda kaasa ka kaks täisarvulist muutujat, mis nimetavad väljastamise pordi numbri ning väljundpinge väärtuse millivoltides.

**Esimene** alamfunktsioon kasutab taaskord registre konfigurimise alamfunktsiooni ning sellele lisaks valitakse seal funktsioonis pinge väljastamise port. MCP4912 DAC-il on pinge väljastamiseks port A ja port B, seega on võimalik korraga väljastada antud DAC-i kasutades kaks erinevat pinge väärtust. Antud alamfunktsioonis kasutatakse kontrolle, et vältida ebamääraste olekute tekkimist alamfunktsioonides.

**Teine** alamfunktsioon seob informatsiooni SPI informatsioonivahetuse jaoks kokku. Tehnilise andmelehe [14, lk 24] järgi tuleb DAC-ile saata 4 konfigurimise bitti, 10 väljundpinge bitti ning 2 ebaolulist bitti. Antud alamfunktsioon seob antud informatsiooni 16-bitiseks informatsioonijadaks ning seejärel jagab selle kaheks 8-bitiseks informatsioonijadaks, mis on vajalik *SPI.transfer()* funktsiooni kasutamiseks.

DAC kasutamise alamfunktsioonid on kujutatud lisas 12.

## 5.2.6 LTC1861 analoog-digitaalmuunduri alamfunktsioonid

Sarnaselt temperatuuri lugemise ja DAC kasutamise funktsioonidega, on ka ADC kasutamiseks kaks alamfunktsiooni. Esimene alamfunktsioon *readInputVoltage* määrab ADC liinil oleva SS signaali MCP23S17 kaudu madalale nivoole ning määrab ära, millisele ADC kanalile pinge väljastatakse. Teine alamfunktsioon *applyVoltageReading* loeb vajaliku informatsiooni *SPI.transfer()* funktsiooni kaudu ning seob informatsiooni üheks informatsioonijadaks.

**Esimene** alamfunktsioon kasutab registre konfigurimise alamfunktsiooni ning sellele lisaks valitakse seal funktsioonis pinge lugemise port. Sarnaselt MCP4912 komponendile, on LTC1861 ADC-l pinge lugemiseks port A ja port B, seega on võimalik lugeda mõlemad pordil olevat pinge väärtust. Antud alamfunktsioonis kasutatakse kontrolle, et vältida ebamääraste olekute tekkimist alamfunktsioonides.

**Teine** alamfunktsioon kasutab alguses SS liini nivoole muutmist, et äratada ADC ooterežiimist üles. Seejärel saadetakse 16-bitine informatsioonijada ADCle, mis sisaldab pordi numbrit. Pärast sellise käsu saamist hakkab ADC sisendite liinidel oleva pinge teisendamist, mistõttu enne informatsiooni lugemist kasutatakse *delay()* funktsiooni. Järgmise *SPI.transfer()* funktsiooniga loetakse kahe baidiga ADC pinge väärtus, mille hulgast tuleb taaskord välja eraldada 12-bitine info pinge suuruste kohta ning see jagada 2-ga.

ADC kasutamise alamfunktsioonid on kujutatud lisas 13.

## 5.3 Analoog-digitaalmuunduri trükkplaadi tarkvara

### 5.3.1 Analoog-digitaalmuunduri trükkplaadi tarkvarast üldiselt

Peatükis 4.2.3 oli mainitud, et analoog-digitaalmuunduri plaadil asub Texas Instruments'i ADS1248 SPI liidesega mikrolülitus, tähisega U1, mis on 24-bitine, 2 kSPS kiirusega keerukas, ent samas võimekas analoog-digitaalmuundur. ADC trükkplaadile arendatud tarkvara sisaldab mõningaid informatsioonikogumise trükkplaadile kirjutatud tarkvara alamfunktsioone, mille kirjeldused leiab peatükist 5.2. Sarnaselt informatsioonikogumise trükkplaadi tarkvarale, kasutab ka ADC trükkplaadi tarkvara multipleksor trükkplaadi valimise alamfunktsioon, MCP23S17 registre konfigurereerimise alamfunktsiooni ja MAX31855 temperatuuri lugemise alamfunktsiooni.

Eelnevalt nimetatud funktsioonid ei ole siiski informatsioonikogumise trükkplaadile kirjutatud tarkvaraga täielikult samane. Seoses signaaliliinide erineva füüsilise asetusega trükkplaatidel, on ADC trükkplaadile kirjutatud tarkvara kohendatud, ent alamfunktsioonide funktsionaalsus ja tööpõhimõtted on samad. Antud kohendatud funktsioone on võimalik leida lisa 14.

Alamfunktsioonid, mida informatsioonikogumise trükkplaadi tarkvaras kasutatud polnud, on näiteks ADS1248 registre konfigurereerimise alamfunktsioonid, ADS1248 registre väärtuste lugemise alamfunktsioonid, ADS1248 mikrolülituse temperatuuri lugemise alamfunktsioon, ADS1248 sisendpinge väärtuse lugemise alamfunktsioon.

ADS1248 tehnilise andmelehe SPI funktsioonide tabelis [15, lk 45] on välja toodud ADS1248 seadistamise ja kasutamise jaoks vajalikud funktsioonid. Antud tabeli funktsioonidest kasutatakse näiteks *WAKEUP*, *SLEEP*, *RESET*, *RDATA*, *RDATA\_C*, *RREG* ja *WREG* ka antud tarkvara rakendamisel ning suur osa arendatud alamfunktsioonidest kasutavad antud funktsioone.

### 5.3.2 ADS1248 registre konfigurereerimise alamfunktsioonid

Sarnaselt MCP23S17 registre konfigurereerimisega, on vaja ka ADS1248 ADC registreid enne mõõtmisoperatsioonide teostamist seadistada. ADS1248 tehnilisel andmelehe tabelis 9.6.3 [15, lk 55] on kujutatud registrid, mida on võimalik kasutada ADC konfigurereerimiseks. Käesoleva tarkvara arendamiseks on konfigureeritud *MUX0*, *MUX1*, *SYS0* ja *IDAC0* registreid. Ülejäänud registrid on tarkvara jaoks vaikimisi olekus. Registre seadistamiseks kasutatakse *writeADS1248RegisterForSolarDir* ja *ExecuteWriteADS1248RegisterForSolarDir* alamfunktsioone.

**Esimene** alamfunktsioon funktsioon määrab ära, millise registri väärtust muudetakse ning samas teostab kontrolli, et programm ei satuks ebamäärasesse olekusse. ADS1248 registre konfigurereerimise alamfunktsiooni tuleb saata kaasa registri nimi ning täisarvuline registri tahetud väärtust kujutav muutuja. Antud alamfunktsioon saadab teisele alamfunktsioonile edasi 8-bitise informatsiooni, mis annab esimese 4 bitiga teada, et kasutatakse *WREG* käsku ning annab viimase 4 bitiga teada, millisesse registrisse kirjutada soovitakse.

**Teine** alamfunktsioon kasutab registri väärtuse muutmiseks kolme *SPI.transfer()* funktsiooni järjestikuliselt. Esimese 8-bitise informatsioonijadaga saadetakse registri aadress, mille väärtust soovitakse muuta. Teise 8-bitise informatsioonijadaga antakse edasi informatsiooni sellega kohta, mitmes registris soovitakse väärtusi muuta. Kuna antud alamfunktsiooni kasutatakse ainult ühe registri väärtuse muutmiseks, on selle infojada väärtus 0. Viimase *SPI.transfer()* funktsiooni abil saadetakse registri tahetud väärtus.

Kui soovitakse korraga mitut registrit muuta, võib selle jaoks kasutada *setADS1248RegisterValueForSolarDir* funktsiooni, mis on tarkvara arendaja jaoks loodud funktsioon, mille abil on kerge vaevaga võimalik kõiki nelja registrit ühe alamfunktsiooniga muuta.

Registrite väärtuste kirjutamise alamfunktsioonid on kujutatud lisas 15.

### **5.3.3 ADS1248 registrite väärtuse lugemise alamfunktsioon**

ADS1248 registri väärtuse lugemiseks kasutatakse väga sarnase ülesehitusega programmikoodi. Registrite väärtuste lugemise ja kirjutamise alamfunktsioonid on peaaegu samasugused, ent registri väärtuse lugemisel kasutatakse *RREG* käsku.

Registrite väärtuste lugemise alamfunktsioonid on kujutatud lisas 16.

### **5.3.4 ADS1248 sisemise temperatuuri lugemise alamfunktsioon**

ADS1248 mikrolülituse temperatuuri lugemiseks tuleb esialgu konfigurida registrid õigetele väärtustele, millega näiteks määratakse ära, et soovitakse lugeda mikrolülituse sisest temperatuuri. Järgmisena käivitatakse ADC, valitakse MCP23S17 liinil olev ADS1248 SS liin madalale nivoole ning saadetakse *RDATA* käsk, mille vastuseks saadab ADC 24-bitise informatsioonijada.

Kolmest baidist koosnev informatsioon tuleb ühendada korrumise tehet kasutades 24-bitiseks informatsioonijadaks. Informatsioonijadal olev informatsioon on töötlemata ning seetõttu tuleb vähima kaaluga biti väärtusele vastava pinge väärtuse ja koefitsiendi abil ümbruskonna temperatuur välja arvutada. Antud koefitsiendi väärtus on kujutatud ADS1248 tehnilisel andmelehel [15, lk 35].

ADS1248 temperatuurilugemise alamfunktsioon on kujutatud lisas 17.

### **5.3.5 ADS1248 sisendpinge väärtuse lugemise alamfunktsioon**

Sisendpinge väärtuse lugemine on taaskord sarnane ümbruskonna temperatuuri lugemise alamfunktsioonile aga lihtsalt registrite väärtused tuleb teistmoodi seadistada. Taaskord kasutatakse *RDATA* käsku ning informatsioonijada teisendatakse koefitsientide abil kasutajale loetavale kujule. Pinge väärtus kuvatakse kasutajale millivoltides.

ADS1248 sisendpinge lugemise alamfunktsioon on kujutatud lisas 18.

### 5.3.6 Muud ADS1248 alamfunktsioonid

ADS1248 alamfunktsioonide koostamisel kasutati hulgaliselt lihtsamaid alamfunktsioone. Antud funktsioonide hulka kuuluvad *resetADS1248()*, *startADS1248Conversion()*, *wakeUpADS1248()* ja *stopADS1248()*.

*resetADS1248()* määrab kõik registrite väärtuse vaikimisi olekusse, *startADS1248Conversion()* alustab ADC informatsiooni kogumise protsessi, mis alustab näiteks temperatuuri lugemist või sisendpinge lugemist. *wakeUpADS1248()* äratab ADC unerežiimist ning *stopADS1248()* saadab ADC unerežiimi.

Antud funktsioonid on kujutatud lisas 19.

## 6 ELEKTRONIKAKEST JA TRÜKKPLAATIDE KINNITUSED

Energia kogumise ja andmehõive elektroonikasüsteemis olevad suur osa trükkplaate hoiustatakse elektroonikakestas, mis asub päiksekollektori soojuste kogumise konstruktsiooni taga. Projekteeritud elektroonikakesta sees oleva trükkplaadid on Arduino Mega 2560, Arduino Mega 2560 mooduli trükkplaat, Arduino 2560 analoog-kontrolleri mooduli trükkplaat, viis multipleksor trükkplaati ja kaks ADC trükkplaati. Antud elektroonikakesta sisse paigaldatakse ka LCD-kuvar.

Eelnevalt oli nendele trükkplaatidele ehitatud raamistik L-profiiliga liistudest, ent ühtegi dokumentatsiooni antud elektroonikakesta kohta ei olnud. Seetõttu joonestati antud elektroonikakest DS Solidworks 2016 programmi kasutades virtuaalruumi, et oleks võimalik paika panna trükkplaatide ja LCD-kuvari asetus ning kinnitamise viisid.

Vasakus pooles elektroonikakestas asuvad kaks ADC trükkplaati ja viis multipleksori trükkplaati paralleelses ühenduses. Trükkplaadid on omavahel ühendatud 40-piigise ühendusega, mis annab võimaluse luua täiendavate juhtmeteta ühendusi ning säästab ruumi. Nimetatud trükkplaatide kohal asub ka 3,2 tollise diagonaaliga puutetundlik LCD-kuvar, kus on päiksekollektori operaatoril võimalik näha erinevatelt informatsioonikogumise trükkplaatidelt tulevad voolutugevust ning pinget.

Paremas pooles elektroonikakestas asuvad üksteisele peale asetatuna järjestikku Arduino Mega 2560, Arduino Mega mooduli trükkplaat, optoisolatsiooni trükkplaat ning Arduino Mega 2560 analoognuppudega kontroller. Analoognuppudega kontrolleri abil on päiksekollektori operaatoril võimalik juhtida päiksekollektori pöördenurka ja kallutusnurka manuaalselt.

Ilma seinapaneelideta elektroonikakest koos selle sees asuvate trükkplaatide on kujutatud lisa 20. Trükkplaadid on CAD programmis modelleeritud lihtsustatud kujul, st et paigutamisel on kasutatud tehniliselt andmelehtedelt saadud mõõtmetega kujundeid ning joonisel trükkplaatide detailselt kujutatud ei ole. Arduino Mega 2560 trükkplaadi joonis on tõmmatud GrabCAD kodulehelt, et antud trükkplaadi kinnitamiseks oleks kõige täpsemad mõõtmed.



# KOKKUVÕTE

Tallinna Tehnikaülikooli Elektroenergeetika ja mehhatroonika instituudis on arendamisel termoelektrilisi elemente ehk Peltier'i elemente rakendav päiksekollektor. Päiksekollektor koosneb üldpildis kolmest suuremast osast: paraboolikujulisest nõguspeeglist, soojuskiirguse kogumise konstruktsioonist ja alusest, mille abil on konstruktsioonil võimalik päikse suunas keerata. Päiksekollektor kasutab termoelektrilisi elemente, mis suudavad kahe pinna temperatuuri erinevuse tekkimisel toota elektrienergiat. Päiksekollektori poolt toodetava energia hindamiseks ja kasuteguri arvutamiseks arendati energia kogumise süsteemi, andmehõive süsteemi ja päikse liikumise järgimise süsteemi. Töö eesmärgi saavutamiseks koostati päiksekollektori juhtimiseks riistvara ja tarkvara ning riistvara hoiustamise jaoks elektroonikakest.

Käesoleva bakalaureuse töö teooria osas käsitleti üksikasjalikumalt SPI protokollid ja trükkplaatide projekteerimise tavasid ja reegleid. Teooria osas on kirjutatud SPI protokollist üldiselt, andmevahetusest, signaaliliinidest ning viisidest, mille abil on võimalik SPI protokollid kasutada muuta ümbruskonnast tulenevate häiringute suhtes töökindlamaks. Trükkplaatide teooria osas on kirjutatud trükkplaatide projekteerimisest üldiselt, on kirjutatud elektriskeemide ja tootmiskavandite koostamisest kuni väiksemate detailideni (nt läbiviigud, radade paksused jpm).

Praktika osas käsitletakse projekteeritud ja parandatud trükkplaatide tööpõhimõtteid ja elektriskeeme, tarkvara arendamisel kasutatud alamfunktsioone ja elektroonikakesta ülesehitust. Eelnevalt oli päiksekollektorile projekteeritud informatsiooni kogumise ja analoog-digitaalmuunduri trükkplaadid, ent nendel esines esialgsel elektriskeemil vigu. Käesoleva lõputöö raames koostati nimetatud trükkplaadid, teostati tõrkeotsinguid ja parandati kõik projekteerimise jooksul tekkinud vead. Lisaks paranduste tegemisele projekteeriti Diptrace programmi kasutades energia kogumise ja andmehõive süsteemi arendamiseks veel neli trükkplati: võimendi ja pingejagurite trükkplaat, CPC1832 sensori trükkplaat, signaalide optisoleerimise trükkplaat ning GPS ja SD-kaardi moodulitega logimise trükkplaat.

Informatsiooni kogumise ja analoog-digitaalmuunduri trükkplaatidele kirjutati ka juhtimise tarkvara. Informatsiooni kogumise trükkplaadile loodud tarkvara abil on võimalik lugeda näiteks termoelektriliste elementide ja trükkplaadi töötemperatuure ja termoelektriliste elementide poolt väljastatud pingeid. Analoo-digitaalmuunduri trükkplaadile koostatud tarkvara osa hõlmab ADS1248 ADC registre konfiguratsioonide ja lugemise alamfunktsioone ning termopaaride ja ADS1248 mikrolülituse temperatuuri väärtuste lugemise alamfunktsioone. Lisaks on energia salvestuse ja andmehõive lihtsustamiseks koostatud digitaal-analoogmuundurit juhtimise, multipleksor trükkplati juhtimise ja MCP23S17 adresseerimiskomponendi konfiguratsioonide tarkvara osa. Tarkvara arendamiseks kasutati Arduino IDE 1.8.2 programmi ning süsteemi juhtimiseks kasutati Arduino Mega 2560 trükkplati.

Projekteeritud ja parandatud riistvara jaoks projekteeriti olemasolev elektroonikakesta raamistik DS Solidworks programmi kasutades virtuaalruumi, mis oli vajalik kinnituste kuju ja trükkplaatide positsioonide määramiseks.

## SUMMARY

The Department of Electrical Power Engineering and Mechatronics of Tallinn University of Technology is developing a solar collector utilizing thermoelectric elements, also known as Peltier elements. The solar collector is composed of three subsystems: a parabolic concave mirror, a heat collector, and a base that can turn the assembly towards the Sun. The thermoelectric modules are able to convert heat into electric energy if the opposing faces of the modules are experiencing a temperature difference. An energy storage system, a data management system, and a solar tracking system were additionally developed in order to characterize the performance and efficiency of the solar collector. In addition to the constructed hardware, the necessary software was also programmed.

The theoretical section of the thesis describes in detail the SPI hardware communication protocol as well as the guidelines and rules of designing printed circuit boards. The specifically treated issues related to SPI include a general introduction and discussions on data exchange, signal lines, and methods to improve the robustness of the protocol to external disturbances from the operating environment. The section on PCBs gives a general introduction to the design of PCBs, as well as describing the specifics down to the finer details, such as signal line widths.

The practical section of the thesis describes the working principles of the PCBs and electrical circuits designed for the solar collector. Furthermore, the subfunctions used in the developed software and the design of the housing of the electronics are presented. A previous design iteration of the solar collector included data collecting and ADC PCBs, but these had some design faults. The scope of the present thesis includes the development and testing of the new PCBs, including design iterations made in order to eliminate initial design faults. What is more, four additional PCBs were developed for the energy storage and data logging systems: an amplifier and voltage divider PCB, a PCB for the CPC1832 sensor, an optoisolating PCB for the signals, and a PCB for the GPS and SD-card modules.

Software was developed for the data collecting and ADC PCBs. This software provides the ability to, for instance, monitor the operating temperatures and the voltages on the terminals of the thermoelectric elements. The ADC PCB software includes ADS1248 register configuration and reading subfunctions as well as reading subfunctions for reading the temperatures of the thermocouples and ADS1248 crystal. In addition, software was developed to manage the operation of the ADC, the multiplexor PCB, and the configuration of the MCP23S17 input/output expander. The Arduino IDE 1.8.2 software was used to program the software and an Arduino Mega 2560 PCB was used to control the system.

The housing for the electronics was designed using DS Solidworks in order to spatially integrate the components.

## 7 KASUTATUD KIRJANDUS

1. *Serial Peripheral Interface Bus*  
[https://en.wikipedia.org/wiki/Serial\\_Peripheral\\_Interface\\_Bus](https://en.wikipedia.org/wiki/Serial_Peripheral_Interface_Bus)  
(02.05.2017, 03.05.2017)
2. *SPI library*  
<https://www.arduino.cc/en/reference/SPI>  
(02.05.2017, 03.05.2017)
3. *Serial Peripheral Interface (SPI)*  
<https://learn.sparkfun.com/tutorials/serial-peripheral-interface-spi>  
(02.05.2017, 03.05.2017)
4. *Introduction to I<sup>2</sup>C and SPI protocols*  
<http://www.byteparadigm.com/applications/introduction-to-i2c-and-spi-protocols/>  
(03.05.2017)
5. Thomas Kugelstadt – *Extending the SPI bus for long-distance communication*  
<http://www.ti.com/lit/an/slyt441/slyt441.pdf>  
(03.05.2017)
6. *Interface Circuits for TIA/EIA-644 (LVDS), Design Notes*  
<http://www.ti.com/lit/an/slla038b/slla038b.pdf>  
(03.05.2017)
7. *Single/Dual LVDS Line Driver with Ultra-Low Differential Skew in SOT23*  
<https://www.maximintegrated.com/en/products/interface/high-speed-signaling/MAX9110.html>  
(03.05.2017)
8. *Printed Circuit Board*  
[https://en.wikipedia.org/wiki/Printed\\_circuit\\_board](https://en.wikipedia.org/wiki/Printed_circuit_board)  
(03.05.2017, 04.05.2017)
9. David L. Jones – *PCB Design Tutorial*  
[https://server.ibfriedrich.com/wiki/ibfwikien/images/d/da/PCB\\_Layout\\_Tutorial\\_e.pdf](https://server.ibfriedrich.com/wiki/ibfwikien/images/d/da/PCB_Layout_Tutorial_e.pdf)  
(04.05.2017)
10. *Package Dimensions*  
<https://www.ichaus.de/upload/pdf/Package%20dimensions%20MSOP,%20SSOP,%20TSSOP-A2.pdf>  
(04.04.2017)
11. *Nõuanded*  
<http://www.kamitra.ee/nouanded/>  
(04.05.2017)
12. *Arduino MEGA 2560 & Genuino MEGA 2560*  
<https://www.arduino.cc/en/Main/arduinoBoardMega2560>  
(05.05.2017)
13. *Microchip MCP23017/MCP23S17 16-bit I/O Expander with Serial Interface*

<http://ww1.microchip.com/downloads/en/DeviceDoc/21952b.pdf>

(05.05.2017, 06.05.2017)

14. *Microchip MCP4902/4912/4922 8/10/12-Bit Dual Voltage output Digital-to-Analog Converter with SPI Interface*

<http://ww1.microchip.com/downloads/en/DeviceDoc/22250A.pdf>

(05.05.2017, 06.05.2017, 07.05.2017)

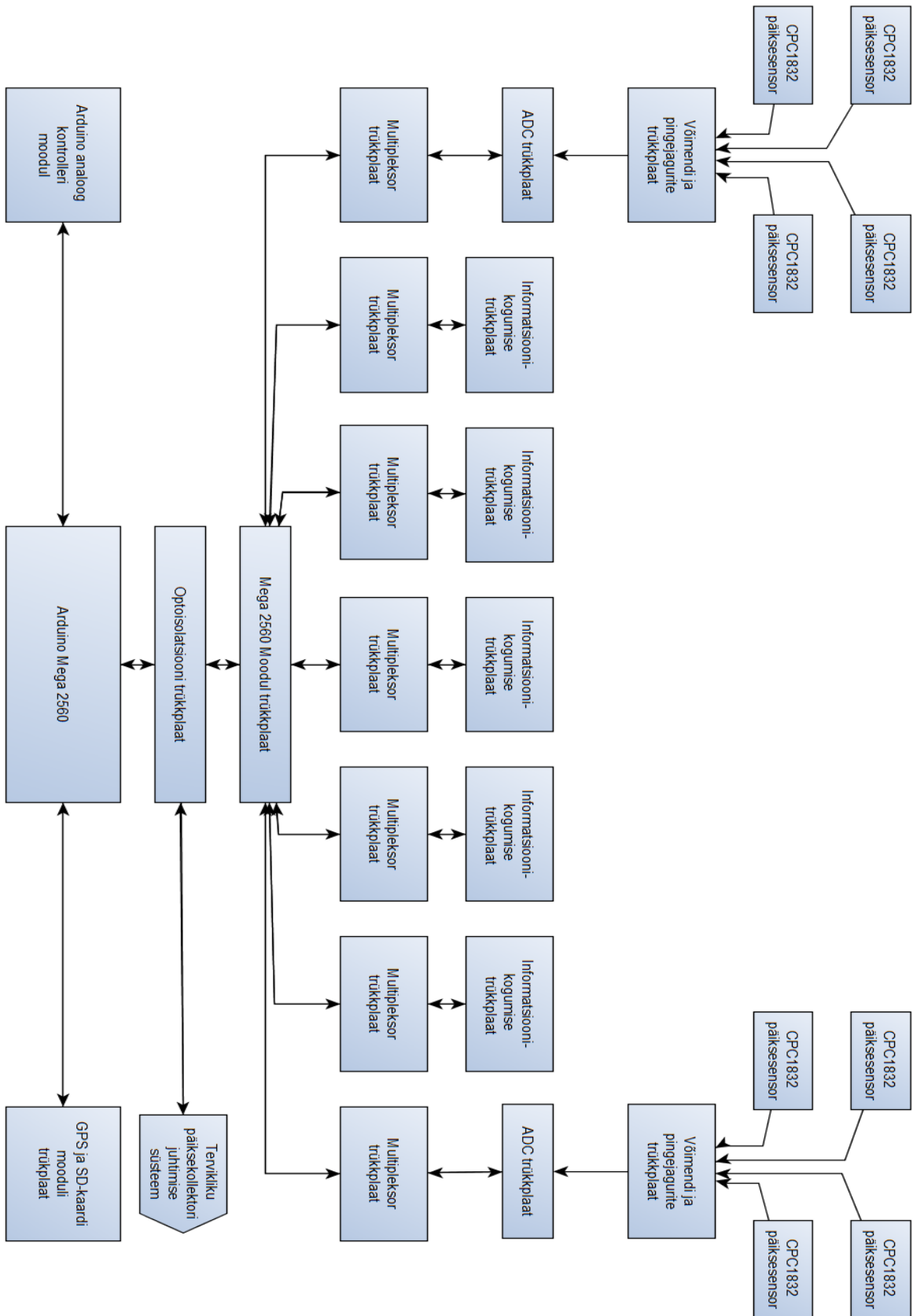
15. *ADS124x 24-Bit, 2-kSPS, Analog-to-Digital Converters With Programmable gain Amplifier (PGA) For Sensor Measurement*

<http://www.ti.com/lit/ds/symlink/ads1248.pdf>

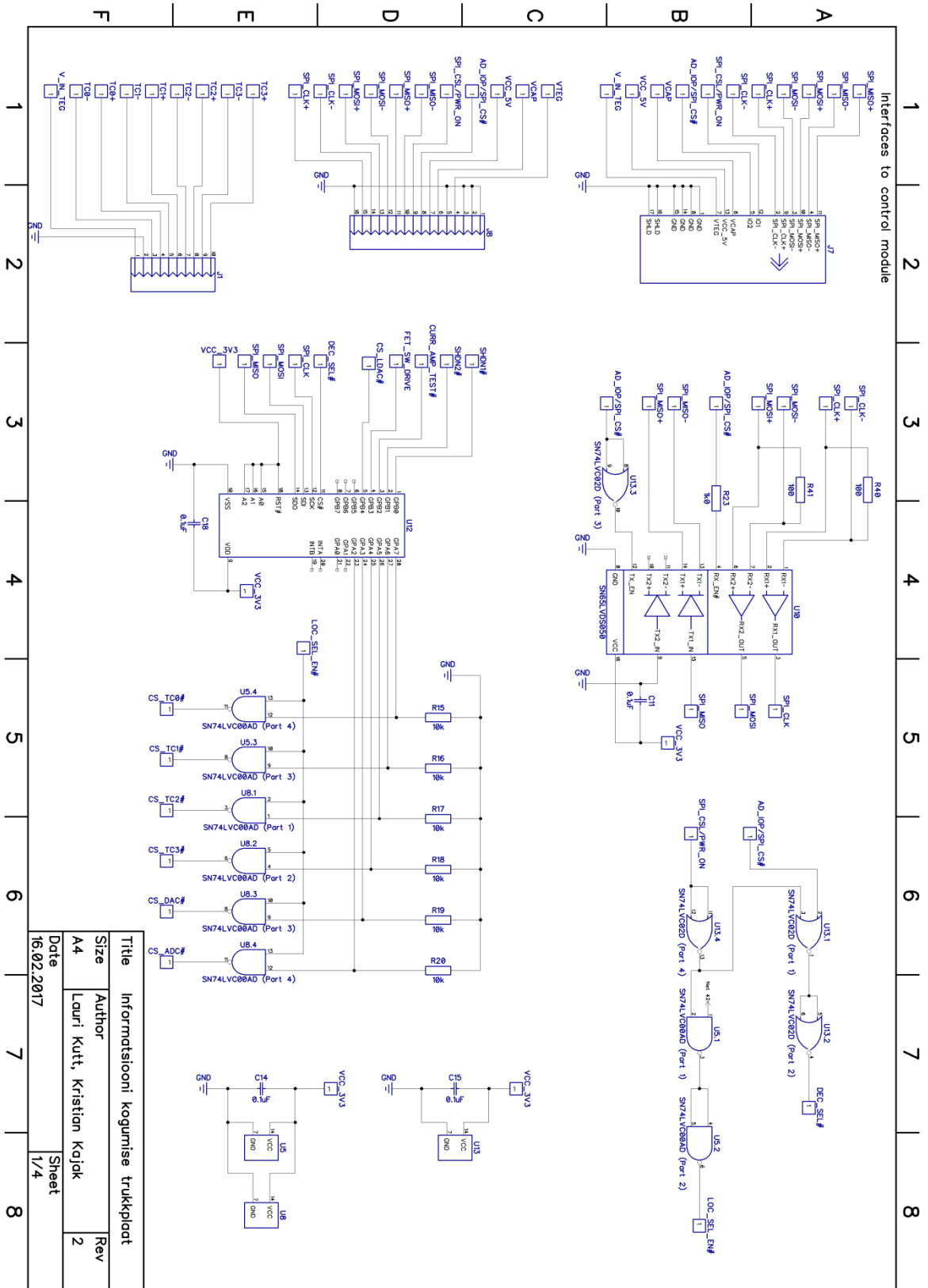
(06.05.2017, 07.05.2017, 9.05.2017)

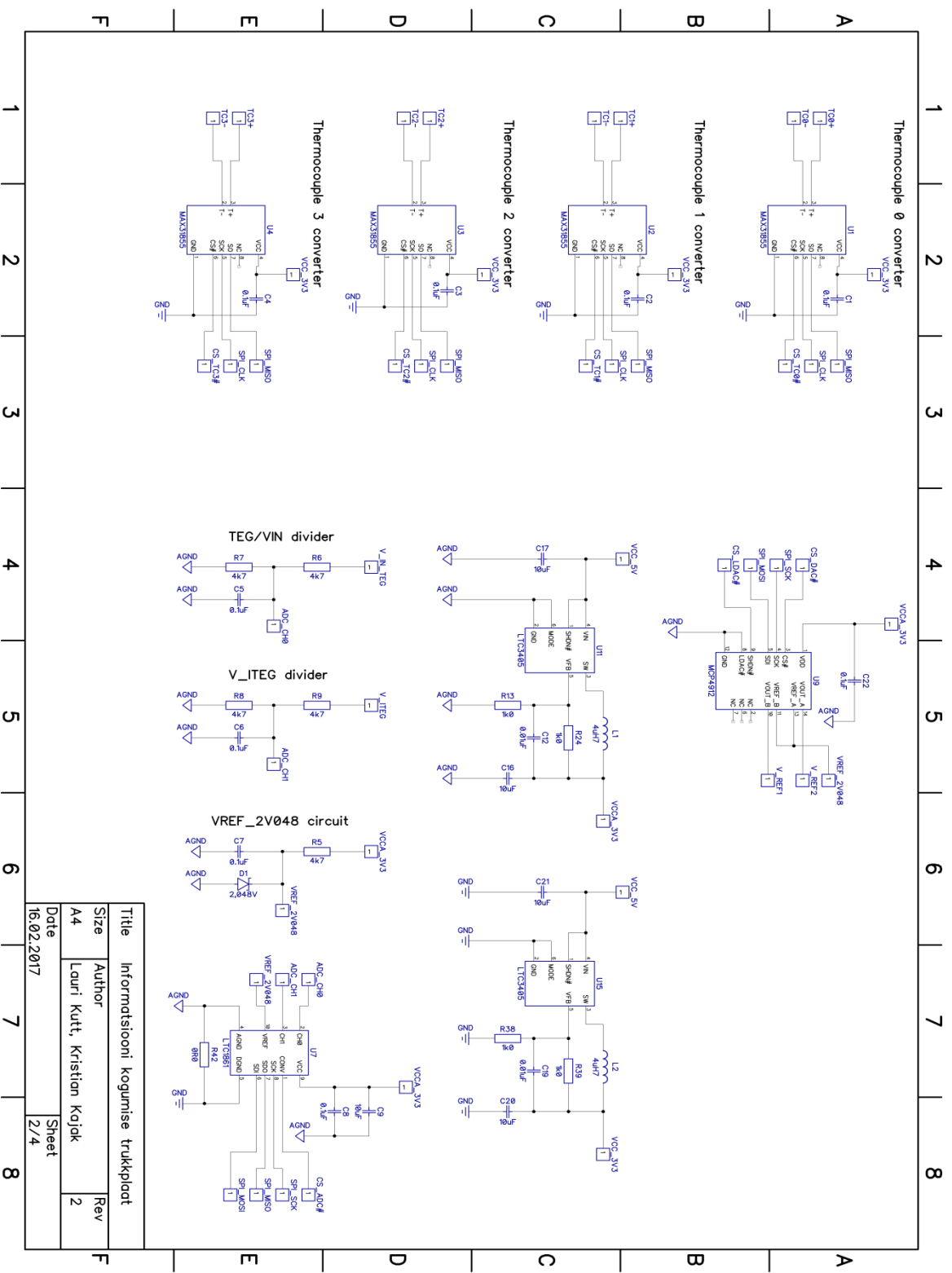
**LISAD**

LISA 1 TERVLIKLIK ENERGIA KOGUMISE JA ANDMEHÕIVE ELEKTROONIKASÜSTEEMI ÜLESEHITUS



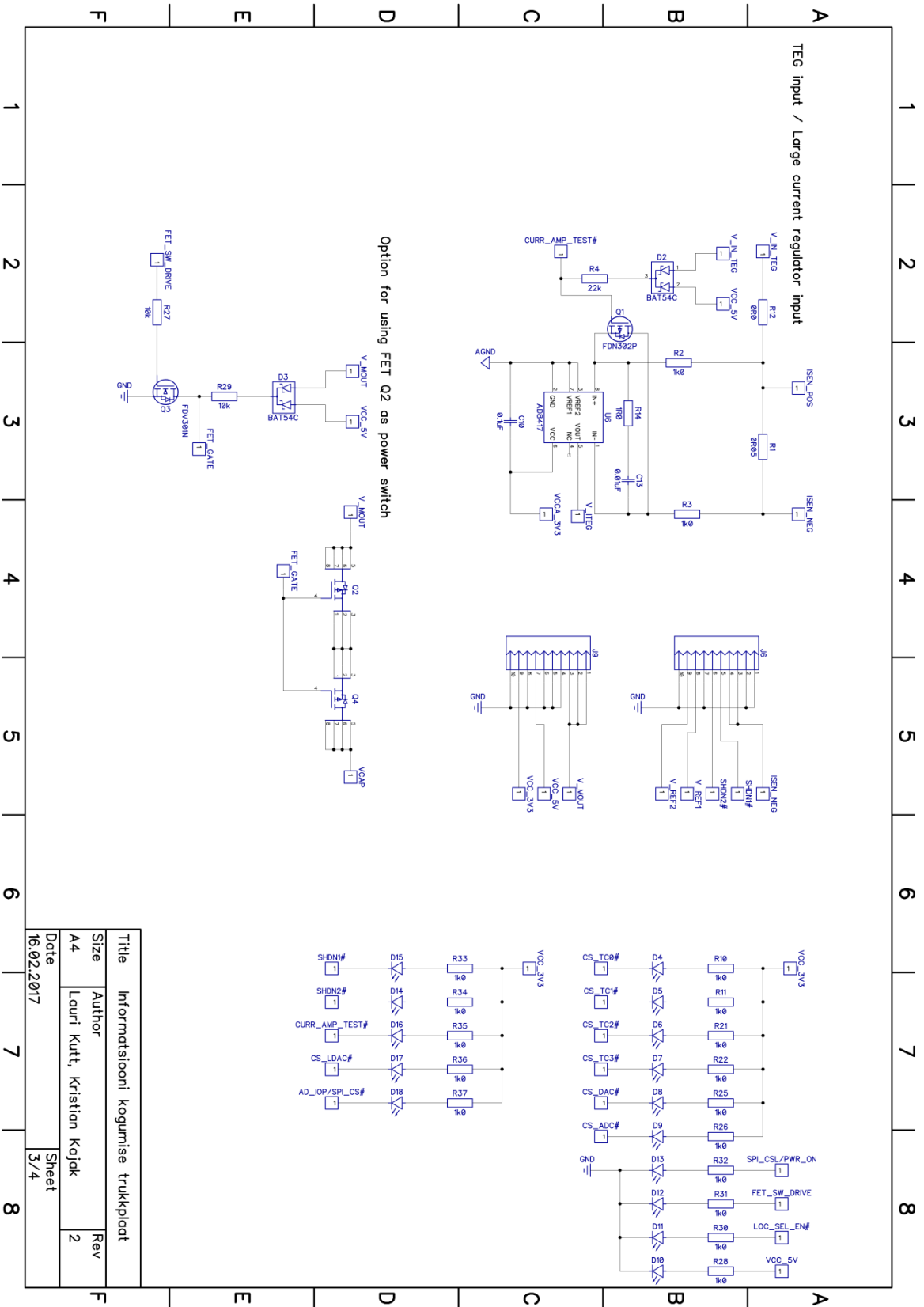
# LISA 2 INFORMATSIOONI KOGUMISE TRÜKKPLAADI ELEKTRISKEEM JA TOOTMISKAVAND

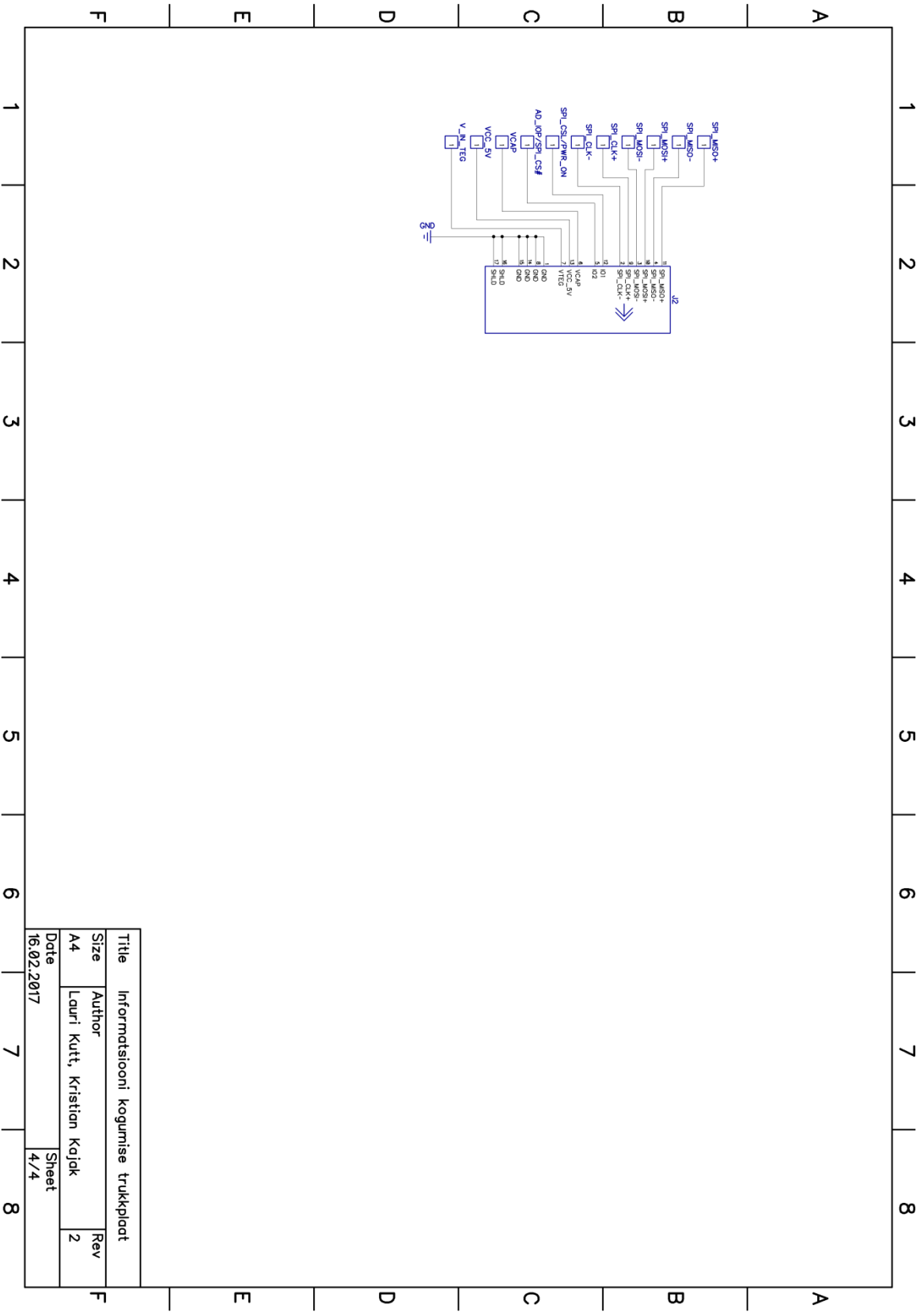




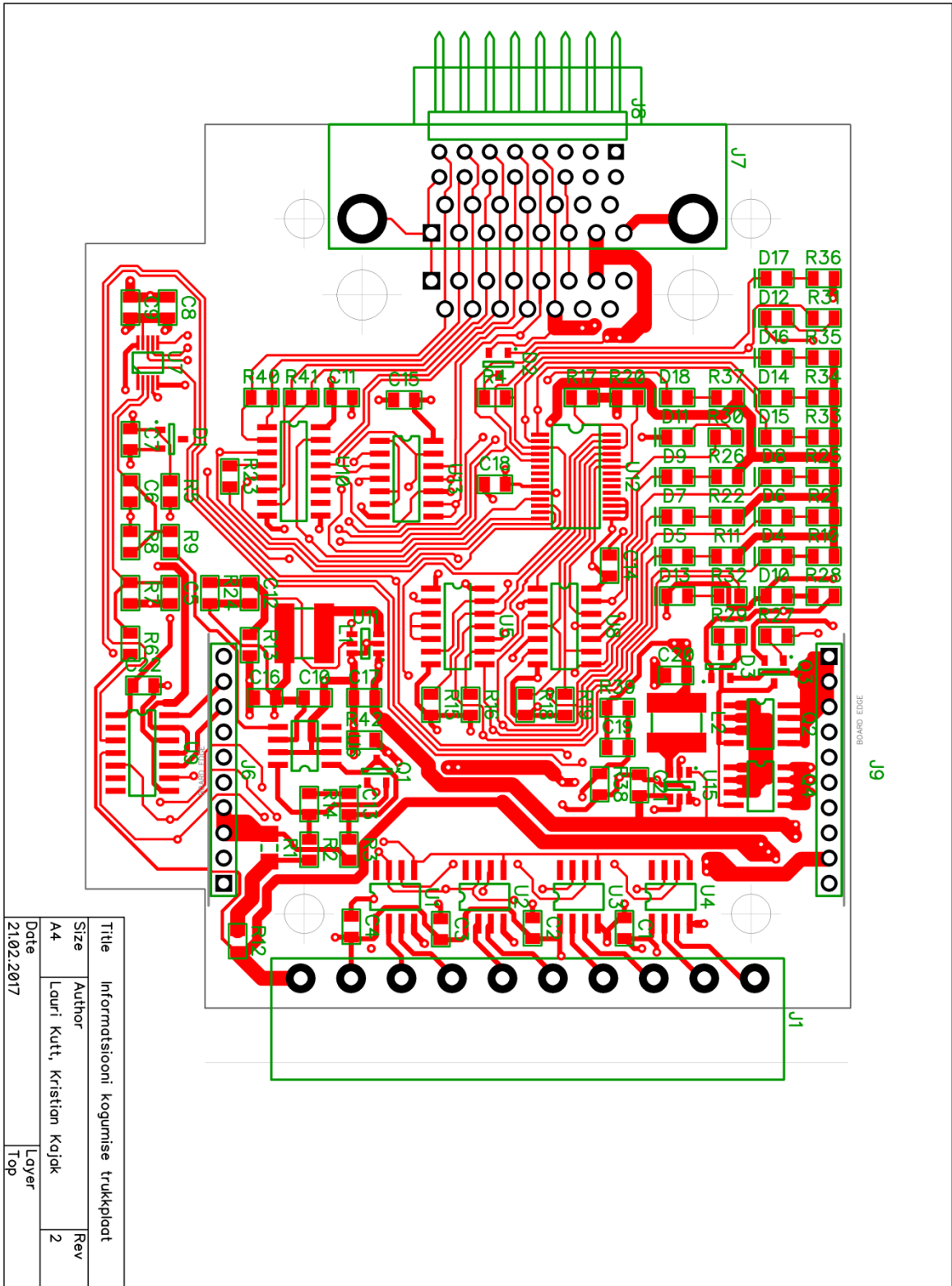
Title		Informatsiooni kogumise trükkplaat	
Size	Author	Rev	
A4	Lauri Kutt, Kristian Kajak	2	
Date	Sheet		
16.02.2017	2/4		

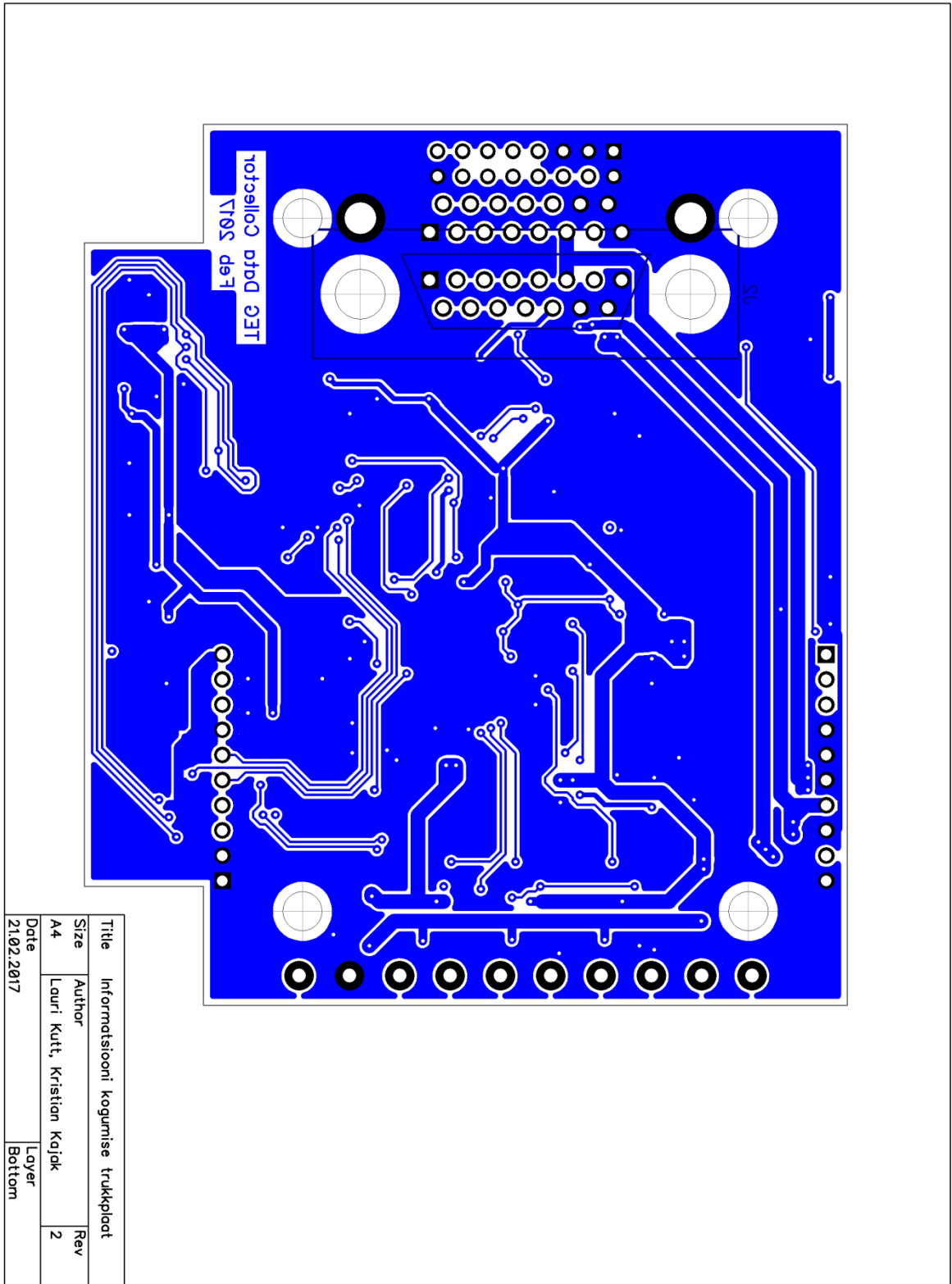




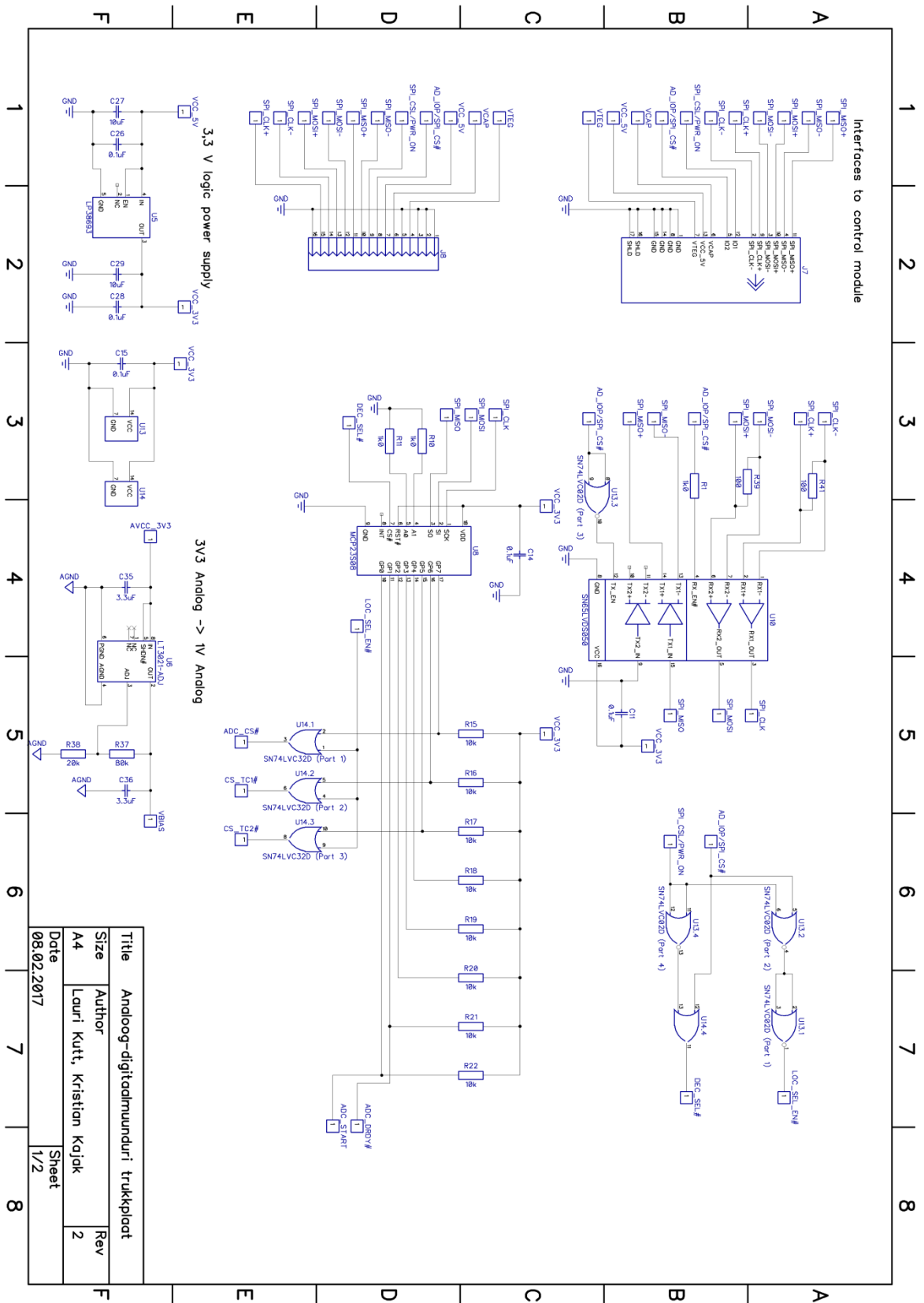


Title		Informatsiooni kogumise trükkplaat	
Size	Author	Rev	
A4	Lauri Kutt, Kristian Kajak	2	
Date	Sheet		
16.02.2017	4/4		

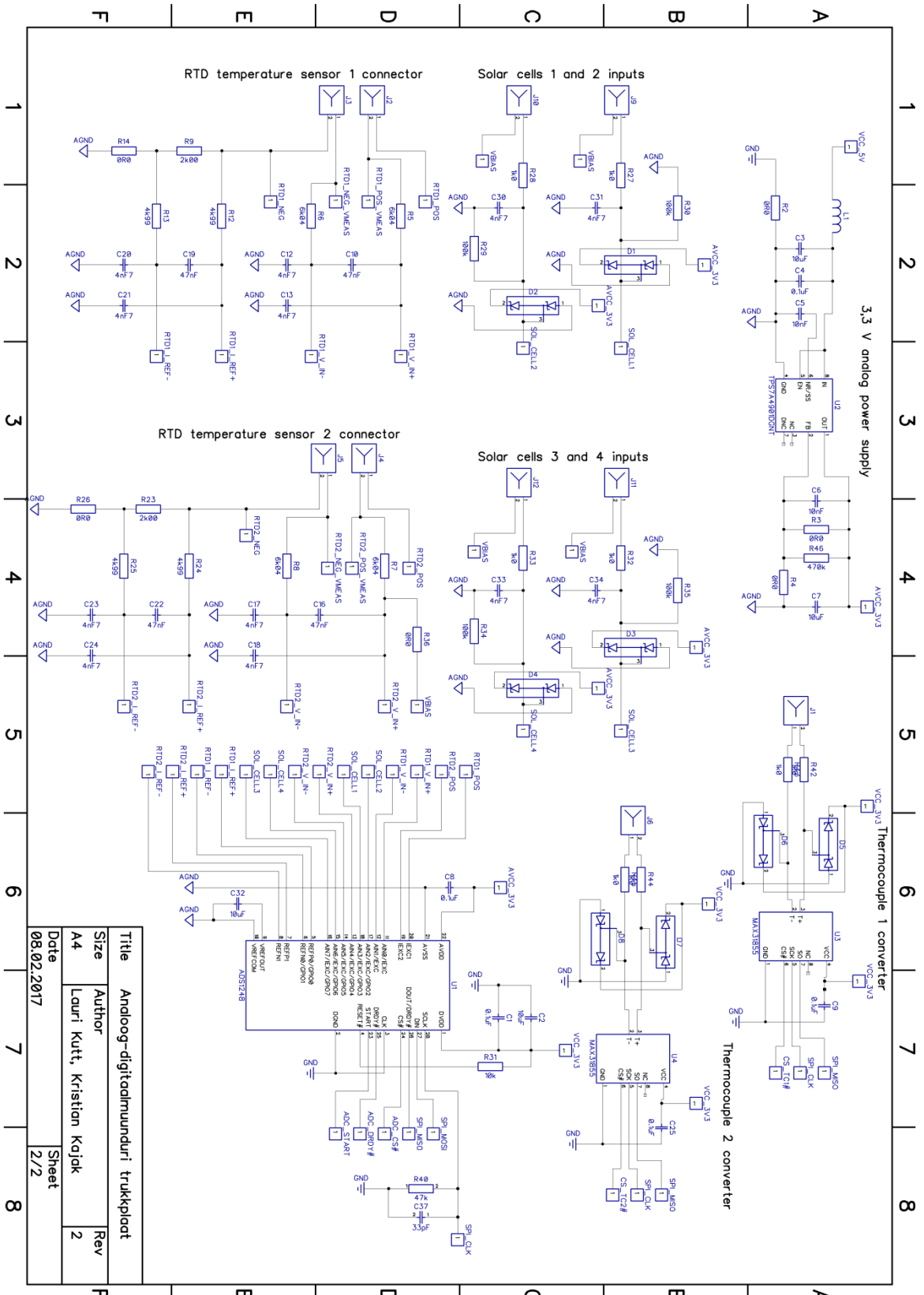




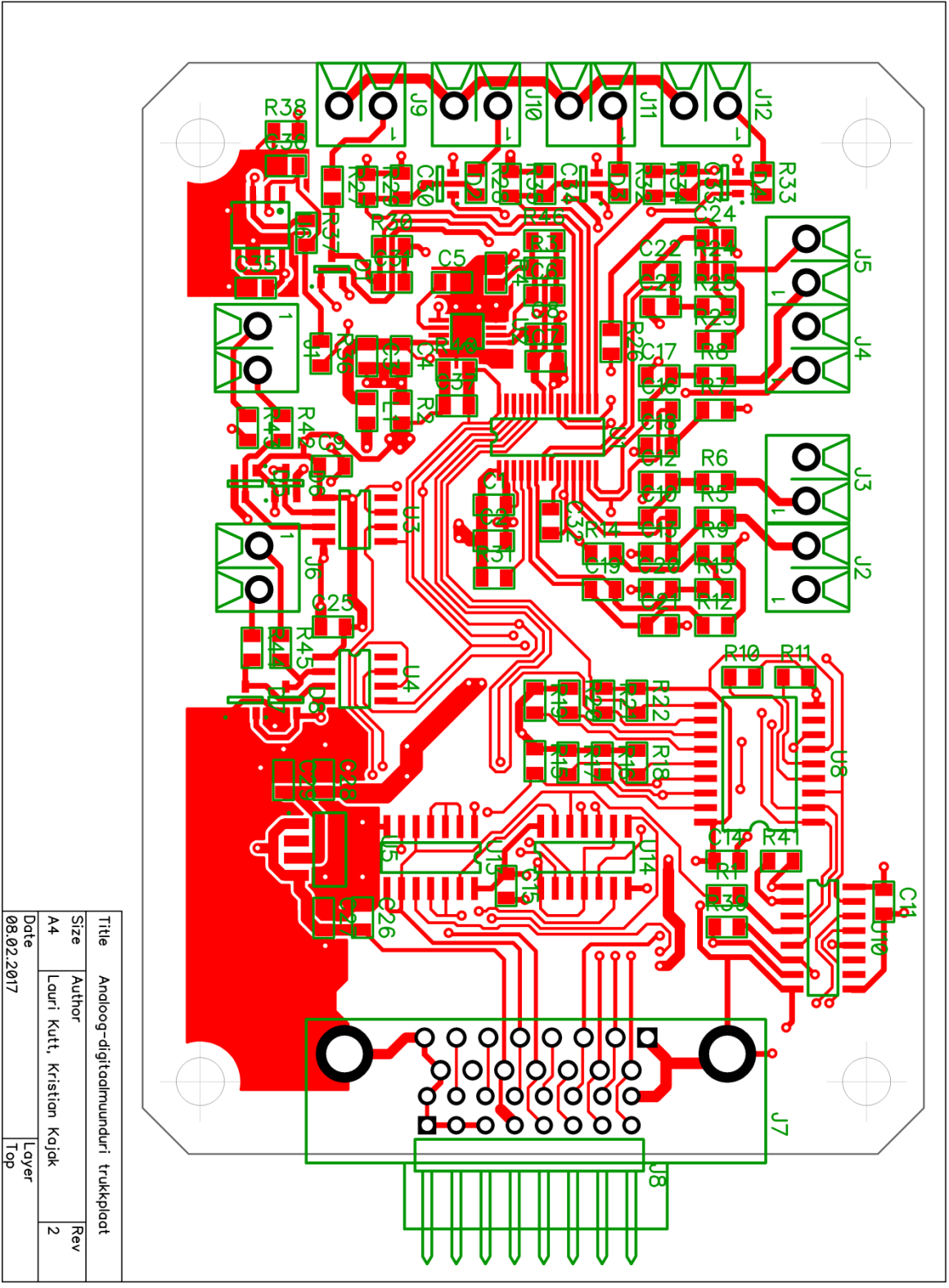
# LISA 3 ANALOOG-DIGITAALMUUNDURI TRÜKKPLAADI ELEKTRISKEEM JA TOOTMISKAVAND

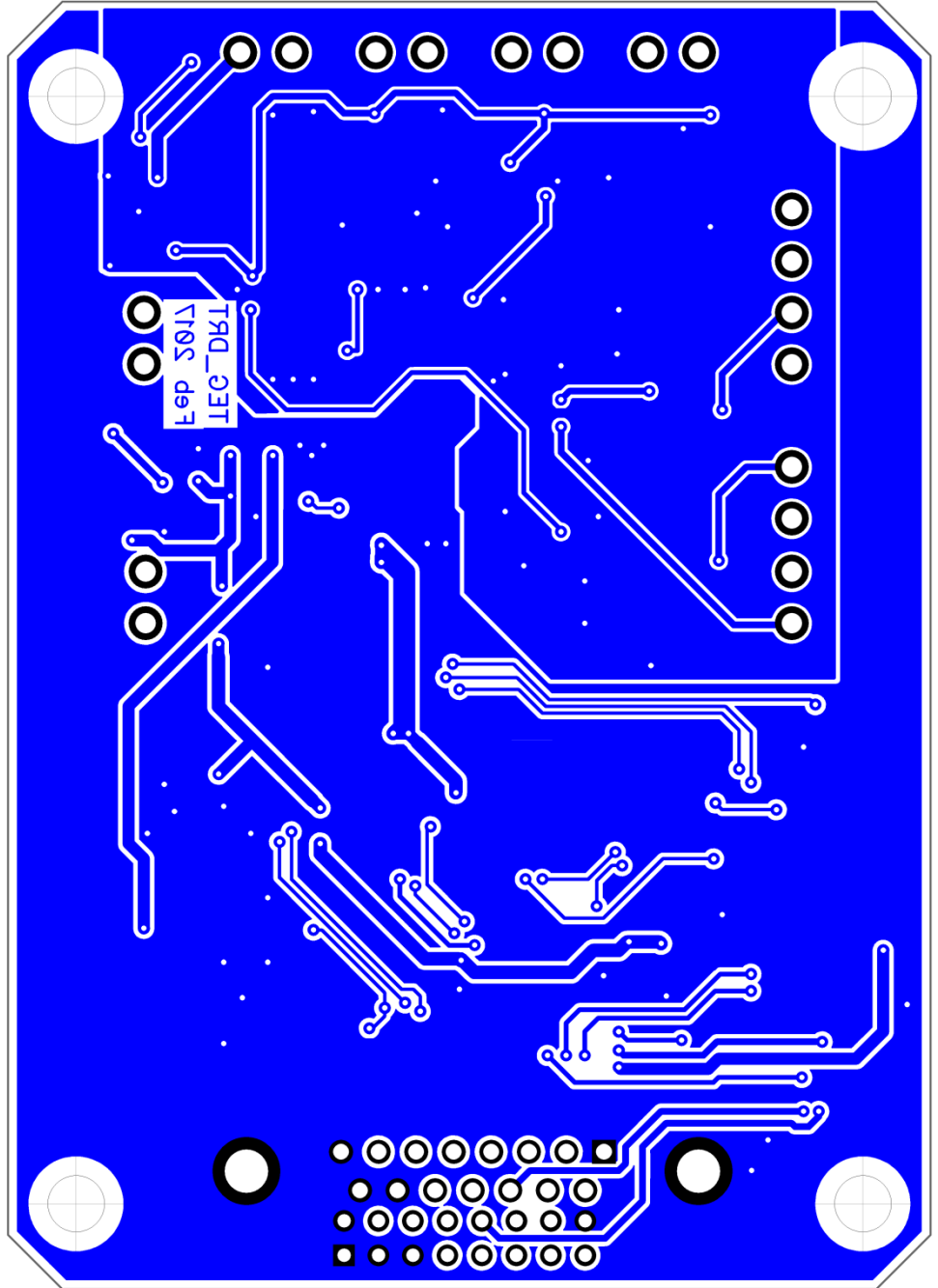


Title		Analoog-digitaalmuunduri trükkplaat	
Author		Lauri Kutt, Kristian Kojak	
Size	A4	Rev	2
Date	08.02.2017	Sheet	1/2



Title		Analog-digital truck platform	
Author		Lauri Kutt, Kristian Kajak	
Size	A4	Rev	2
Date	08.02.2017	Sheet	2/2

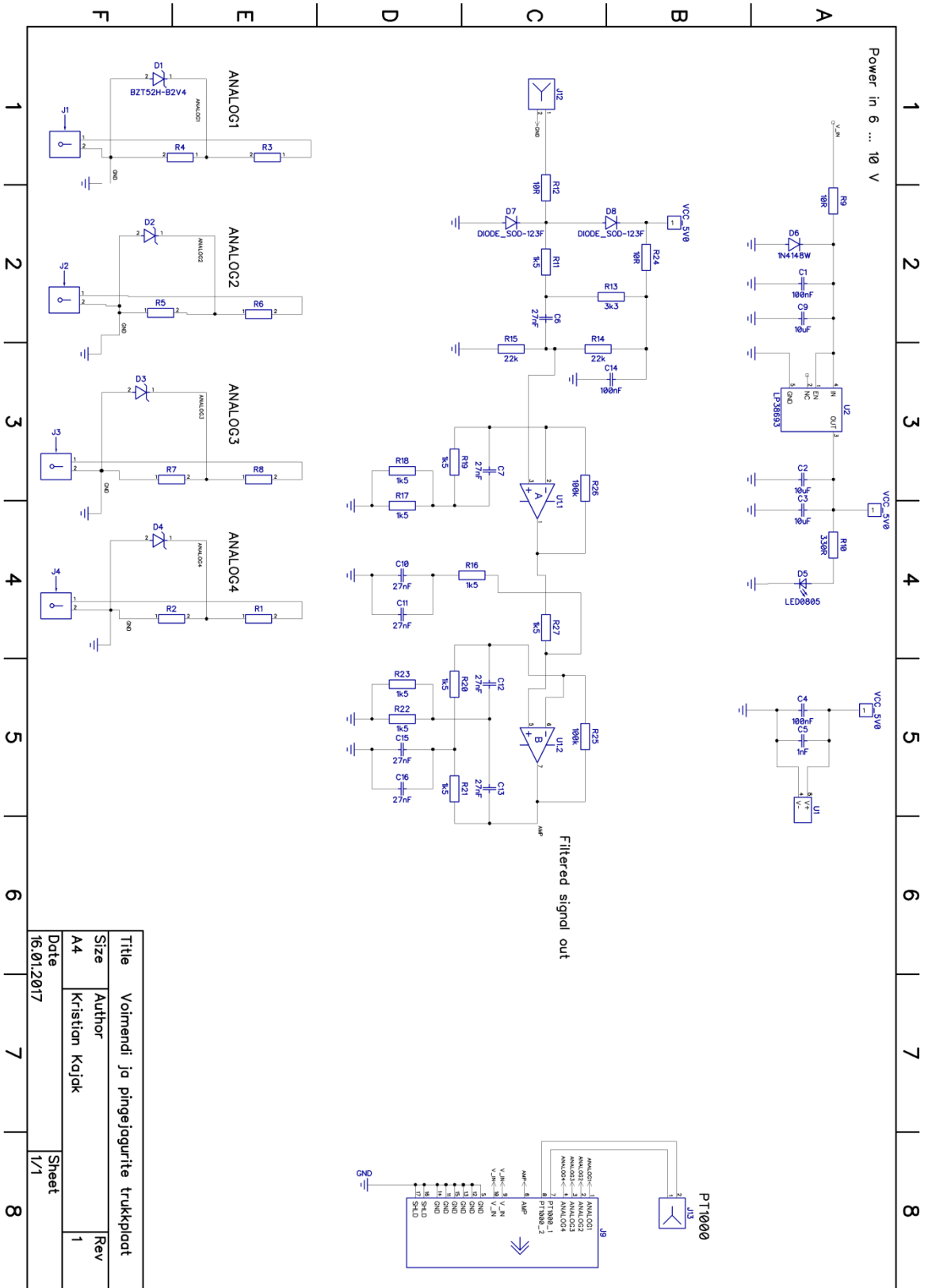




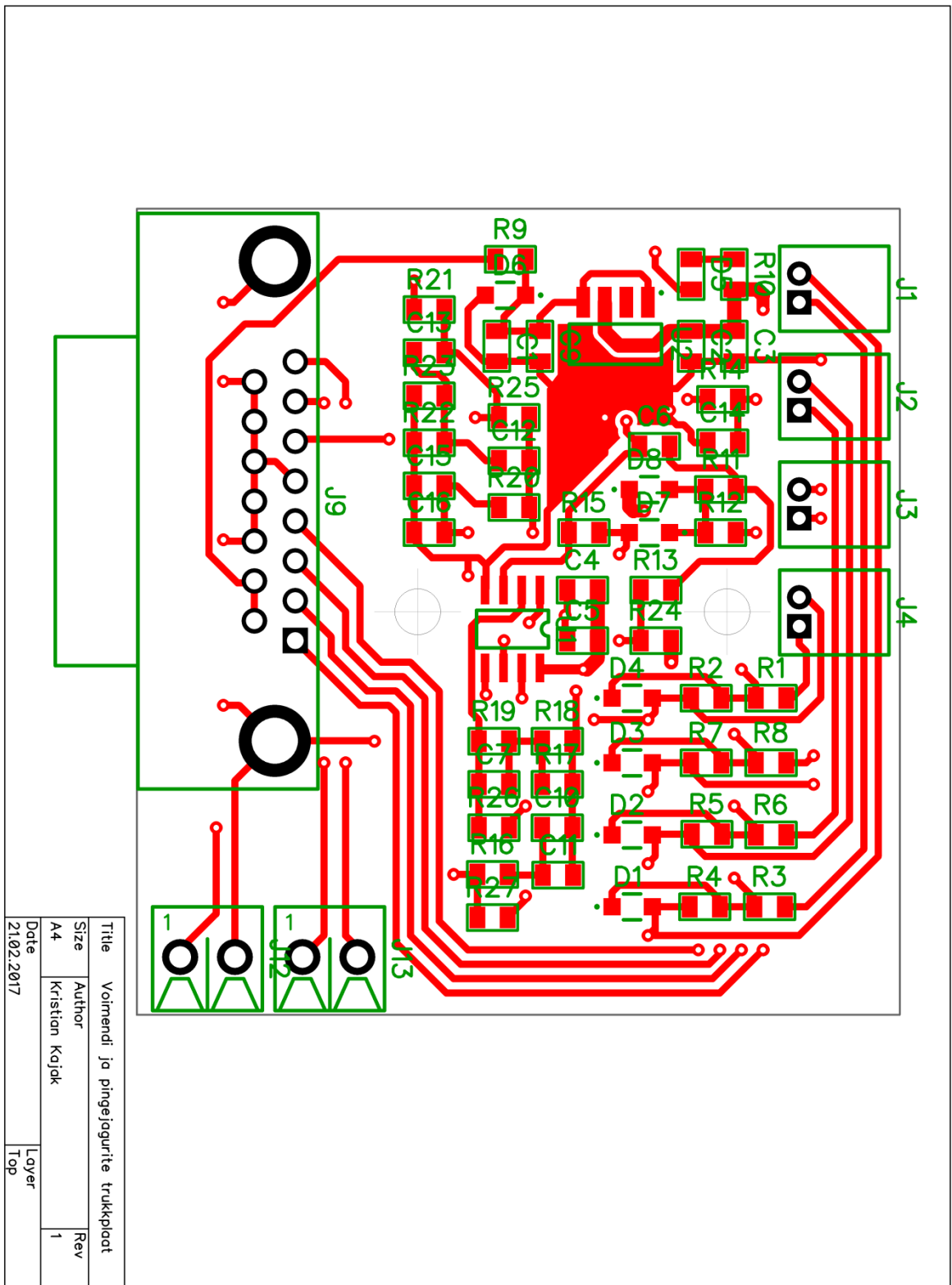
Title	Analoog-digitaalmuunduri trukkiplaat		
Size	Author	Rev	
A4	Lauri Kutt, Kristian Kajak	2	
Date	Layer		
23.02.2017	Bottom		

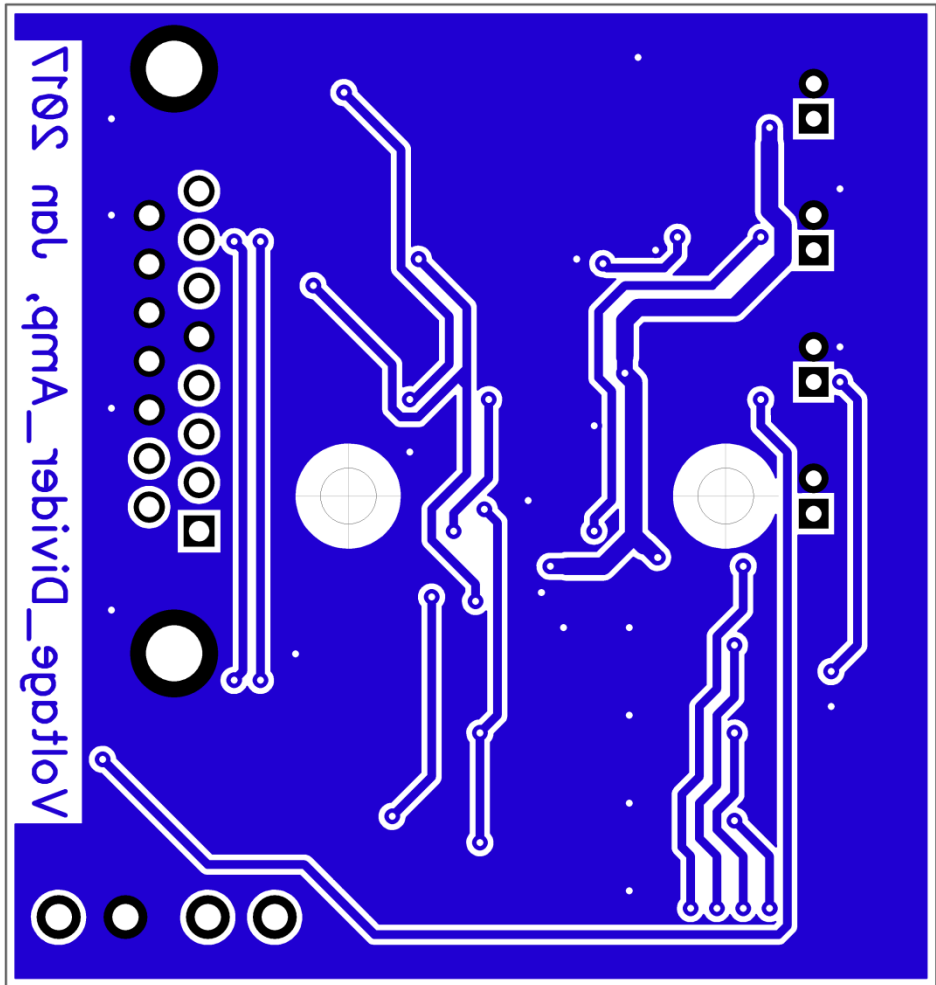


# LISA 4 VOIMENDI JA PINGEJAGURITE TRÜKKPLAADI ELEKTRISKEEM JA TOOTMISKAVAND



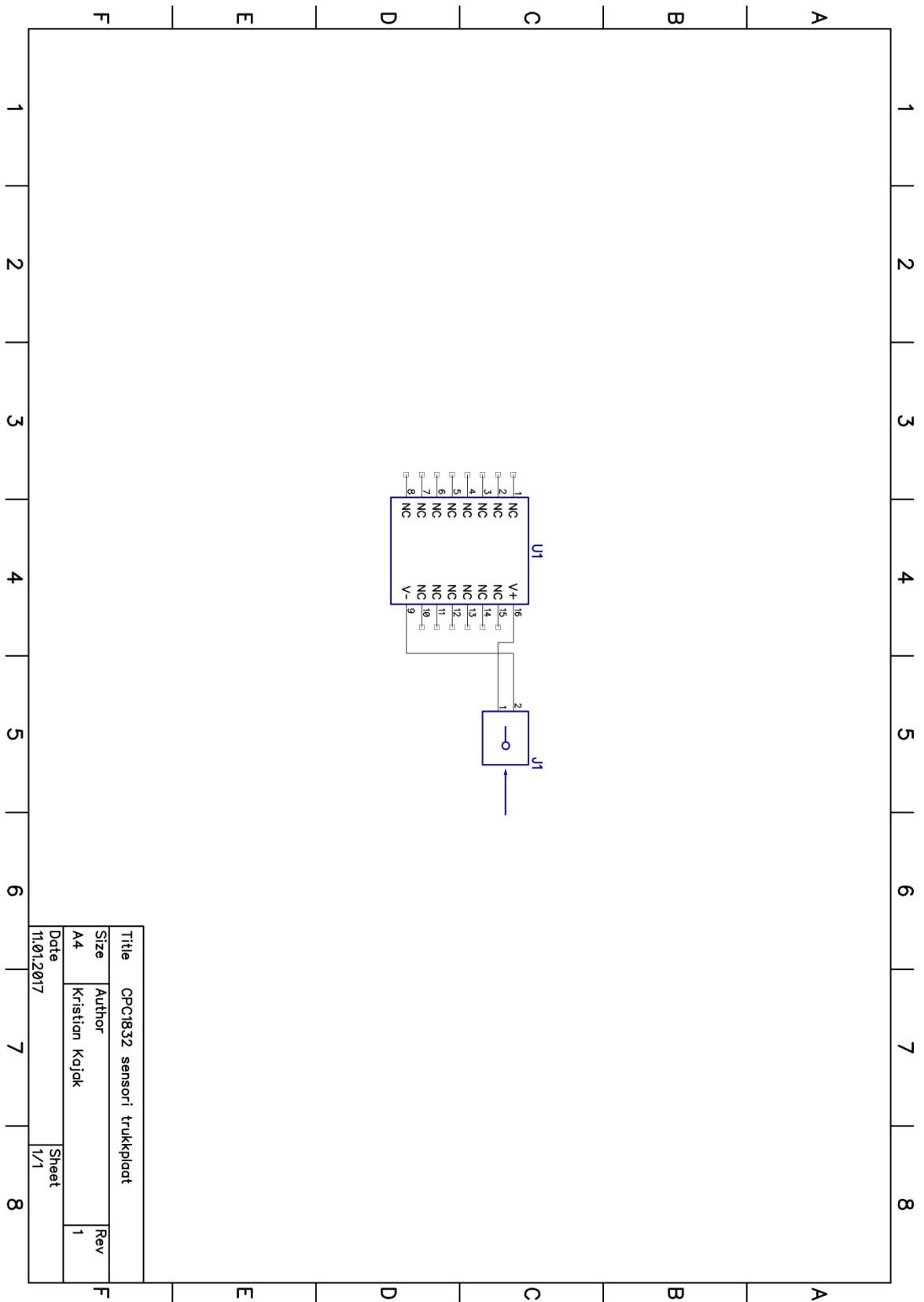
Title		Voimendi ja pingejagurite trükkplaat	
Size	A4	Author	Kristian Kojak
Date	16.01.2017	Rev	1
Sheet		1/1	

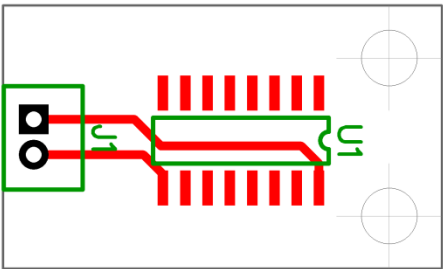




Title	Voimendi ja pingelagurite truckkplaat		
Size	A4	Author	Kristian Kojak
Date	21.02.2017	Layer	Bottom
		Rev	1

LISA 5 CPC1832 SENSORITE TRÜKKPLAADI ELEKTRISKEEM JA TOOTMISKAVAND



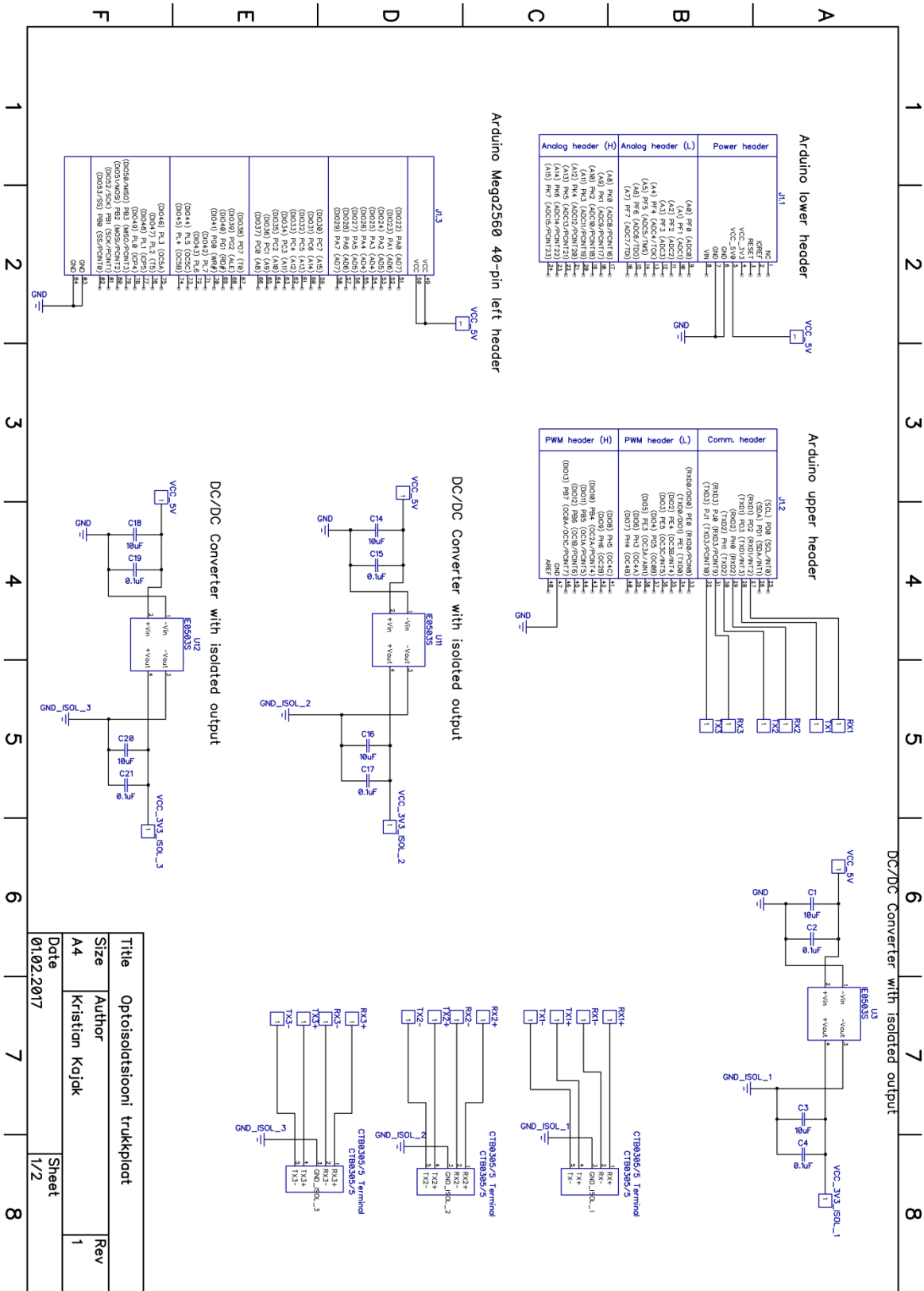


Title		CPC1832 sensori trukkiplaat	
Size	Author	Rev	
A4	Kristian Kajak	1	
Date	Layer		
16.02.2017	Top		

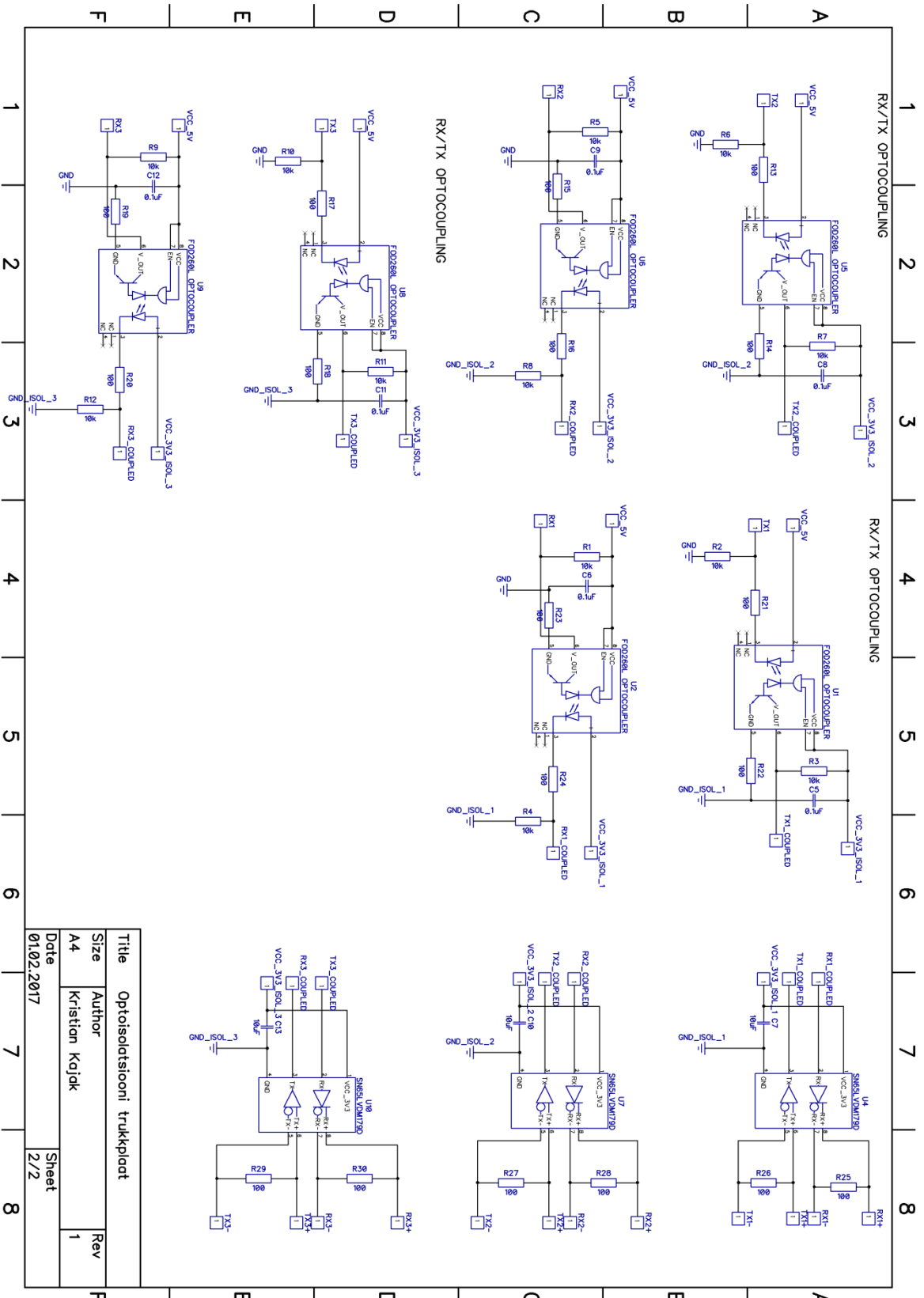


Title		CPC1832 sensori truckkplaat	
Size	Author	Rev	
A4	Kristian Kajak	1	
Date	Layer		
16.02.2017	Bottom		

LISA 6 OPTOISOLATSIOONI TRÜKKPLAADI ELEKTRISKEEM JA TOOTMISKAVAND

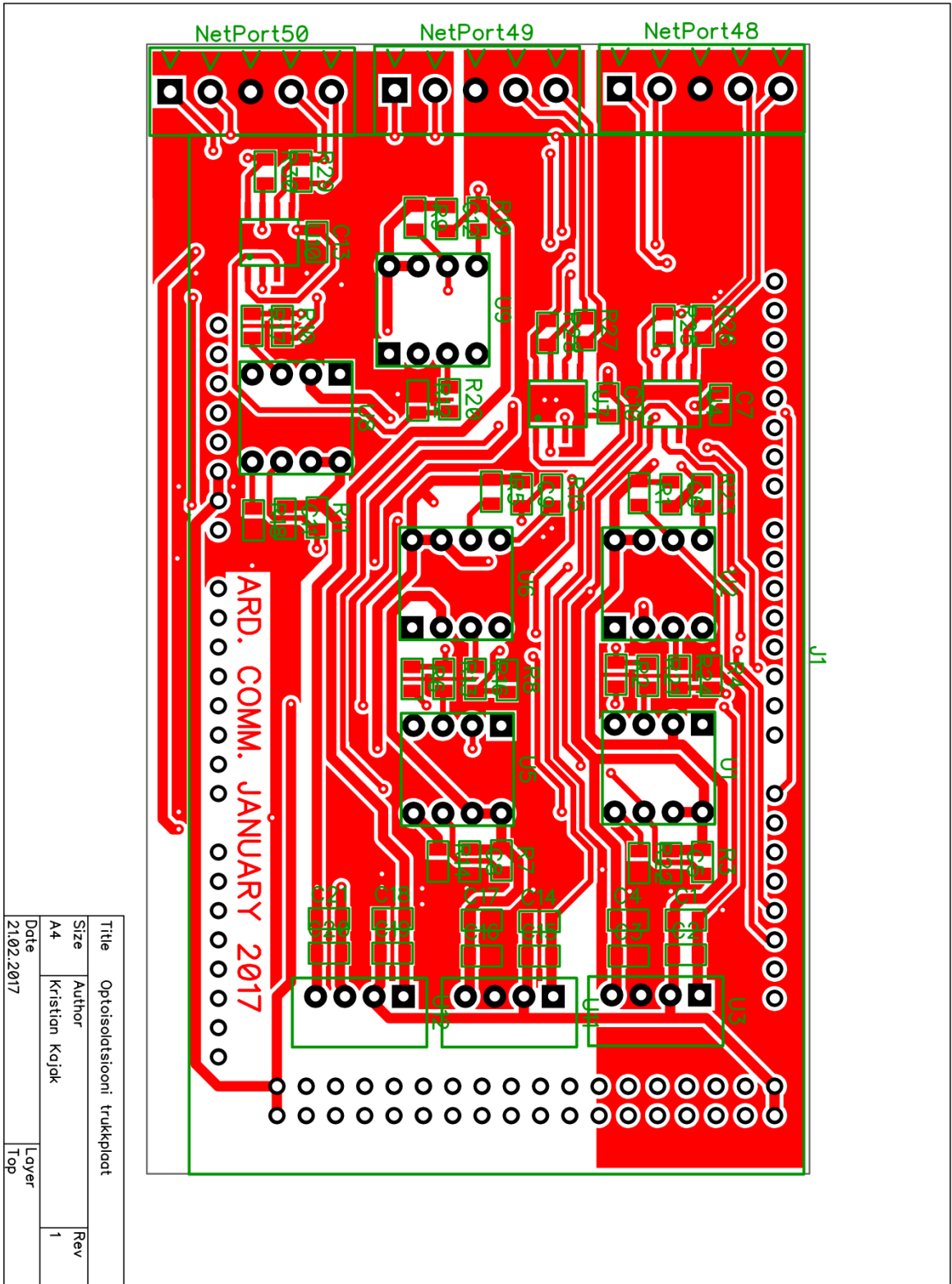


Title		Optoisolatsiooni trükkplaat
Size	Author	Kristian Kajak
A4	Date	01.02.2017
Rev		1
Sheet		1/2

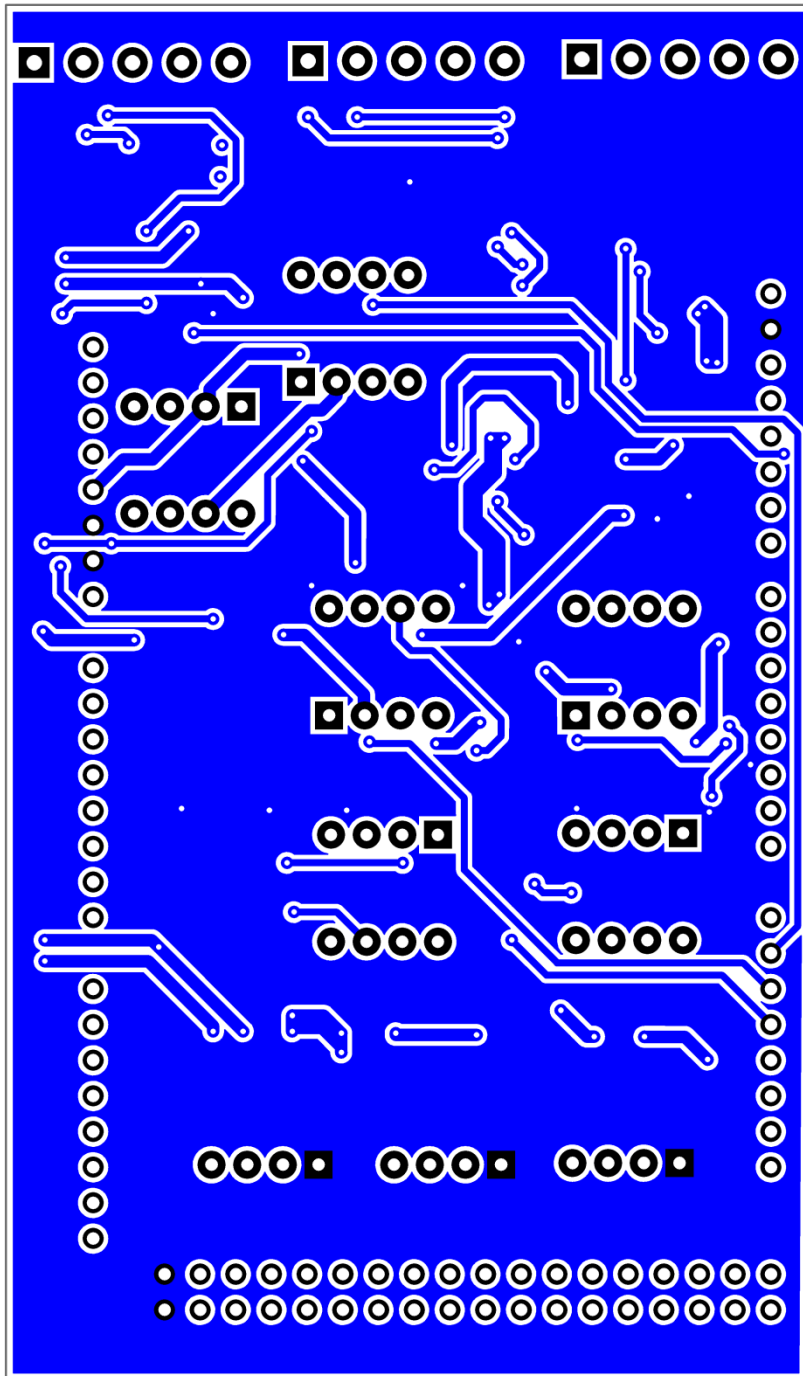


Title		Optoisolatsiooni truckkplaat
Size	Author	Kristian Kojak
A4	Date	01.02.2017
Date		01.02.2017
Sheet		2/2
Rev		1

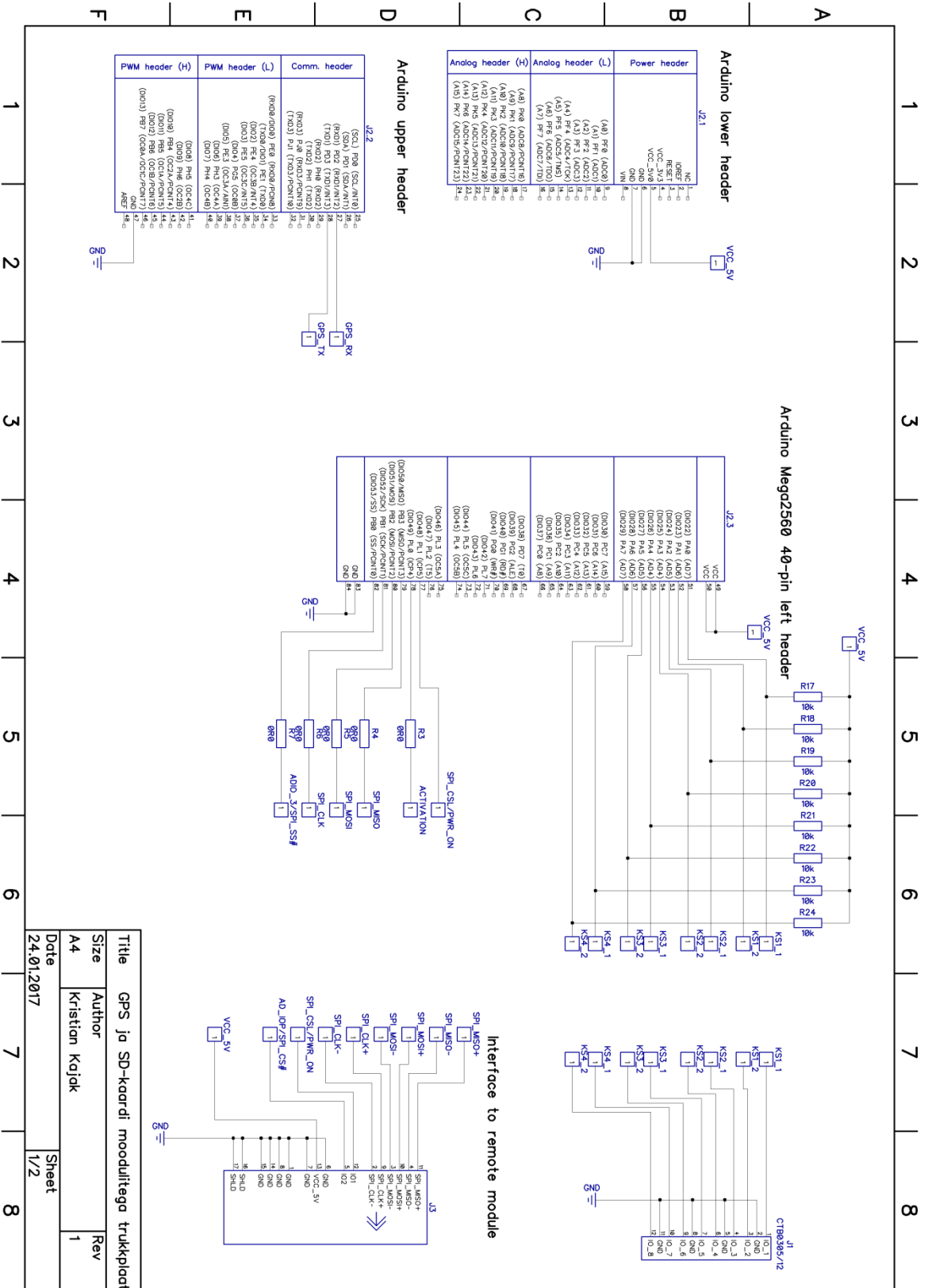




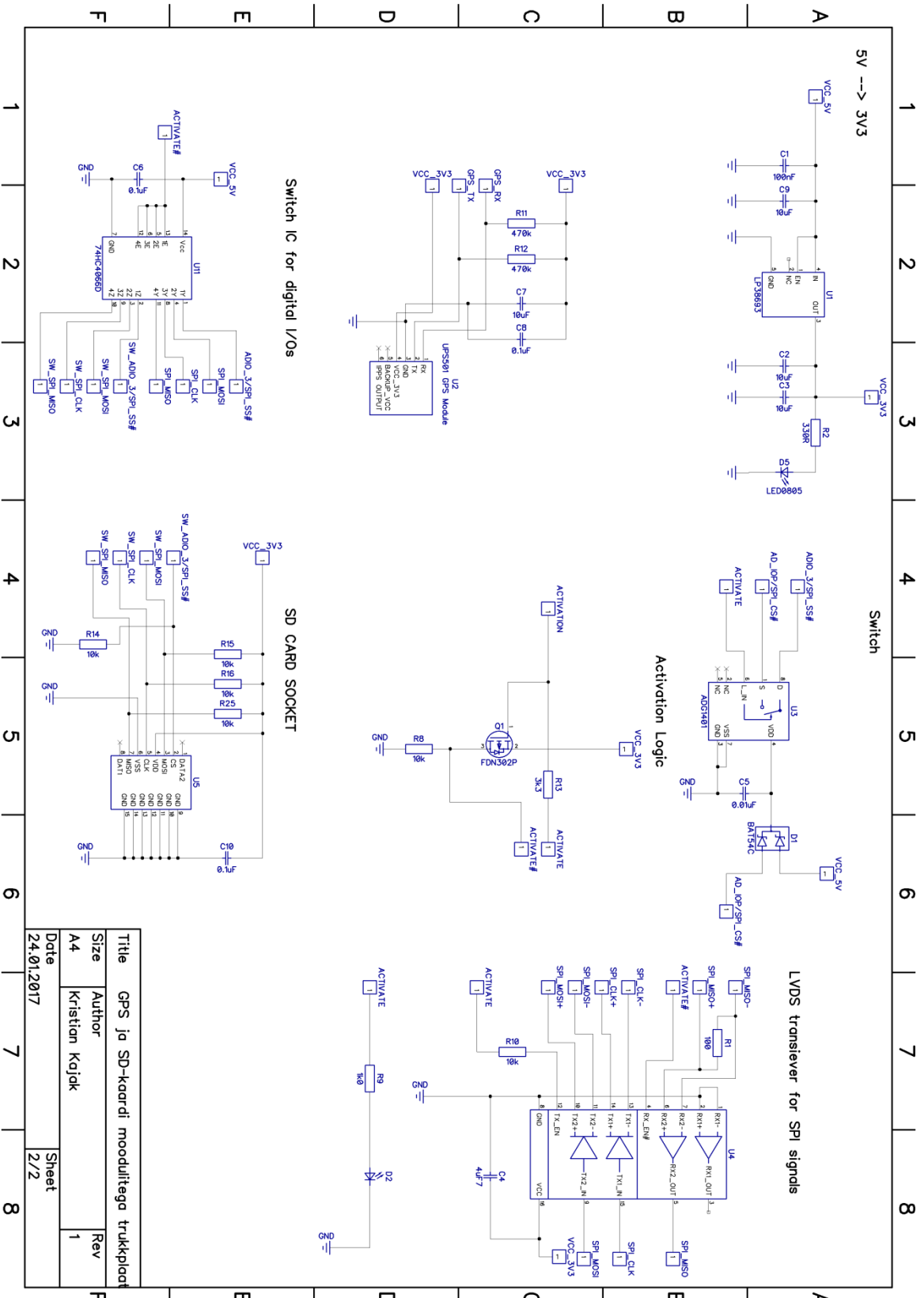
Title	Optoisolatsiooni trukkplaat	
Size	Author	Rev
A4	Kristian Kajak	1
Date	Layer	
21.02.2017	Top	



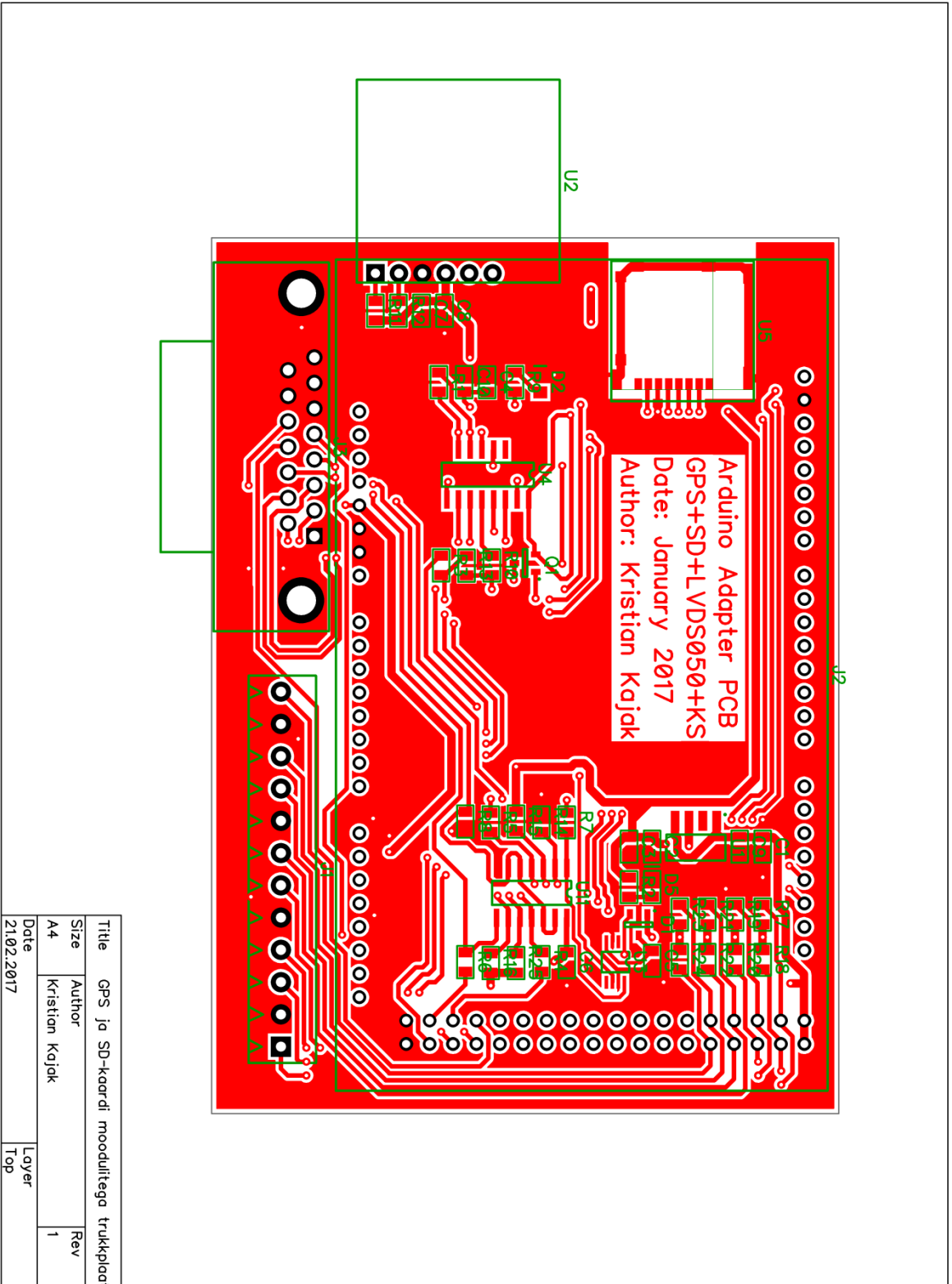
Title	Optoisolatsioonitrukkplaat	
Size	Author	Rev
A4	Kristian Kajak	1
Date	Layer	
21.02.2017	Bottom	

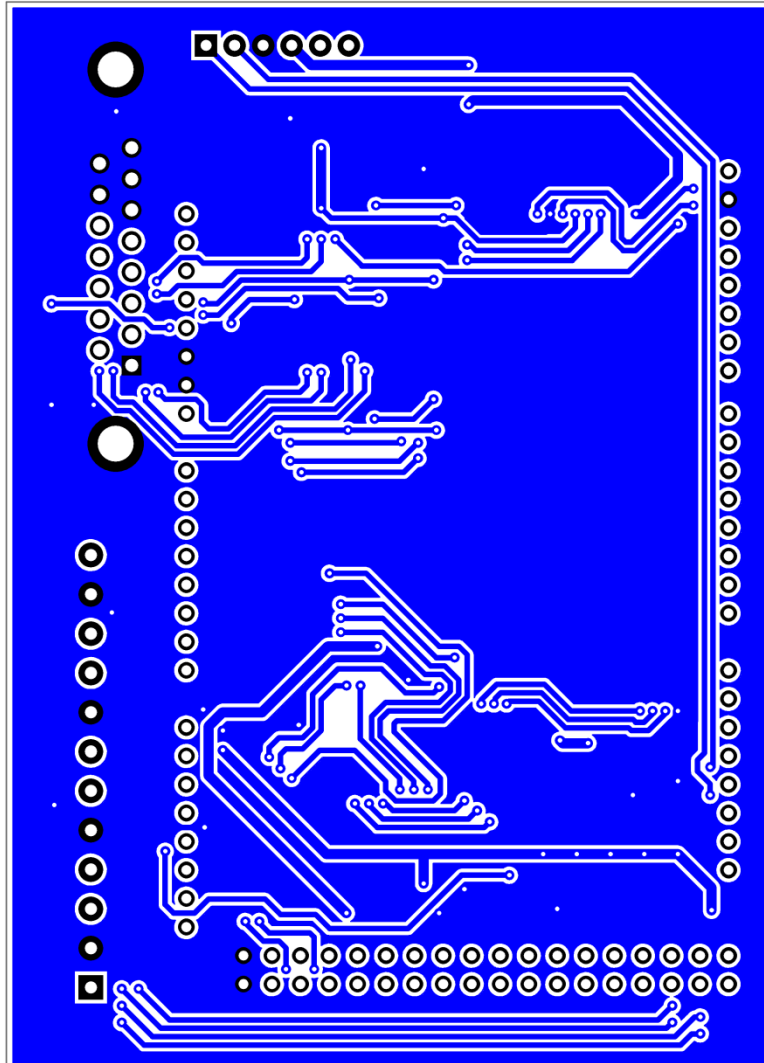


Title	GPS ja SD-kaardi moodulitega trükkplaat	
Author	Kristian Kajak	
Size	A4	Rev
Date	24.01.2017	Sheet
		1/2



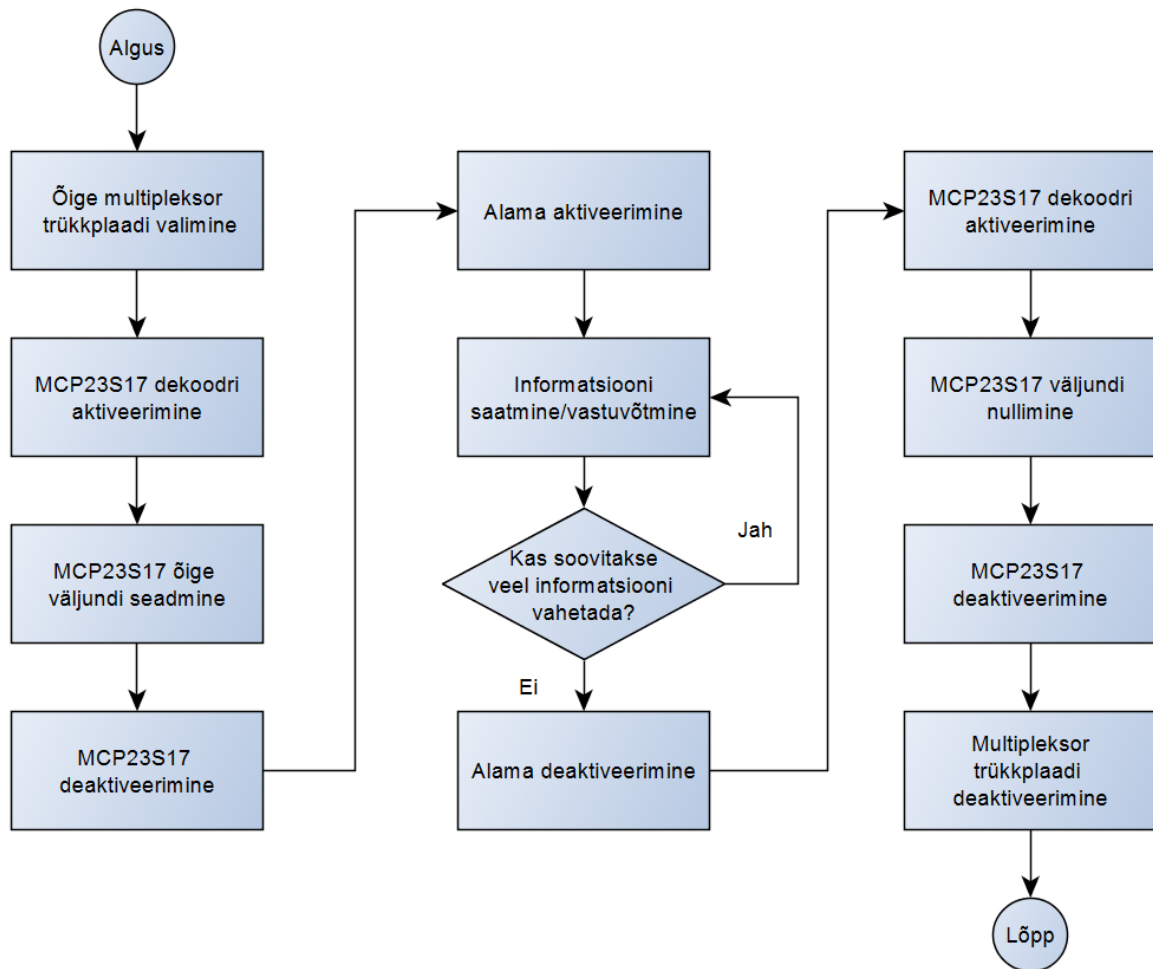
Title	GPS ja SD-kaardi moodituga trukkplaat	
Size	A4	
Author	Kristian Kojak	
Date	24.01.2017	Sheet
Rev	1	





Title	GPS ja SD-kaardi moodulitega trukkplaat	
Size	Author	Rev
A4	Kristian Kajak	1
Date	Layer	
21.02.2017	Bottom	

## LISA 8 ALAMA ADRESSEERIMISE ALGORITM



## LISA 9 MULTIPLEKSORI TRÜKKPLAADI VALIMISE ALAMFUNKTSIOON

```
70 void selectMuxAddress(int MA2muxAddress, int MA1muxAddress, int MA0muxAddress)
71 {
72     //Enabling the sending
73     digitalWrite(M_En, HIGH); //M_EN HIGH=ENABLED
74
75     //Selecting the correct address of the MUX board
76     if(MA2muxAddress==1)
77         digitalWrite(MA2, LOW); //MA1, INVERSED
78     else if(MA2muxAddress==0)
79         digitalWrite(MA2, HIGH); //MA1, INVERSED
80     else
81         Serial.println("MA2muxAddress is invalid!");
82     if(MA1muxAddress==1)
83         digitalWrite(MA1, LOW); //MA1, INVERSED
84     else if(MA1muxAddress==0)
85         digitalWrite(MA1, HIGH); //MA1, INVERSED
86     else
87         Serial.println("MA1muxAddress is invalid!");
88     if(MA0muxAddress==1)
89         digitalWrite(MA0, LOW); //MA2, INVERSED
90     else if(MA0muxAddress==0)
91         digitalWrite(MA0, HIGH); //MA2, INVERSED
92     else
93         Serial.println("MA0muxAddress is invalid!");
94
95     //Printing the board number
96     Serial.print("\nMUX board no. ");
97     Serial.print(MA2muxAddress);
98     Serial.print(MA1muxAddress);
99     Serial.print(MA0muxAddress);
100    Serial.println(" is selected.");
101
102    //Disabling the sending
103    digitalWrite(M_En, LOW); //M_EN
104 }
```



## LISA 10 MCP23S17 REGISTRITE KONFIGUREERIMISE ALAMFUNKTSIOON

```
106 void setRegisterValue(String registerName, int registerValue)
107 {
108     //Setting LOC_SEL_EN# enabled
109     digitalWrite(SPI_CSL_PWR_ON, HIGH ); //By setting SPI_CSL_PWR_ON HIGH, you CS MCP23S17
110
111     //Setting the Register Address
112     int registerAddress=300; //random number for troubleshooting
113     if(registerName=="IOCONA")
114         registerAddress=0x0A;
115     if(registerName=="IOCONB")
116         registerAddress=0x0B;
117     if(registerName=="IODIRA")
118         registerAddress=0x00;
119     if(registerName=="IODIRB")
120         registerAddress=0x01;
121     if(registerName=="GPIOA")
122         registerAddress=0x12;
123     if(registerName=="GPIOB")
124         registerAddress=0x13;
125
126     //Troubleshooting
127     if(registerAddress==300)
128         Serial.println("registerName is invalid!");
129     if(registerValue >= 256)
130         Serial.println("RegisterValue is invalid!");
131
132     //Sending SPI signals to MCP23S17
133     SPI.beginTransaction(SPISettings(160000, MSBFIRST, SPI_MODE0)); //Select SPI settings
134     digitalWrite(slaveSelect, LOW); //ADIO_3/SPI_SS# Slave is selected when LOW
135     SPI.transfer(0b01001110); // Device Opcode
136     SPI.transfer(registerAddress); //Register address
137     SPI.transfer(registerValue); // Value
138     digitalWrite(slaveSelect, HIGH); //ADIO_3/SPI_SS# Slave is selected when LOW
139     SPI.endTransaction();
140
141     //Setting LOC_SEL_EN# disabled
142     digitalWrite(SPI_CSL_PWR_ON, LOW ); //By setting SPI_CSL_PWR_ON LOW, you deselect MCP23S17
143 }
```

## LISA 11 MAX31855 TEMPERATUURI LUGEMISE ALAMFUNKTSIOONID

```
145 int readMax31855Temp(unsigned int MAX_No)
146 {
147     unsigned long int data;
148     setRegisterValue("GPIOB", 0b00011000);
149
150     //set the correct MCP23S17 register value to select the right MAX31855 chip
151     if(MAX_No==0)
152         setRegisterValue("GPIOA", 0b10000000);
153     data=readMax31855TempConversion(MAX_No);
154     if(MAX_No==1)
155         setRegisterValue("GPIOA", 0b01000000);
156     data=readMax31855TempConversion(MAX_No);
157     if(MAX_No==2)
158         setRegisterValue("GPIOA", 0b00100000);
159     data=readMax31855TempConversion(MAX_No);
160     if(MAX_No==3)
161         setRegisterValue("GPIOA", 0b00010000);
162     data=readMax31855TempConversion(MAX_No);
163
164     //troubleshooting
165     if(MAX_No<0||MAX_No>=4)
166     {
167         Serial.println("Selected MAX_No is invalid!");
168         return 0;
169     }
170     Serial.print("\nMAX31855 No ");
171     Serial.print(MAX_No);
172     Serial.print(" internal temperature is: ");
173     Serial.println(data);
174
175     //Deselect all chips
176     setRegisterValue("GPIOA", 0b00000000);
177     setRegisterValue("GPIOB", 0b00011100);
178     return data;
179 }

181 int readMax31855TempConversion(unsigned int MAX_No)
182 {
183     unsigned int data1, data2, data3, data4;
184     SPI.beginTransaction(SPISettings(160000, MSBFIRST, SPI_MODE0)); //Select SPI settings
185     digitalWrite(slaveSelect, LOW); //ADIO_3/SPI_SS# Slave is selected when LOW
186     data1=SPI.transfer(0); //Read data from the selected MAX31855
187     data2=SPI.transfer(0);
188     data3=SPI.transfer(0);
189     data4=SPI.transfer(0);
190     digitalWrite(slaveSelect, HIGH); //ADIO_3/SPI_SS# Slave is selected when LOW
191     SPI.endTransaction();
192
193     //creating a 32bit data string
194     unsigned long data = data1;
195     data = data * 256 + data2;
196     data = data * 256 + data3;
197     data = data * 256 + data4;
198
199     //Filtering out unnecessary information
200     data = data>>4;
201     data = data & 0b00000000000000001111111111;
202     data = data/16;
203     return data;
204 }
```

## LISA 12 MCP4912 DIGITAAL-ANALOOGMUUNDURI ALAMFUNKTSIOONID

```
206 void setOutputVoltage(unsigned int channelNumber, unsigned int outputVoltage)
207 {
208     //Select the DAC
209     setRegisterValue("GPIOA", 0b00001000);
210     setRegisterValue("GPIOB", 0b00011100);
211     int channel;
212
213     //Choose the channel to apply the voltage to
214     if(channelNumber==0){
215         applyVoltageWriting(channel=0b0001, outputVoltage, channelNumber);
216     }
217     else if(channelNumber==1){
218         applyVoltageWriting(channel=0b1001, outputVoltage, channelNumber);
219     }
220     else{
221         Serial.println("Invalid channel number");
222     }
223
224     //Deselect the DAC
225     setRegisterValue("GPIOA", 0b00000000);
226     delay(1);
227 }

229 void applyVoltageWriting(int channel, unsigned int outputVoltage, unsigned int channelNumber)
230 {
231     //add channel and output voltage together into 16-bit data
232     unsigned int combined, data;
233     combined = channel;
234     combined = combined<<12;
235     combined |= outputVoltage;
236
237     //cut 16-bit data into 2 8-bit datas
238     uint8_t datalow = combined & 0xff;
239     uint8_t datahigh = (combined >> 8);
240
241     //Send the data to DAC
242     SPI.beginTransaction(SPISettings(160000, MSBFIRST, SPI_MODE0)); //Select SPI settings
243     digitalWrite(slaveSelect, LOW); //ADIO_3/SPI_SS# Slave is selected when LOW
244     SPI.transfer(datahigh);
245     SPI.transfer(datalow);
246     digitalWrite(slaveSelect, HIGH); //ADIO_3/SPI_SS# Slave is selected when LOW
247     SPI.endTransaction();
248
249     Serial.print("\nDAC channel ");
250     Serial.print(channelNumber);
251     Serial.print(" selected \nOutput voltage value: ");
252     Serial.println(outputVoltage);
253 }
```

## LISA 13 LTC1861 ANALOOG-DIGITAALMUUNDURI ALAMFUNKTSIOONID

```
255 unsigned int readInputVoltage(unsigned int channelNumber)
256 {
257     unsigned int data, channel;
258
259     //Select the ADC
260     setRegisterValue("GPIOA", 0b00000100);
261     setRegisterValue("GPIOB", 0b00011100);
262
263     //Select the channel
264     if(channelNumber==0){
265         //channel=0b10000000;
266         data=applyVoltageReading(channel=0b10000000, channelNumber);
267         return data;
268     }
269     else if(channelNumber==1){
270         //channel=0b11000000;
271         data=applyVoltageReading(channel=0b11000000, channelNumber);
272         return data;
273     }
274     else{
275         Serial.println("Invalid channel number");
276         return 0;
277     }
278
279     //Deselect the ADC
280     setRegisterValue("GPIOA", 0b00000000);
281 }
```

```

283 unsigned int applyVoltageReading(unsigned int channel, unsigned int channelNumber)
284 {
285     unsigned int data, data1, data2;
286
287     //Wake up the ADC
288     SPI.beginTransaction(SPISettings(160000, MSBFIRST, SPI_MODE0)); //Select SPI settings
289     digitalWrite(slaveSelect, LOW); //ADIO_3/SPI_SS# Slave is selected when LOW
290     delay(1);
291     digitalWrite(slaveSelect, HIGH); //ADIO_3/SPI_SS# Slave is selected when LOW
292     delay(1);
293
294     //Send the command to the ADC
295     digitalWrite(slaveSelect, LOW); //ADIO_3/SPI_SS# Slave is selected when LOW
296     SPI.transfer(channel);
297     SPI.transfer(0);
298     digitalWrite(slaveSelect, HIGH); //ADIO_3/SPI_SS# Slave is selected when LOW
299
300     //Read from the ADC
301     delay(1);
302     digitalWrite(slaveSelect, LOW); //ADIO_3/SPI_SS# Slave is selected when LOW
303     data1=SPI.transfer(0);
304     data2=SPI.transfer(0);
305     digitalWrite(slaveSelect, HIGH); //ADIO_3/SPI_SS# Slave is selected when LOW
306     SPI.endTransaction();
307     delay(1);
308
309     //Add 2 separate SPI transfers into 12bit data
310     data = data1;
311     data = data<<8;
312     data |= data2;
313     data = data>>4;
314     data = data/2;
315     Serial.print("\nADC channel ");
316     Serial.print(channelNumber);
317     Serial.print(" selected \nInput voltage value: ");
318     Serial.println(data);
319     return data;
320 }

```

LISA 14 ANALOOG-DIGITAALMUUNDURI TRÜKKPLAADI TARKVARA MULTIPLEKSOR TRÜKKPLAADI VALIMISE, MCP23S17 REGISTRITRE KONFIGUREERIMISE JA MAX31855 TEMPERATUURI LUGEMISE ALAMFUNKTSIOONID

```
77 void selectMuxAddress(int MA2muxAddress, int MA1muxAddress, int MA0muxAddress)
78 {
79 //Enabling the sending
80 digitalWrite(M_En, HIGH); //M_EN HIGH=ENABLED
81
82 //Selecting the correct address of the MUX board
83 if(MA2muxAddress==1)
84     digitalWrite(MA2, LOW); //MA1, INVERSED
85 else if(MA2muxAddress==0)
86     digitalWrite(MA2, HIGH); //MA1, INVERSED
87 else
88     Serial.println("MA2muxAddress is invalid!");
89 if(MA1muxAddress==1)
90     digitalWrite(MA1, LOW); //MA1, INVERSED
91 else if(MA1muxAddress==0)
92     digitalWrite(MA1, HIGH); //MA1, INVERSED
93 else
94     Serial.println("MA1muxAddress is invalid!");
95 if(MA0muxAddress==1)
96     digitalWrite(MA0, LOW); //MA2, INVERSED
97 else if(MA0muxAddress==0)
98     digitalWrite(MA0, HIGH); //MA2, INVERSED
99 else
100     Serial.println("MA0muxAddress is invalid!");
101
102 //Printing the board number
103 Serial.print("\nMUX board no. ");
104 Serial.print(MA2muxAddress);
105 Serial.print(MA1muxAddress);
106 Serial.print(MA0muxAddress);
107 Serial.println(" is selected.");
108
109 //Disabling the sending
110 digitalWrite(M_En, LOW); //M_EN
111 }
```

```

119 void setRegisterValueForSolarDir(String registerName, int registerValue)
120 {
121     //Setting LOC_SEL_EN# enabled
122     digitalWrite(SPI_CSL_PWR_ON, HIGH ); //By setting SPI_CSL_PWR_ON HIGH, you CS MCP23S17
123     int registerAddress=300;
124     if(registerName=="IODIR")
125         registerAddress=0x00;
126     if(registerName=="GPIO")
127         registerAddress=0x09;
128
129     //Troubleshooting
130     if(registerAddress==300)
131         Serial.println("registerName is invalid!");
132     if(registerValue >= 256)
133         Serial.println("RegisterValue is invalid!");
134
135     //Sending SPI signals to MCP23S17
136     SPI.beginTransaction(SPISettings(160000, MSBFIRST, SPI_MODE0)); //Select SPI settings
137     digitalWrite(slaveSelect, LOW); //ADIO_3/SPI_SS# Slave is selected when LOW
138     SPI.transfer(0b01000000); // Device Opcode
139     SPI.transfer(registerAddress); //Register address
140     SPI.transfer(registerValue); // Value
141     digitalWrite(slaveSelect, HIGH); //ADIO_3/SPI_SS# Slave is selected when LOW
142     SPI.endTransaction();
143
144     //Setting LOC_SEL_EN# disabled
145     digitalWrite(SPI_CSL_PWR_ON, LOW ); //By setting SPI_CSL_PWR_ON LOW, you deselect MCP23S17
146 }

```

```

148 int readMax31855TempForSolarDir(unsigned int MAX_No)
149 {
150     unsigned long int data;
151
152     //Select the correct MAX31855 chip
153     setRegisterValueForSolarDir("GPIO", 0b11111110);
154     if(MAX_No==0)
155         setRegisterValueForSolarDir("GPIO", 0b10111110);
156         data=readMax31855TempConversion(MAX_No);
157     if(MAX_No==1)
158         setRegisterValueForSolarDir("GPIO", 0b11011110);
159         data=readMax31855TempConversion(MAX_No);
160     if(MAX_No<0||MAX_No>=2)
161     {
162         Serial.println("Selected MAX_No is invalid!");
163         return 0;
164     }
165     Serial.print("MAX31855 No ");
166     Serial.print(MAX_No);
167     Serial.print(" internal temperature is: ");
168     Serial.println(data);
169
170     //Deselect MAX31855
171     setRegisterValueForSolarDir("GPIO", 0b11111110);
172     return data;
173 }

175 int readMax31855TempConversion(unsigned int MAX_No)
176 {
177     unsigned int data1, data2, data3, data4;
178
179     //Read the data from MAX31855
180     SPI.beginTransaction(SPISettings(160000, MSBFIRST, SPI_MODE0)); //Select SPI settings
181     digitalWrite(slaveSelect, LOW); //ADIO_3/SPI_SS# Slave is selected when LOW
182     data1=SPI.transfer(0);
183     data2=SPI.transfer(0);
184     data3=SPI.transfer(0);
185     data4=SPI.transfer(0);
186     digitalWrite(slaveSelect, HIGH); //ADIO_3/SPI_SS# Slave is selected when LOW
187     SPI.endTransaction();
188
189     //creating a 32bit data string
190     unsigned long data = data1;
191     data = data * 256 + data2;
192     data = data * 256 + data3;
193     data = data * 256 + data4;
194
195     //Filtering out unnecessary information
196     data = data>>4;
197     data = data & 0b00000000000000001111111111;
198     data = data/16;
199     return data;
200 }

```



## LISA 15 ADS1248 REGISTRITE KONFIGUREERIMISE ALAMFUNKTSIOONID

```
202 void writeADS1248RegisterForSolarDir(String registerName, unsigned int registerValue)
203 {
204     unsigned int registerAddress=300;
205     //Choose the correct register address
206     if(registerName=="MUX0")
207     {
208         registerAddress=0x40;
209         ExecuteWriteADS1248RegisterForSolarDir(registerAddress, registerValue);
210     }
211     if(registerName=="MUX1")
212     {
213         registerAddress=0x42;
214         ExecuteWriteADS1248RegisterForSolarDir(registerAddress, registerValue);
215     }
216     if(registerName=="SYS0")
217     {
218         registerAddress=0x43;
219         ExecuteWriteADS1248RegisterForSolarDir(registerAddress, registerValue);
220     }
221     if(registerName=="IDAC0")
222     {
223         registerAddress=0x4A;
224         ExecuteWriteADS1248RegisterForSolarDir(registerAddress, registerValue);
225     }
226     //Troubleshooting
227     if(registerAddress==300)
228         Serial.println("registerName is invalid!");
229     if(registerValue >= 256)
230         Serial.println("RegisterValue is invalid!");
231 }
232
233 void ExecuteWriteADS1248RegisterForSolarDir(unsigned int registerAddress, unsigned int registerValue)
234 {
235     setRegisterValueForSolarDir("GPIO", 0b01111111); //Set ADS1248 CS pin low
236     SPI.beginTransaction(SPISettings(160000, MSBFIRST, SPI_MODE1)); //Select SPI settings
237     digitalWrite(slaveSelect, LOW); //ADIO_3/SPI_SS# Slave is selected when LOW
238     delay(1);
239     SPI.transfer(registerAddress); //Which register to write to
240     SPI.transfer(0x00); //Number of registers
241     SPI.transfer(registerValue); //Register value
242     delay(1);
243     digitalWrite(slaveSelect, HIGH); //ADIO_3/SPI_SS# Slave is selected when LOW
244     SPI.endTransaction();
245     setRegisterValueForSolarDir("GPIO", 0b11111111); //Set ADS1248 CS pin high
246     delay(2);
247 }
```

## LISA 16 ADS1248 REGISTRITE LUGEMISE ALAMFUNKTSIOONID

```
249 void readADS1248RegisterForSolarDir(String registerName)
250 {
251     unsigned int registerAddress=300;
252
253     //Choose the correct register address
254     if(registerName=="MUX0")
255     {
256         registerAddress=0x20;
257         Serial.print("MUX0 value is:");|
258         ExecuteReadADS1248RegisterForSolarDir(registerAddress);
259     }
260     if(registerName=="MUX1")
261     {
262         registerAddress=0x22;
263         Serial.print("MUX1 value is:");
264         ExecuteReadADS1248RegisterForSolarDir(registerAddress);
265     }
266     if(registerName=="SYS0")
267     {
268         registerAddress=0x23;
269         Serial.print("SYS0 value is:");
270         ExecuteReadADS1248RegisterForSolarDir(registerAddress);
271     }
272     if(registerName=="IDAC0")
273     {
274         registerAddress=0x2A;
275         Serial.print("IDAC0 value is:");
276         ExecuteReadADS1248RegisterForSolarDir(registerAddress);
277     }
278
279     //Troubleshooting
280     if(registerAddress==300)
281         Serial.println("registerName is invalid!");
282 }

284 void ExecuteReadADS1248RegisterForSolarDir(unsigned int registerAddress)
285 {
286     unsigned int value1, value2;
287     //Serial.println(registerAddress, HEX);
288     setRegisterValueForSolarDir("GPIO", 0b01111111); //Set ADS1248 CS pin low
289     SPI.beginTransaction(SPISettings(160000, MSBFIRST, SPI_MODE1)); //Select SPI settings
290     delay(1);
291     digitalWrite(slaveSelect, LOW); //ADIO_3/SPI_SS# Slave is selected when LOW
292     delay(1);
293     SPI.transfer(registerAddress);//register name
294     SPI.transfer(0x00);//Number of registers
295     digitalWrite(slaveSelect, LOW); //ADIO_3/SPI_SS# Slave is selected when LOW
296     SPI.endTransaction();
297     SPI.beginTransaction(SPISettings(160000, MSBFIRST, SPI_MODE1)); //Select SPI settings
298     digitalWrite(slaveSelect, LOW); //ADIO_3/SPI_SS# Slave is selected when LOW
299     value1 = SPI.transfer(0xFF);//Register value
300     digitalWrite(slaveSelect, HIGH); //ADIO_3/SPI_SS# Slave is selected when LOW
301     delay(1);
302     SPI.endTransaction();
303     setRegisterValueForSolarDir("GPIO", 0b11111111); //Set ADS1248 CS pin high
304     Serial.println(value1, HEX);
305     delay(2);
306 }
```

## LISA 17 ADS1248 SISEMISE TEMPERATUURI LUGEMISE ALAMFUNKTSIOON

```
340 float readADS1248InternalTempForSolarDir()
341 {
342     setADS1248RegisterValueForSolarDir(0x37, 0x73, 0x08, 0x08);
343
344     //RDATA
345     unsigned int data1, data2, data3;
346     startADS1248Conversion();
347     setRegisterValueForSolarDir("GPIO", 0b01111111); //Set ADS1248 CS pin low
348     digitalWrite(slaveSelect, LOW); //ADIO_3/SPI_SS# Slave is selected when LOW
349     SPI.beginTransaction(SPISettings(160000, MSBFIRST, SPI_MODE1)); //Select SPI settings
350     digitalWrite(slaveSelect, LOW); //ADIO_3/SPI_SS# Slave is selected when LOW
351     delay(1);
352     SPI.transfer(0x12); //RDATA
353     data1=SPI.transfer(0xFF);
354     data2=SPI.transfer(0xFF);
355     data3=SPI.transfer(0xFF);
356     delay(1);
357     digitalWrite(slaveSelect, HIGH); //ADIO_3/SPI_SS# Slave is selected when LOW
358     SPI.endTransaction();
359     setRegisterValueForSolarDir("GPIO", 0b11111111); //Set ADS1248 CS pin high
360     Serial.print("data:");
361     Serial.println(data1,HEX);
362     Serial.println(data2,HEX);
363     Serial.println(data3,HEX);
364     delay(2);
365
366     float tempChange, temp;
367     float koefData = 0.000603; //1*LSB/405mcV*; LSB=2.048 * (1/2^23)
368     long data_0 = 483328; //data in the case on 0.118mV
369
370     //Adding all the data bytes together
371     long data = data1;
372     data = data * 256 + data2;
373     data = data * 256 + data3;
374
375     tempChange = (data - data_0);
376     long proov = data - data_0;
377     tempChange = tempChange*koefData;
378     temp = 25 + tempChange;
379
380     Serial.print("ADS1248 internal temperature is: ");
381     Serial.println(temp,1);
382     return temp;
383 }
```

## LISA 18 ADS1248 SISENDPINGE LUGEMISE ALAMFUNKTSIOON

```
385 float readADS1248InputVoltageForSolarDir()
386 {
387     setADS1248RegisterValueForSolarDir(0x37, 0x70, 0x08, 0x08);
388
389     //RDATA
390     unsigned int data1, data2, data3;
391     long inputVoltage;
392     startADS1248Conversion();
393     setRegisterValueForSolarDir("GPIO", 0b01111111); //Set ADS1248 CS pin low
394     SPI.beginTransaction(SPISettings(160000, MSBFIRST, SPI_MODE1)); //Select SPI settings
395     digitalWrite(slaveSelect, LOW); //ADIO_3/SPI_SS# Slave is selected when LOW
396     delay(1);
397     SPI.transfer(0x12); //RDATA
398     data1=SPI.transfer(0xFF);
399     data2=SPI.transfer(0xFF);
400     data3=SPI.transfer(0xFF);
401     delay(1);
402     digitalWrite(slaveSelect, HIGH); //ADIO_3/SPI_SS# Slave is selected when LOW
403     SPI.endTransaction();
404     setRegisterValueForSolarDir("GPIO", 0b11111111); //Set ADS1248 CS pin high
405     delay(2);
406
407     //Adding all the data bytes together
408     unsigned long data = data1;
409     data = data * 256 + data2;
410     data = data * 256 + data3;
411     float LSBvalue = 1000*2.048/8388608;
412     inputVoltage = data*LSBvalue;
413
414     Serial.print("ADS1248input voltage(mV) is: ");
415     Serial.println(inputVoltage);
416     return inputVoltage;
417 }
```

## LISA 19 MUUD ADS1248 ALAMFUNKTSIOONID

```
427 void resetADS1248()
428 {
429     setRegisterValueForSolarDir("GPIO", 0b01111111); //Set ADS1248 CS pin low
430     SPI.beginTransaction(SPISettings(160000, MSBFIRST, SPI_MODE0)); //Select SPI settings
431     digitalWrite(slaveSelect, LOW); //ADIO_3/SPI_SS# Slave is selected when LOW
432     delay(1);
433     SPI.transfer(0x06);
434     delay(1);
435     digitalWrite(slaveSelect, HIGH); //ADIO_3/SPI_SS# Slave is selected when LOW
436     SPI.endTransaction();
437     setRegisterValueForSolarDir("GPIO", 0b11111111); //Set ADS1248 CS pin high
438     delay(20);
439 }
440
441 void startADS1248Conversion()
442 {
443     setRegisterValueForSolarDir("GPIO", 0b11111111);
444     delay(2);
445 }
446
447 void wakeUpADS1248()
448 {
449     setRegisterValueForSolarDir("GPIO", 0b01111111); //Set ADS1248 CS pin low
450     SPI.beginTransaction(SPISettings(160000, MSBFIRST, SPI_MODE0)); //Select SPI settings
451     digitalWrite(slaveSelect, LOW); //ADIO_3/SPI_SS# Slave is selected when LOW
452     delay(1);
453     SPI.transfer(0x00);
454     delay(1);
455     digitalWrite(slaveSelect, HIGH); //ADIO_3/SPI_SS# Slave is selected when LOW
456     SPI.endTransaction();
457     setRegisterValueForSolarDir("GPIO", 0b11111111); //Set ADS1248 CS pin high
458     delay(20);
459 }
460
461 void stopADS1248()
462 {
463     setRegisterValueForSolarDir("GPIO", 0b01111111); //Set ADS1248 CS pin low
464     SPI.beginTransaction(SPISettings(160000, MSBFIRST, SPI_MODE0)); //Select SPI settings
465     digitalWrite(slaveSelect, LOW); //ADIO_3/SPI_SS# Slave is selected when LOW
466     delay(1);
467     SPI.transfer(0x02);
468     delay(1);
469     digitalWrite(slaveSelect, HIGH); //ADIO_3/SPI_SS# Slave is selected when LOW
470     SPI.endTransaction();
471     setRegisterValueForSolarDir("GPIO", 0b11111110); //Set ADS1248 CS pin high
472 }
```

LISA 20 ELEKTROONIKAKESTA SOLIDWORKS MUDEL

